



FE

UNIVERZA V LJUBLJANI
Fakulteta za elektrotehniko

KIKT

Katedra za informacijske in
komunikacijske tehnologije

I.SO

Laboratorij za
sevanje in optiko

Strokovno usposabljanje: PROGRAM vseživljenskega učenja z MIKRODOKAZILI

Pozicioniranje, navigacija in prenos časa v digitalni družbi

prof. dr. Boštjan Batagelj



9. junij 2025, 8:15 – 10:00

<https://lso.fe.uni-lj.si/GNSS/content.php>



Kdo sem?

I.SO

Laboratorij za
sevanje in optiko

bostjan.batagelj@fe.uni-lj.si

2 / 77

- 25 let zaposlen na Fakulteti za elektrotehniko (*izredni profesor, prodekan za znanstveno-raziskovalno delo*)
- raziskovalno delo opravljam v Laboratoriju za sevanje in optiko, kjer se ukvarjam s fizičnim nivojem prenosnih in dostopovnih telekomunikacijskih omrežij, zasnovanih na radijski in optični tehnologiji
- sem (so)avtor več kot 400 znanstvenih in strokovnih člankov https://www.researchgate.net/profile/Bostjan_Batagelj
- izumitelj pri dvanajstih patentnih
- soustanovitelj dveh zagonskih podjetij s področja mikrovalovnih in optičnih tehnologij



InLambda BDT d.o.o.

- organizator strokovnih seminarjev Optične komunikacije in Radijske komunikacije



- član (*senior member*) mednarodnih društev OPTICA ter IEEE Photonics in IEEE ComSoc



OPTICA
Formerly OSA



IEEE

IEEE Photonics Society
Transforming Science into Technology™

IEEE ComSoc
IEEE Communications Society

- član tehničnih odborov na SIST za Storitve in protokole v omrežjih in Mobilne komunikacije
- podpredsednik Slovenskega društva za elektronske komunikacije



SIKOM

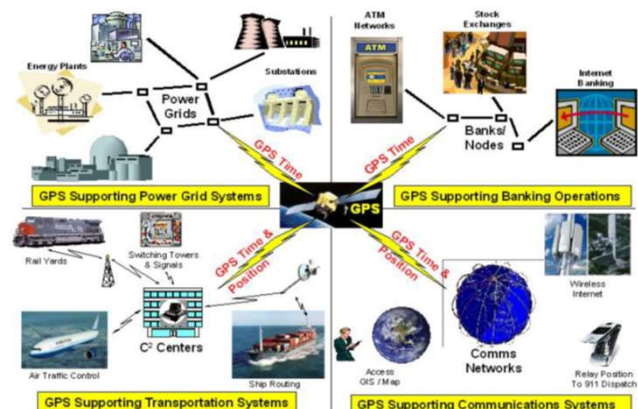


Vsebina

- Zgodovina radio-navigacije in radio lokacije
- Kotna radio-navigacija – triangulacija
- Radionavigacija ρ - ρ in ρ - θ
 - Zemeljska radionavigacija: pomorska (LORAN), zrakoplovna (VOR, DME), določanje položaja preko sistemov mobilne telefonije.
- Hiperbolična radio-navigacija
 - Satelitska radionavigacija
 - Dopplerjevi sistemi Transit in Cikada
 - Globalni 3-D sistemi GPS, GLONASS in GALILEO
- Lociranje satelita na tirnici iz Zemlje
- Motnje tirnic umetnih satelitov
- Izvori napak pri GNSS
- Izboljšave satelitskega hiperboličnega radio-navigacijskega sistema
- Bodočnost navigacijskega sistema

Pomen satelitskih in navigacijskih sistemov za digitalno družbo

- V primeru naravnih katastrof in nesreč človeškega vzroka so satelitske komunikacije in navigacijske storitve ključne za civilno zaščito in reševanje.
- Satelitske komunikacije so:
 - zmožne izvesti nujne komunikacije,
 - zelo robustne,
 - fizično vzdržljive,
 - najboljše za redundanco.



Radiolokacija in radionavigacija

Radiodeterminacija – radijsko določanje položaja, hitrosti, smeri, pospeška

Radiolokacija

je določanje parametrov drugih (pasivnih) objektov

meritev odbitih signalov RADAR (RAdio Detection And Ranging)

Radionavigacija

je določanje parametrov (aktivnih) uporabnikov sistema

meritev kotov iz smernih diagramov anten

pogrešek premosorazmeren oddaljenosti od svetilnika

meritev razdalj iz časa potovanja radijskega signala

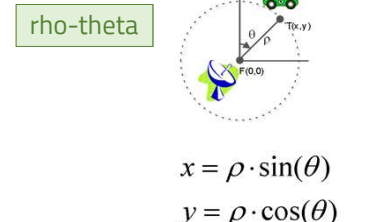
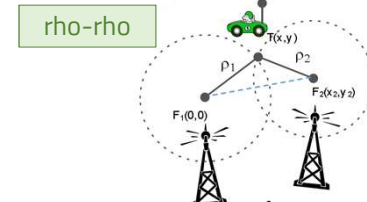
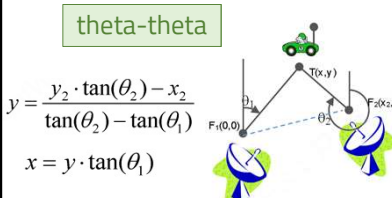
pogrešek neodvisen od oddaljenosti od svetilnika

meritev hitrosti iz Dopplerjevega pomika frekvenc

pogrešek neodvisen od oddaljenosti od svetilnika

Postopki za ugotavljanje trenutnega položaja

- Sodobni postopki ugotavljanja položaja se poslužujejo elektronskih naprav, ki so zgled kompleksne visokofrekvenčne tehnike.
- Elektronski postopki ugotavljanja položaja so v bistvu sistemi visokofrekvenčnih elektromagnetnih svetilnikov.
- Sprejemna naprava lahko s procesiranjem signalov iz teh svetilnikov in ob poznavanju njihovega položaja bolj ali manj natančno ugotovi svoj položaj.
- Pri tem se za ugotavljanje položaja poslužuje enega od naslednjih geometrijskih postopkov:
 - s pomočjo dveh azimutov (sistemi theta-theta)
 - s pomočjo dveh oddaljenosti (sistemi rho-rho)
 - s pomočjo oddaljenosti in azimuta (sistemi rho-theta)
 - s pomočjo razlik oddaljenosti do treh svetilnikov (hiperbolični sistemi)



vir: Boštjan Batagelj, Tomi Milnar, Sašo Tomažič, "Ugotavljanje položaja v sodobnih javnih mobilnih omrežjih," ERK 2022.

https://erk.fe.uni-lj.si/2022/papers/batagelj/ugotavljanje_polozaja.pdf

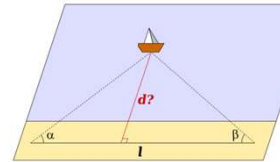
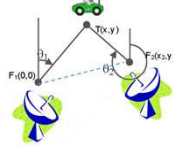
Triangulacija in trilateracija

- **Triangulacija** je način določanja lege triangulacijske točke s pomočjo trikotniških pravil in dveh točk z znanimi koordinatama.

theta-theta

$$y = \frac{y_2 \cdot \tan(\theta_2) - x_2}{\tan(\theta_2) - \tan(\theta_1)}$$

$$x = y \cdot \tan(\theta_1)$$



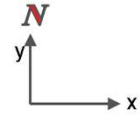
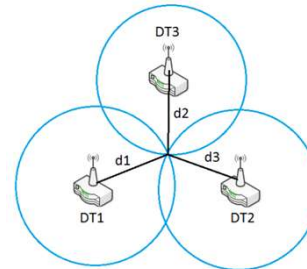
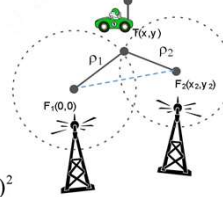
Primer:
Izračun oddaljenosti ladje od obale.

- **Trilateracija** je način določanja lege trilateracijske točke s pomočjo presečišč navideznih krožnic, ki jih okoli svetilnikov tvorijo izračunane vrednoti razdalj.

rho-rho

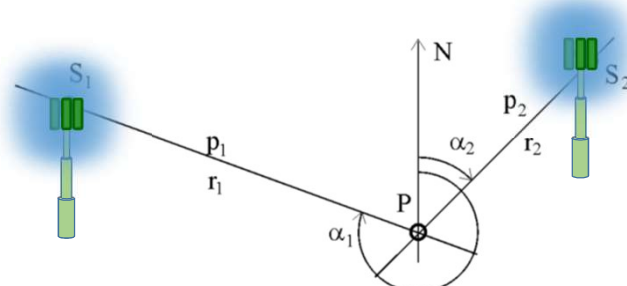
$$\rho_1^2 = x^2 + y^2$$

$$\rho_2^2 = (x - x_2)^2 + (y - y_2)^2$$



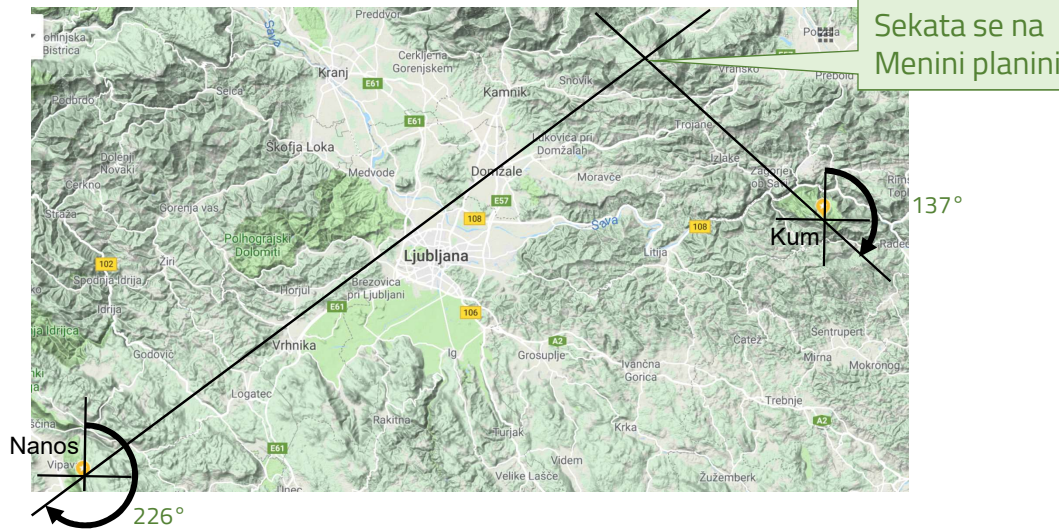
Postopki za določanje trenutnega položaja s pomočjo dveh azimutov (sistemi theta-theta)

- S_1 in S_2 sta znana svetilnika
- izmerimo azimuta



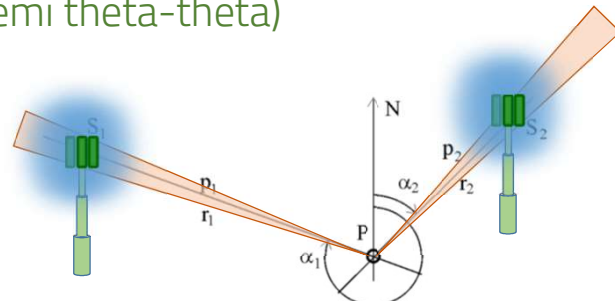
Primer kotne radionavigacije

- Na izletu vidimo antenska stolpa na Nanosu in Kumu.
- S pomočjo kompasa določimo njuna azimuta 226° in 137° .



Postopki za določanje trenutnega položaja s pomočjo dveh azimutov (sistemi theta-theta)

- S_1 in S_2 sta znana svetilnika
- izmerimo azimuta



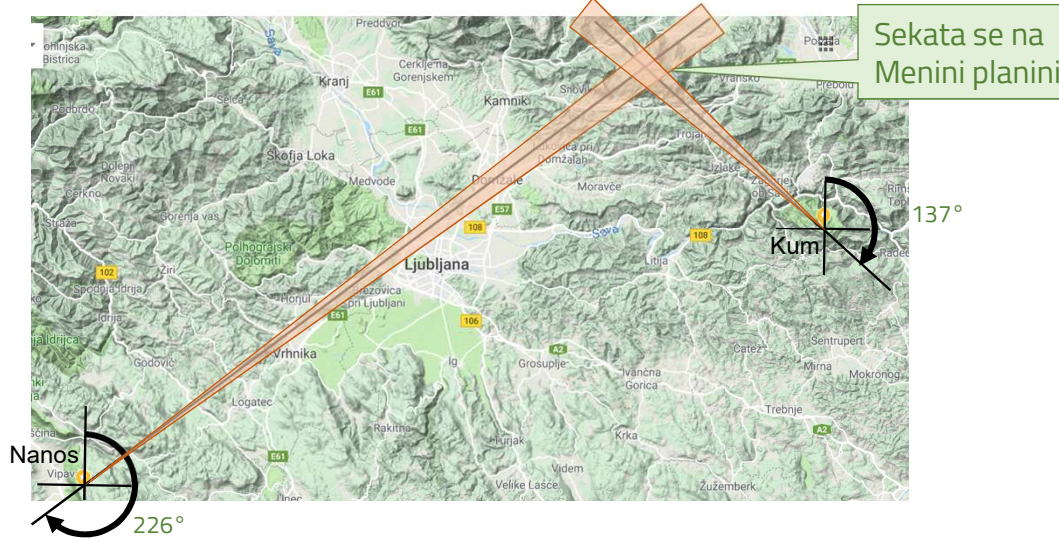
Primer: Določite pogrešek položaja pri sistemu, kjer se azimut določi s pogreškom $\pm 1^\circ$. Svetilnika vidimo pod pravim kotom in sta od nas oddaljena 50 km.

$$\Delta P = r \cdot \sin(\Delta\alpha) \approx r \cdot \Delta\alpha = 50\,000 \text{ m} \cdot (\pm 1^\circ) \cdot \frac{\pi}{180^\circ} = \pm 873 \text{ m}$$

- Pogrešek razdalje je sorazmeren oddaljenosti.
- Taki sistemi pri določanju položaja niso prav natančni.
- Če sta premici p_1 in p_2 pravokotni je pogreškovna elipsa najmanjša.

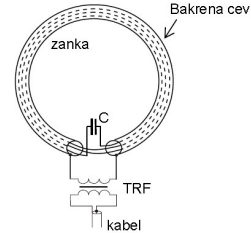
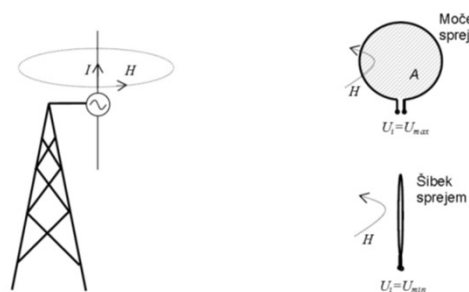
Primer kotne radionavigacije

- Na izletu vidimo antenska stolpa na Nanosu in Kumu.
- S pomočjo kompasa določimo njuna azimuta 226° in 137° .



Ugotavljanje položaja z majhno krožno zanko

- Za neusmerjene svetilnike uporabimo srednjevalovne oddajnike.
- Za sprejemnik uporabimo majhno krožno zanko.



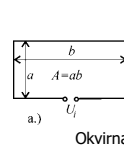
- Zanka najmočneje sprejema, ko je njeni os pravokotni na smer proti srednjevalovnemu oddajniku se izmeri azimut.

- Ker so lokacije oddajnikov poznane, na zemljevidu določimo svoj položaj.
- Iz pogreška na kotomeru ocenimo pogrešek pri položaju.

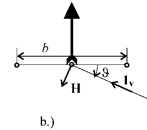


Začetki radionavigacije

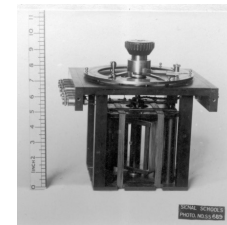
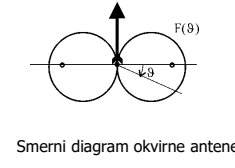
- Določanje smeri (azimuta) na sprejemni strani, bodisi svetilnika (iz letala) bodisi letala (z zemlje)
- Določanja azimuta letal (oddajnik na letalu)
- SV 1915, KV 1930, UKV 1940
- Okvirna antena (~1910)
- Križna antena z goniometrom, radijski kompas (~1920)
- Neusmerjeni svetilnik (nondirectional radio beacon, NDB), 1939
- ZDA 200 – 1750 kHz, Evropa 255 – 415 kHz
- (Radialni let, Pearl Harbour)
- Označevalnik (marker beacon), 1939, 75 MHz



Okvirna antena



b.)



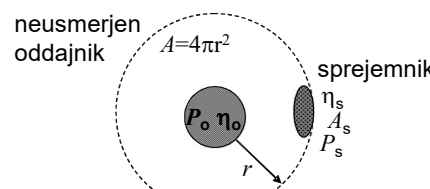
Goniometer



Prikazovalnik radijskega kompassa

Radijska zveza v praznem prostoru

- radijska zveza – elektromagnetno valovanje
- neionizirajoče sevanje je posledica pospešenega gibanja električnih nabojev



gostota pretoka moči

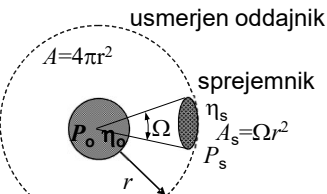
$$\bar{S} = \bar{I}_r \frac{P_o \cdot \eta_o}{4\pi r^2}$$

sprejeta moč

$$P_s = S \cdot A_s \eta_s = \frac{P_o \eta_o \cdot A_s \eta_s}{4\pi r^2}$$

Moč sprejetega signala je mogoče povečati:

- s povečanjem moči oddajnika
- z usmerjenostjo oddajnika



gostota pretoka moči

$$\bar{S} = \bar{I}_r \frac{P_o \cdot \eta_o}{A_s} = \bar{I}_r \frac{P_o \cdot \eta_o}{\Omega \cdot r^2}$$

sprejeta moč

$$P_s = S \cdot A_s \eta_s = \frac{P_o \eta_o \cdot A_s \eta_s}{\Omega \cdot r^2}$$

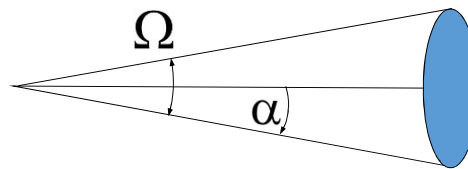
Smernost (angl. directivity) oddajnika D je faktor povečanja gostote pretoka moči S v želeni smeri ob nespremenjeni moči oddajnika P_o .

Smernost pove koliko je primer z usmerjenim oddajnikom boljši od primera z izotropnim neusmerjenim oddajnikom

$$D = \frac{4\pi}{\Omega} \geq 1$$

$$D[\text{dBi}] = 10 \cdot \log_{10} \left(\frac{4\pi}{\Omega} \right) \geq 0 \text{ dBi}$$

Prostorski kot

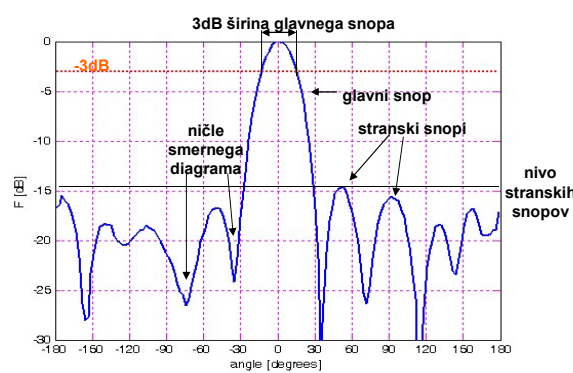


$$\Omega = 2\pi(1 - \cos \alpha)$$

polni ravninski kot $\alpha = 0 \dots \pi$ [radian=rd]

polni prostorski kot $\Omega = 0 \dots 4\pi$ [steradian=srd]

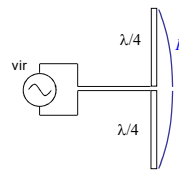
Značilni parametri smernega diagrama



$$D = \frac{4\pi |F(\theta_{\max}, \phi_{\max})|^2}{\int_{4\pi} |F(\theta, \phi)|^2 d\Omega}$$

Smernost $\lambda/2$ dipola

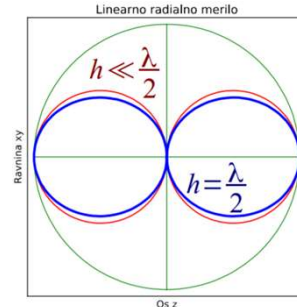
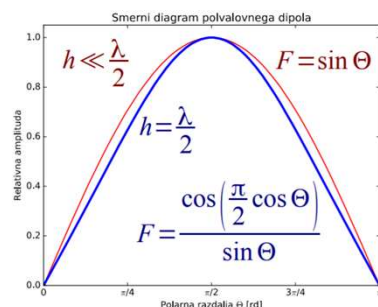
- Primer: Izračunajte smernost antene v obliki $\lambda/2$ dolge žice, ki največ seva bočno.



$$F(\theta, \varphi) = \frac{\cos\left(\frac{\pi}{2} \cos \theta\right)}{\sin \theta}$$

$$F(\Theta_{MAX}=\pi/2)=1$$

$$D = \frac{4\pi}{\int_0^{2\pi} \int_0^{\pi} \left[\frac{\cos\left(\frac{\pi}{2} \cos \Theta\right)}{\sin \Theta} \right]^2 \sin \Theta d\Theta d\Phi}$$



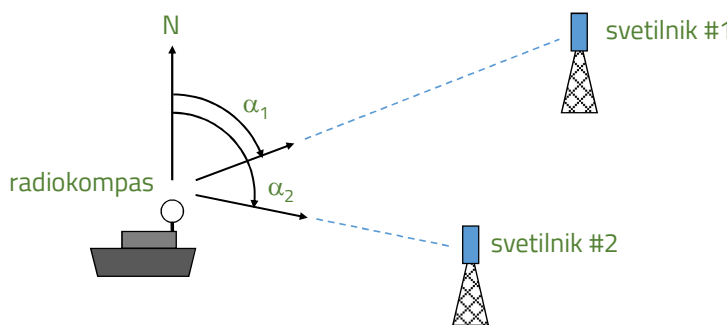
$$D = \frac{4\pi}{2\pi I_{\lambda/2}} = \frac{2}{1.218827} = 1.640922$$

$$D_{\text{dBi}} = 10 \log_{10} 1.640922 = 2.150879 \text{ dBi}$$

$$D=1,64=2,15 \text{ dBi}$$

Neusmerjen svetilnik

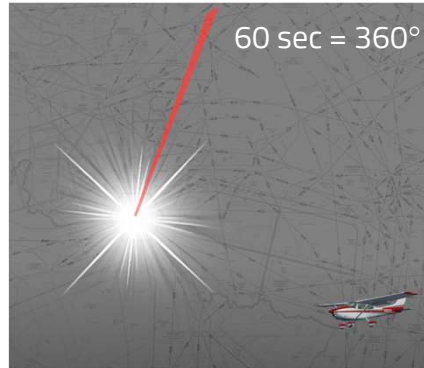
- Non-directional (radio) beacon (NDB), leta 1939
- ZDA 200 – 1750 kHz, Evropa 255 – 415 kHz
- Za določitev azimuta neusmerjenega svetilnika potrebujemo na sprejemni strani (uporabnik) vrtljivo usmerjeno anteno.



- Ali je mogoče narediti sistem, pri katerem uporabnik določa azimut z neusmerjeno anteno, ki je ne bi bilo treba vrteti?

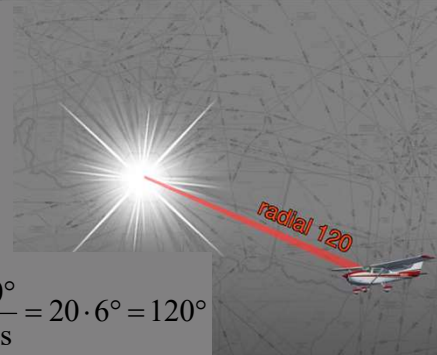
Vrteči svetilnik

- Ali je mogoče narediti sistem, pri katerem uporabnik določa azimut z neusmerjeno anteno, ki je ne bi bilo treba vrteti?
- Pri takšnem sistemu bi očitno moral svetilnik oddajati v različne smeri različen signal, saj bi le tako sprejemnik lahko določil, iz katere smeri prihaja signal.
- To lahko storimo na različne načine.
- Poglejmo si za uvod, kako bi tako deloval svetlobni svetilnik.



60 sec = 360°
20 sec = ?

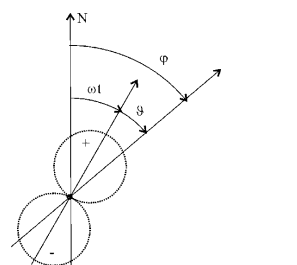
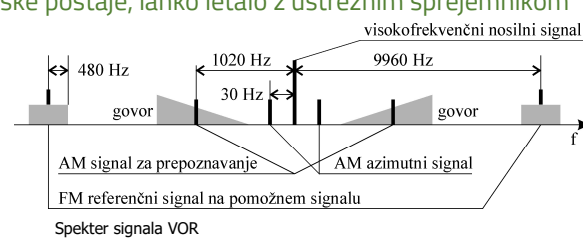
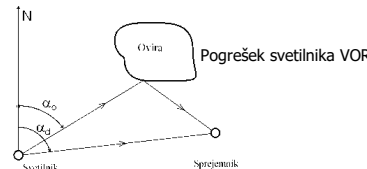
$$\text{radial} = 20 \text{ s} \cdot \frac{360^\circ}{60 \text{ s}} = 20 \cdot 6^\circ = 120^\circ$$



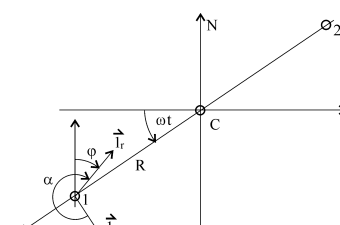
Vrtilni svetilnik

(angl. very high frequency omnidirectional radio range – VOR)

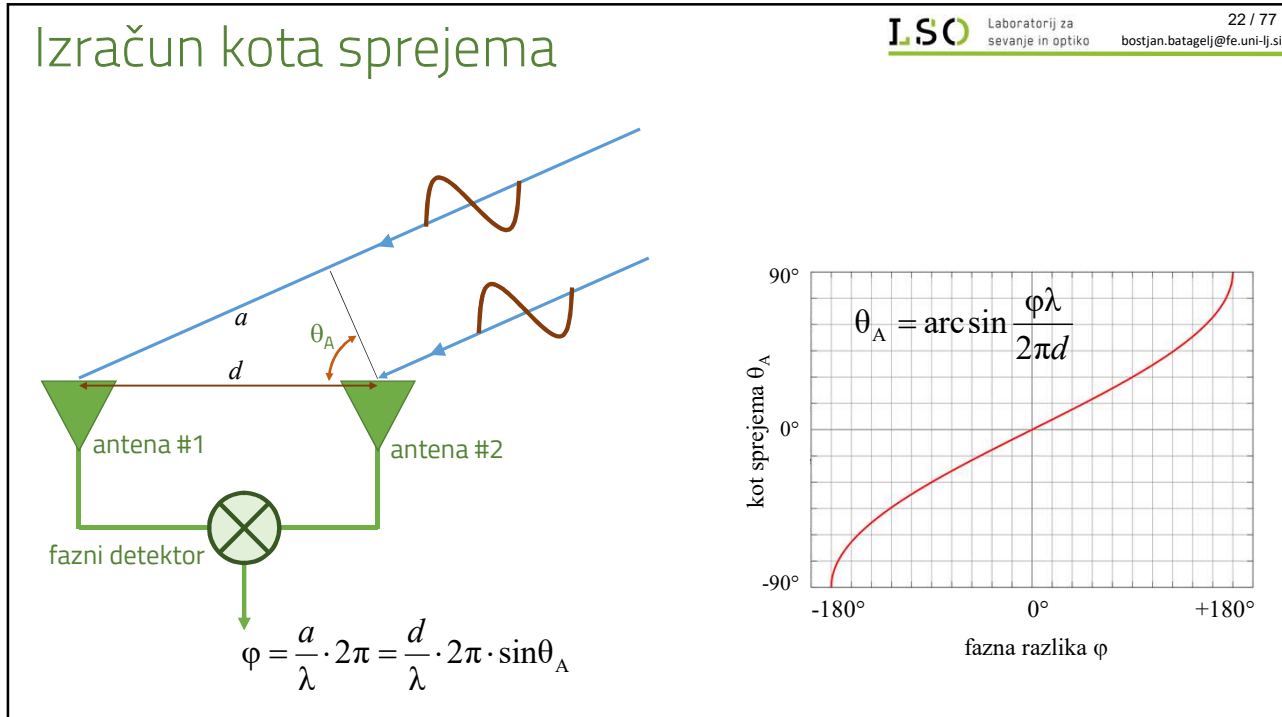
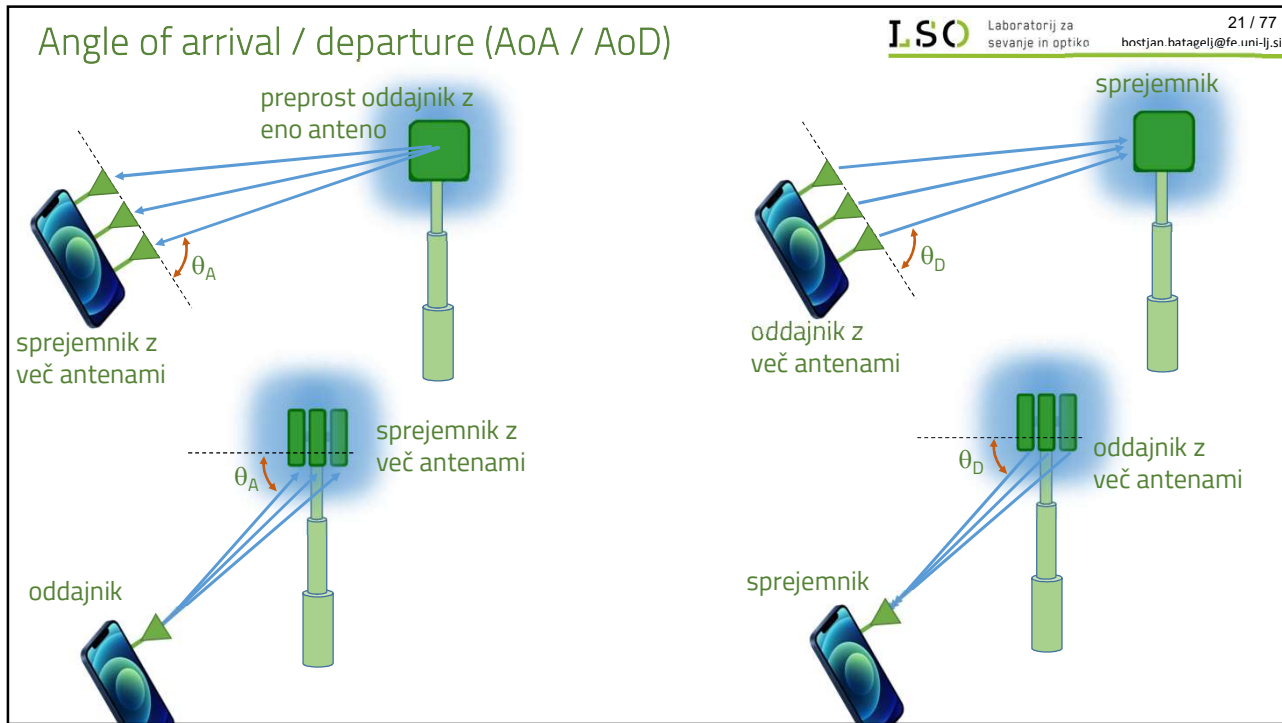
- S sprejemom radijskih signalov, ki jih oddajajo zemeljske postaje, lahko letalo z ustreznim sprejemnikom določi svoj položaj in ostane na svoji poti.
- Smer na oddajni strani
- Na sprejemu vsesmerna antena
- Oddaja v pasu od 108 MHz do 118 MHz
- Začetki v 30 letih 20. stol.
- VOR 1946
- Dopplerjev vrtilni svetilnik (DVOR) 1960



Vrteča se antena oddajnika VOR s 1800 vrtljaji v minutu, kar pomeni amplitudno modulacijo 30 Hz na mestu uporabnika.



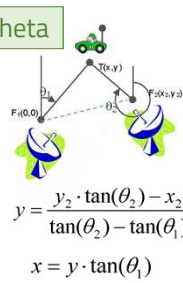
Dve krožeciči anten oddajnika DVOR za oba bočna pasova FM azimutnega signala



Postopki za določanje trenutnega položaja

- Sodobni postopki določanja položaja se poslužujejo elektronskih naprav, ki so zgled kompleksne visokofrekvenčne tehnike.
- Elektronski postopki določanja položaja so v bistvu sistemi visokofrekvenčnih elektromagnetnih svetilnikov.
- Sprejemna naprava lahko s procesiranjem signalov iz teh svetilnikov in ob poznavanju njihovega položaja bolj ali manj natančno določi svoj položaj.
- Pri tem se za določanje položaja poslužuje enega od naslednjih geometrijskih postopkov:
 - s pomočjo dveh azimutov (sistemi theta-theta)
 - s pomočjo dveh oddaljenosti (sistemi rho-rho)
 - s pomočjo oddaljenosti in azimuta (sistemi rho-theta)
 - s pomočjo razlik oddaljenosti do treh svetilnikov (hiperbolični sistemi)

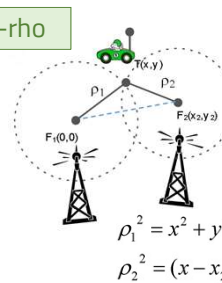
theta-theta



$$y = \frac{y_2 \cdot \tan(\theta_2) - x_2}{\tan(\theta_2) - \tan(\theta_1)}$$

$$x = y \cdot \tan(\theta_1)$$

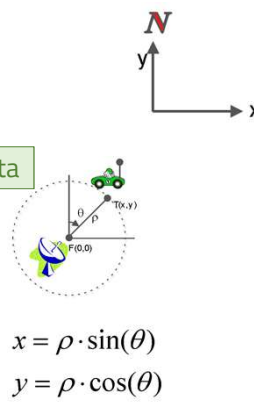
rho-rho



$$\rho_1^2 = x^2 + y^2$$

$$\rho_2^2 = (x - x_2)^2 + (y - y_2)^2$$

rho-theta



$$x = \rho \cdot \sin(\theta)$$

$$y = \rho \cdot \cos(\theta)$$

Postopki za ugotavljanje trenutnega položaja s pomočjo dveh oddaljenosti (sistemi rho-rho)

Postopek:

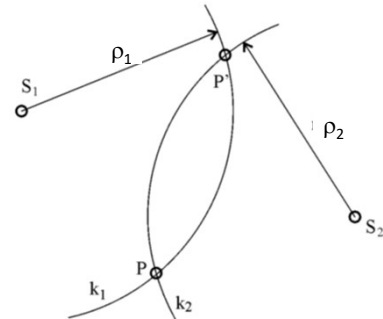
- S_1 in S_2 sta znana svetilnika
- izmerimo razdalji do svetilnikov
- narišemo krožnici
- presečišče krožnic je naš položaj

Težava:

- krožnici se sekata v dveh točkah (P in P')

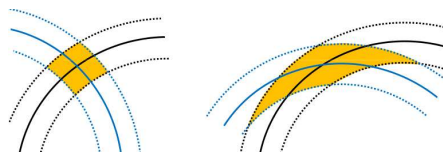
Rešitev dvoumnosti:

- izmerimo še oddaljenost od tretjega svetilnika
- naredimo več zaporednih meritev
- pomagamo si z našim izhodiščnim položajem, ki je najverjetneje blizu trenutnega položaja

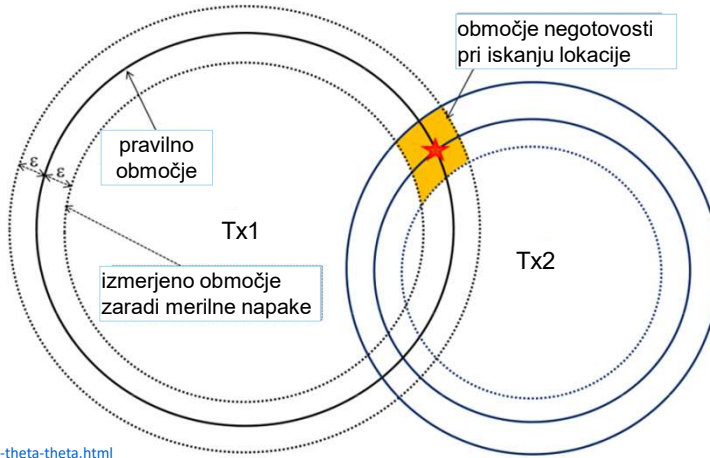


Napake pri določanju trenutnega položaja s pomočjo dveh oddaljenosti (sistemi rho-rho)

- Položaj je določen kot stičišče dveh krogov, ki imata v središču svetilnika.
- Če meritve niso točne nastopi napaka pri merjenju, ki vodi v območje negotovosti.
- Geometrija svetilnikov (kako jih uporabnik vidi) vpliva na napake lociranja.
- Velikost in oblika področja negotovosti je odvisna od relativnega položaja svetilnikov.



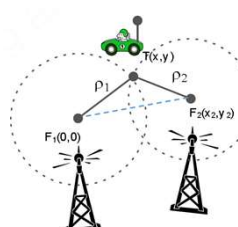
redčenje natančnosti
(angl. Dilution of Precision - DOP)



Vir: <http://petersengineering.blogspot.com/2019/10/position-fix-rho-rho-rho-theta-theta.html>

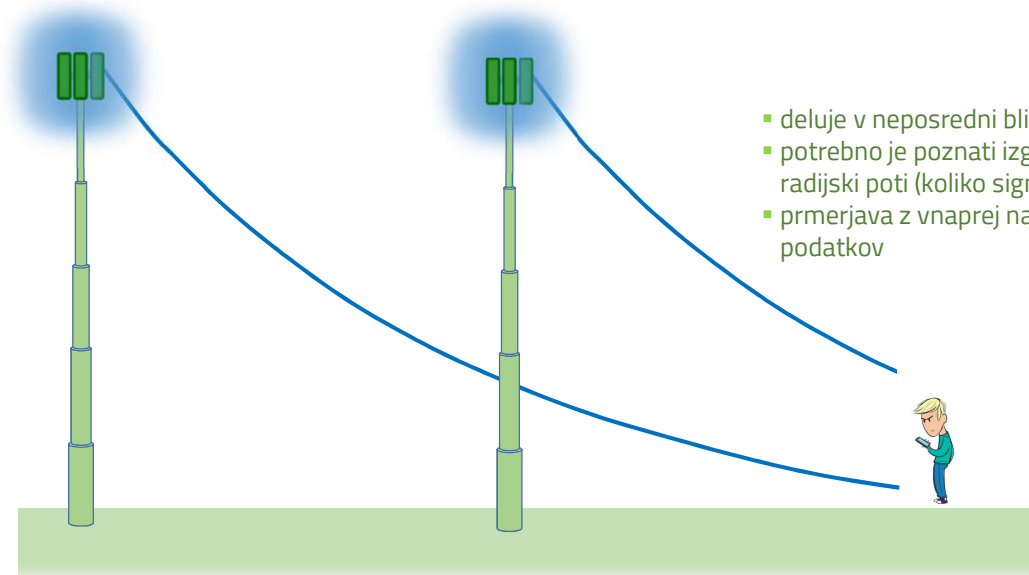
Postopki za določanje oddaljenosti od svetilnikov

- Pri sistemu rho-rho se oddaljenost od svetilnikov lahko določi z:
 - merjenje moči sprejetega signala (angl. Received Signal Strength – RSS)
 - merjenje časa (angl. Time of Arrival – TOA)
 - merjenje faze pri uporabi več frekvenc

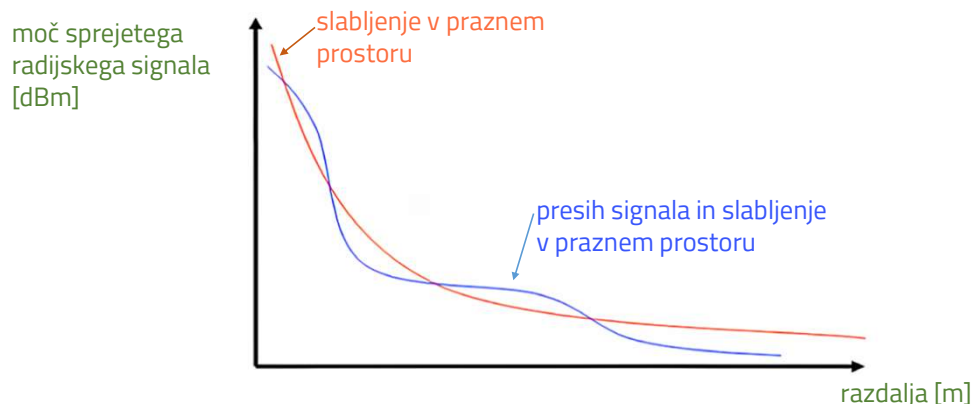


Določanje oddaljenosti z merjenjem sprejete moči

▪ (angl. Received Signal Strength – RSS)



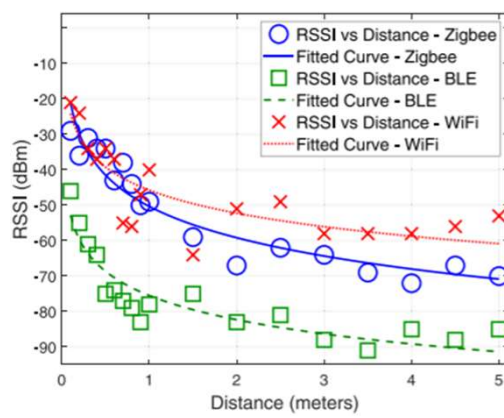
Problem ugotavljanja oddaljenosti iz izmerjene sprejete moči



vir: Chen, C.-M.; Huang, Y.-F.; Jheng, Y.-T. An Efficient Indoor Positioning Method with the External Distance Variation for Wireless Networks. *Electronics* **2021**, *10*, 1949. <https://doi.org/10.3390/electronics10161949>

vir: Matevž Šelj, Ugotavljanje lokacije uporabnika v notranjih prostorih, diplomsko delo visokošolski strokovni študijski program prve stopnje Aplikativna elektrotehnika, mentor: Boštjan Batagelj, Ljubljana, 2022

Popravljanje z učno množico

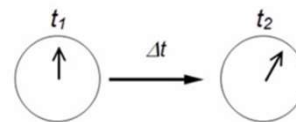


vir: S. Sadowski, P. Spachos and K. N. Plataniotis, "Memoryless Techniques and Wireless Technologies for Indoor Localization With the Internet of Things," in *IEEE Internet of Things Journal*, vol. 7, no. 11, pp. 10996-11005, Nov. 2020, doi: 10.1109/JIOT.2020.2992651.

Določanje oddaljenosti z merjenjem časa (angl. Time of Arrival – TOA)

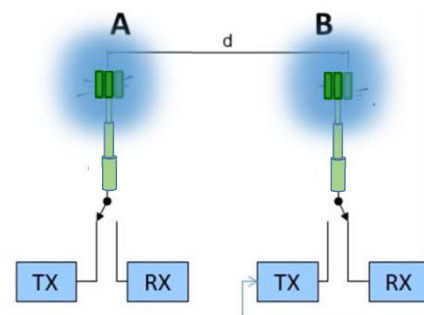
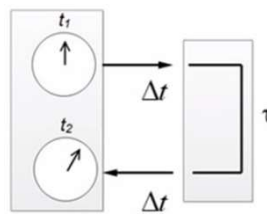
- s sinhroniziranimi urami

$$\Delta t = t_2 - t_1$$



- z dvosmerno meritvijo (ni potrebna sinhronizacija)

$$\Delta t = \frac{1}{2}[(t_2 - t_1) - \tau]$$



Merjenje časa z dvosmerno meritvijo

- Oddaljenost med uporabnikom in bazno postajo 5G določamo z dvosmerno meritvijo časa. Uporabnik odda signalni impulz proti bazni postaji ob času $50 \mu\text{s}$ in ga dobi nazaj ob času $55,5 \mu\text{s}$. Bazna postaja sprejme signalni impulz ob svojem lokalnem času $25 \mu\text{s}$ in ga odda nazaj ob času $26,5 \mu\text{s}$. Izračunajte razdaljo med uporabnikom in bazno postajo. ($c_0 = 300.000 \text{ km/s}$)

$$(t_2 - t_1) = 2\Delta t + \tau$$

$$(t_2 - t_1) - \tau = 2\Delta t$$

$$\Delta t = \frac{(t_2 - t_1) - \tau}{2} = \frac{5,5 \mu\text{s} - 1,5 \mu\text{s}}{2} = \frac{4 \mu\text{s}}{2} = 2 \mu\text{s}$$

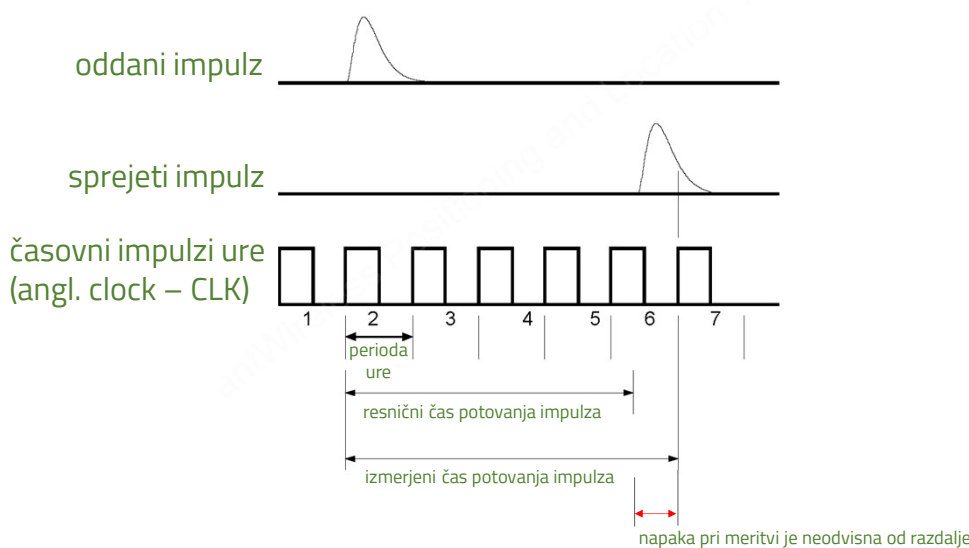
$$t_1 = 50 \mu\text{s} \quad t_2 = 55,5 \mu\text{s}$$

$$\tau = 26,5 \mu\text{s} - 25 \mu\text{s} = 1,5 \mu\text{s}$$

$$t_2 - t_1 = 55,5 \mu\text{s} - 50 \mu\text{s} = 5,5 \mu\text{s}$$

$$l = \Delta t \cdot c_0 = 2 \cdot 10^{-6} \text{ s} \cdot 3 \cdot 10^8 \text{ m/s} = 6 \cdot 10^2 \text{ m} = \underline{\underline{600 \text{ m}}}$$

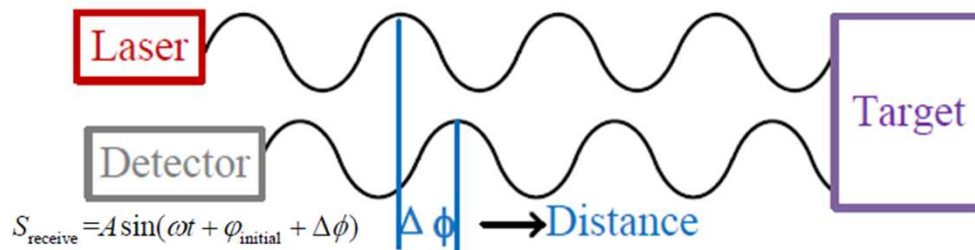
Časovna resolucija



From A. Bensky, *Wireless Positioning Technologies and Applications*, 2nd Ed.

Laser ranging system base on phase measurement

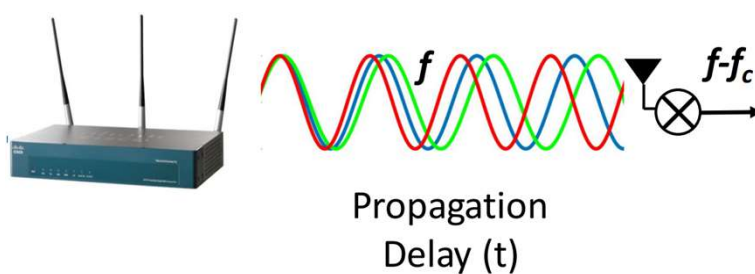
$$S_{\text{emit}} = A \sin(\omega t + \varphi_{\text{initial}})$$



$$S_{\text{receive}} = A \sin(\omega t + \varphi_{\text{initial}} + \Delta\phi)$$

$$D = \frac{ct}{2} = \frac{c}{2} \times \frac{\Delta\phi}{2\pi f} = \frac{c\Delta\phi}{4\pi f}$$

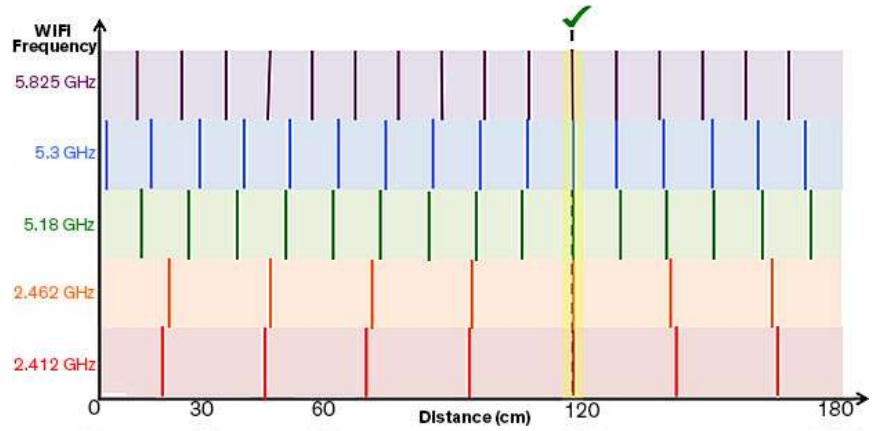
Phase measurement



vir: <https://spectrum.ieee.org/mit-turns-wifi-into-indoor-gps>

vir: Deepak Vasisht, Swarun Kumar, Dina Katabi, "Decimeter-Level Localization with a Single WiFi Access Point", Proceedings of the 13th USENIX Symposium on Networked Systems Design and Implementation (NSDI '16), March 16–18, 2016 • Santa Clara, CA, USA, <https://www.usenix.org/conference/nsdi16/technical-sessions/presentation/vasisht>

Merjenje faze pri uporabi več frekvenc

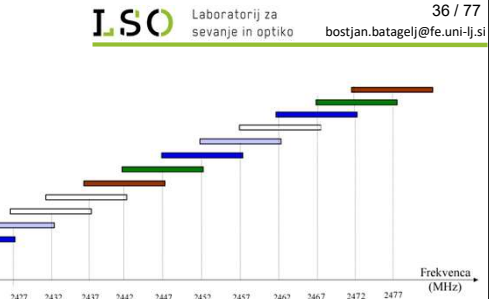


$$l = \frac{c_0}{\Delta f}$$

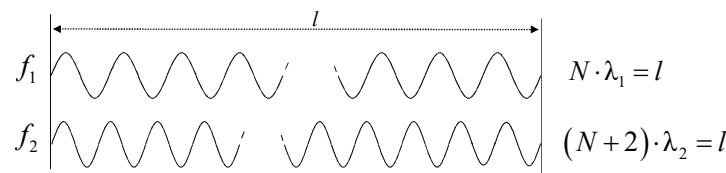
vir: <https://spectrum.ieee.org/mit-turns-wifi-into-indoor-gps>
 vir: Deepak Vasisht, Swaran Kumar, Dina Katabi, "Decimeter-Level Localization with a Single WiFi Access Point", Proceedings of the 13th USENIX Symposium on Networked Systems Design and Implementation (NSDI '16), March 16–18, 2016 • Santa Clara, CA, USA,
<https://www.usenix.org/conference/nsdi16/technical-sessions/presentation/vasisht>

Merjenje razdalje iz fazne razlike

- Razdaljo med napravama WiFi merimo s pomočjo meritve fazne razlike med najvišjim in najnižjim WiFi kanalom ($f_1=2412$ MHz, $f_2=2477$ MHz). Izračunajte njuno medsebojno razdaljo, če sprejemnik izmeri fazno razliko med skrajnima kanaloma ravno 720° ($2 \times 360^\circ$).

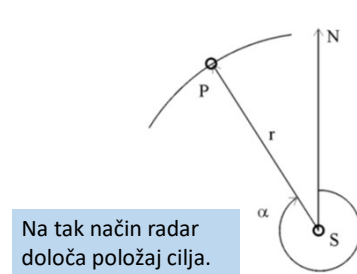


$$\Delta f = f_2 - f_1 = 2,477 \text{ GHz} - 2,412 \text{ GHz} = 65 \text{ MHz}$$

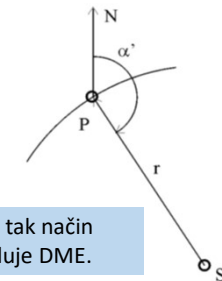


$$\Delta f = f_2 - f_1 = \frac{c_0}{\lambda_2} - \frac{c_0}{\lambda_1} = c_0 \left(\frac{N+2}{l} - \frac{N}{l} \right) = \frac{c_0}{l} (N+2 - N) = 2 \frac{c_0}{l} \quad \rightarrow \quad l = 2 \frac{c_0}{\Delta f} = 2 \cdot \frac{3 \cdot 10^8 \text{ m/s}}{65 \cdot 10^6 \text{ Hz}} = 9,23 \text{ m}$$

Postopki za določanje trenutnega položaja s pomočjo oddaljenosti in azimuta (sistemi rho-theta)



Na tak način radar določa položaj cilja.



Na tak način deluje DME.

Primer: Določite tangencialni in radialni pogrešek položaja pri sistemu, kjer se azimut določi s pogreškom $\pm 1^\circ$, pogrešek oddaljenosti pa znaša 400 m. Svetilnik je od nas oddaljen 50 km.

$$\text{Tangencialni pogrešek znaša } \Delta P = r \cdot \Delta \alpha = 50\,000 \text{ m} \cdot (\pm 1^\circ) \cdot \frac{\pi}{180^\circ} = \pm 873 \text{ m.}$$

Radialni pogrešek znaša 400 m.

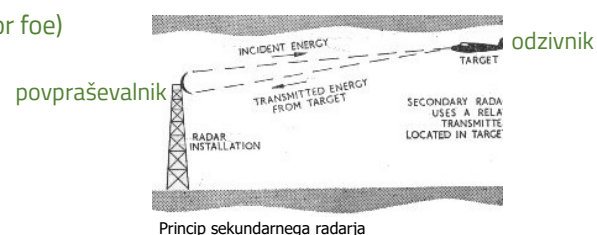
Primer: Določite tangencialni in radialni pogrešek položaja pri sistemu iz zgornjega primera, če je svetilnik od nas oddaljen 10 km.

$$\text{Tangencialni pogrešek znaša } \Delta P = r \cdot \Delta \alpha = 10\,000 \text{ m} \cdot (\pm 1^\circ) \cdot \frac{\pi}{180^\circ} = \pm 175 \text{ m.}$$

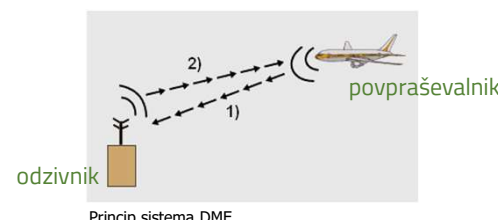
Radialni pogrešek je seveda tudi v tem primeru 400 m.

Merjenje oddaljenosti

- 2. svet. vojna sistem IFF (angl. identification friend or foe)
- Povpraševalnik na tleh, odzivnik v letalu
- Iz tega se je razvil sekundarni radar
- Določa azimut in oddaljenost cilja (letala)
- En povpraševalnik, mnogo odzivnikov
- Frekvenca 1 GHz

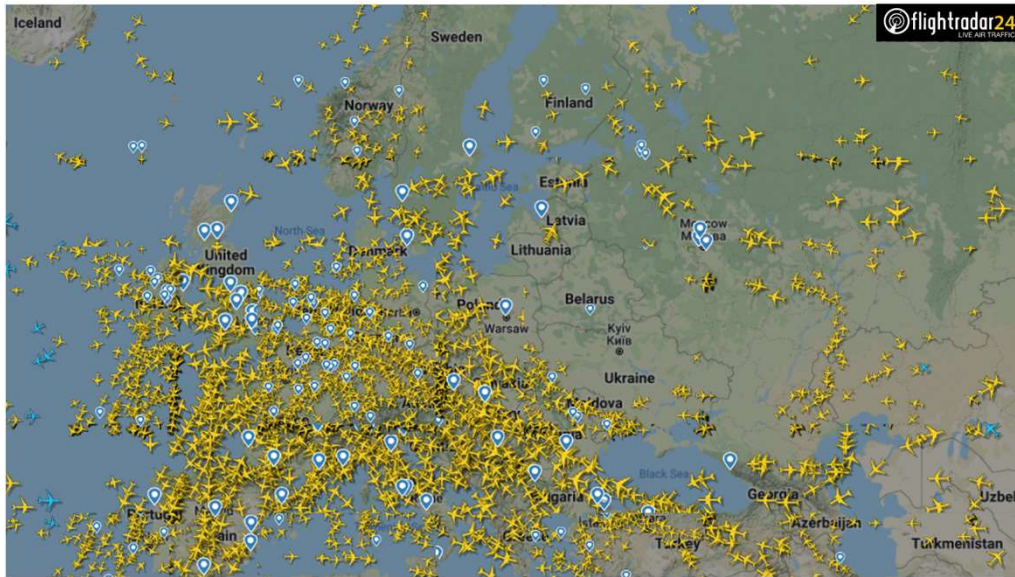


$$R = \frac{(\Delta t - t_z) c}{2}$$



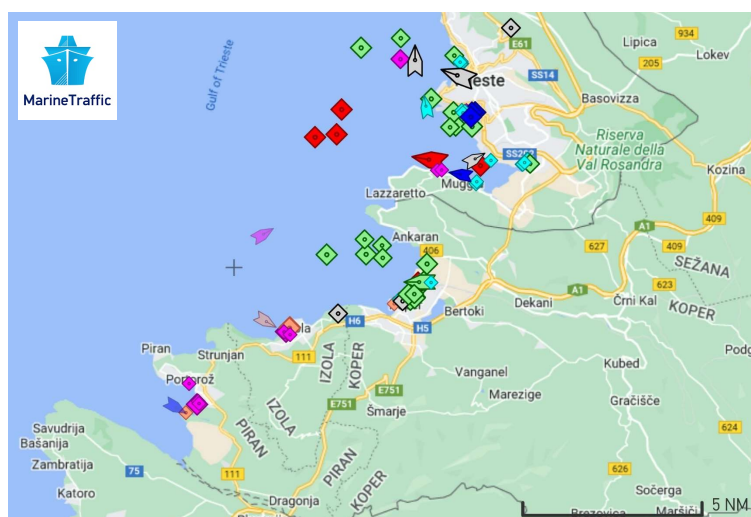
- in kasneje (~1950, Avstralija)
- sistem DME (angl. distance measurement equipment) (standardiziran 1959)
- Povpraševalnik v letalu, odzivnik na tleh
- Določa oddaljenost od odzivnika
- Mnogo povpraševalnikov, en odzivnik
- Frekvenca 1 GHz

Javni protokol TCAS (sekundarni radar) je omogočil razvoj aplikacij za sledenje letalom



Podoben sistem obstaja za pomorstvo

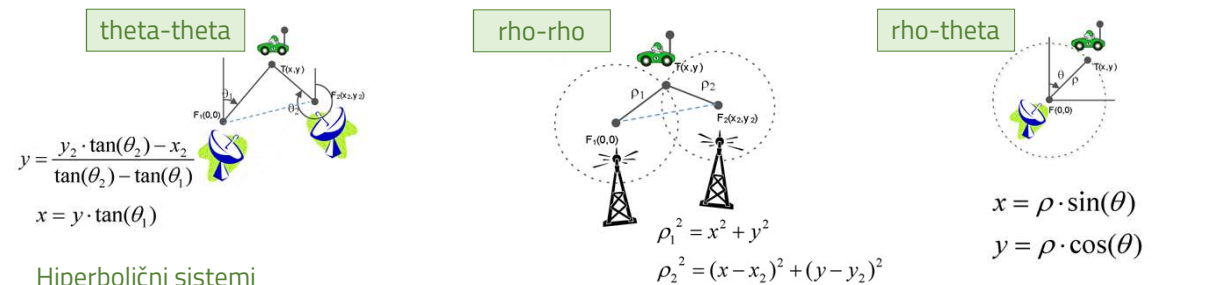
- avtomatski identifikacijski sistem (angl. automatic identification system - AIS)
https://en.wikipedia.org/wiki/Automatic_identification_system



Postopki za določanje trenutnega položaja

Za določanje položaja poslužuje enega od naslednjih geometrijskih postopkov:

- s pomočjo dveh **azimutov** (sistemi theta-theta)
- s pomočjo dveh **oddaljenosti** (sistemi rho-rho)
- s pomočjo **oddaljenosti in azimuta** (sistemi rho-theta)
- s pomočjo **razlik oddaljenosti** do treh svetilnikov (hiperbolični sistemi)

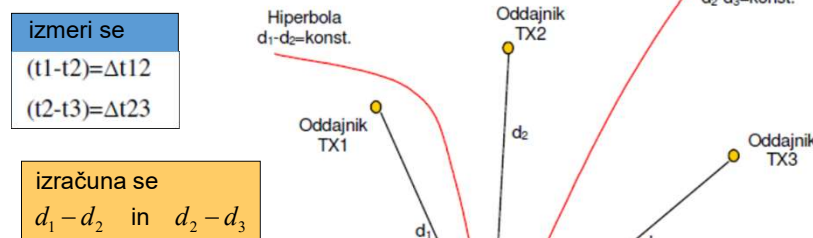


Hiperbolični sistemi

- pomorski sistemi (LORAN, Čajka)
- uvod v satelitske sisteme (sistema Transit in Cikada)
- sistemi NAVSTAR-GPS, GLONASS, GALILEO, ostali
- kodno multipleksiranje
- sprejemniki in pogreški
- mobilniki kot sprejemniki navigacijskega signala

Osnove hiperbolične navigacije

- Iz navigacijskega signala uporabnik izmeri razlike v časih med posameznimi svetilniki.
- Sprejemnik sprejme zgolj relativne čase posameznih svetilnikov in izračuna svojo lokacijo.



- Sistem omogoča neomejeno število (pasivnih) uporabnikov.
- **hiperbolična radionavigacija** (angl. hyperbolic radionavigation) je radionavigacijski sistem, ki temelji na merjenju razlik zakasnitve za radijske signale, ki jih odda več parov povezanih (**sinhroniziranih**) oddajnikov; za vsak par oddajnikov se izohrone krivulje zdijo skoraj hiperbolične, lokacija mobilne postaje pa se lahko ugotovi iz družin krivulj, povezanih z dvema ali več pari oddajnikov (vir: IEV 713)

Primer računanja hiperbole

- Prvi radionavigacijski svetilnik se nahaja v točki $x_1=3$ km in $y_1=3$ km, drugi radionavigacijski svetilnik pa v točki $x_2=10$ km in $y_2=10$ km. Uporabnik izmeri razliko razdalj $d=3$ km in ugotovi, da je bližje drugemu oddajniku. Določite enačbo dvodimensijske krivulje (hiperbole) na kateri se nahaja uporabnik!

$$d_1 = \sqrt{(x-3)^2 + (y-3)^2}$$

$$d_2 = \sqrt{(x-10)^2 + (y-10)^2}$$

$$d_1 - d_2 = d = 3$$

$$\underline{d_1 = d_2 + 3}$$

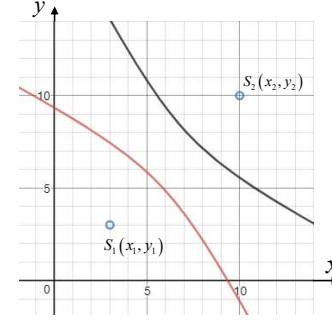
$$\sqrt{(x-3)^2 + (y-3)^2} = \sqrt{(x-10)^2 + (y-10)^2} + 3$$

$$x^2 - 6x + 9 + y^2 - 6y + 9 = x^2 - 20x + 100 + y^2 - 20y + 100 + 9 + 2 \cdot 3 \cdot \sqrt{(x-10)^2 + (y-10)^2}$$

$$14x + 14y - 191 = 6 \cdot \sqrt{(x-10)^2 + (y-10)^2}$$

$$196x^2 + 196y^2 + 36481 + 392xy - 5348x - 5348y = 36x^2 - 720x + 3600 + 36y^2 - 720y + 3600$$

$$\underline{160x^2 - 4628x + 160y^2 - 4628y + 392xy + 29281 = 0}$$



Zgodovina hiperbolične navigacije

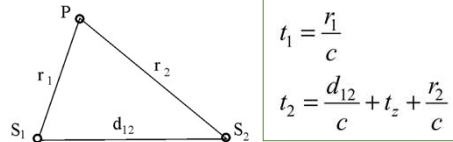
sistem	leto delovanja	lastnik	frekvenčni pas	Točnost
Loran-A	1943 – 1980 (1985)	ZDA	1,9 – 7,5 MHz	$\approx 1,6$ km
Decca	1940 – 2000	UK	70 – 129 kHz	≈ 200 m
Loran-C	1960 – 2014	ZDA	90 – 110 kHz	≈ 200 m
Čajka (galeb)	1969 - danes	Rusija	90 – 110 kHz	≈ 200 m
eLoran (Enhanced Loran)	2007 - danes	globalni	90 – 110 kHz	

sistem	leto delovanja	lastnik	frekvenčni pas	Točnost
Omega	1968 – 2011	ZDA	9 – 14 kHz	$\approx 2,2$ km
Alpha	1968 – 2017	Rusija	9 – 14 kHz	2,5 km – 7 km

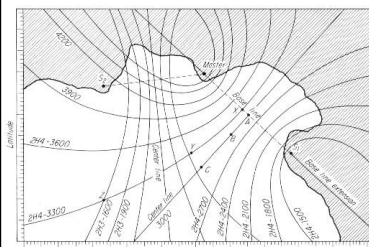
Pomorski hiperbolični sistemi Loran

Loran A (angl. LOng RAnge Navigation; slov. Navigacija dolgega dosega)

- začetki ~1940, uveden 1943
- veriga glavni – podrejeni (angl. master – slave)
- več svetilnikov z eno uro
- merjenje časa
- 2 MHz
- ob koncu 2. svet, vojne že 72 verig ob Pacifiku



oddajnik sistema Loran



zemljevid sistema Loran

$$r_2 - r_1 = (t_2 - t_1 - t_z)c - d_{12}$$

Loran C

- začetki 1945, uveden 1960
- veriga master – slave
- merjenje časa in faze
- 100 kHz

Problem merjenja časovne zakasnitve

Kvarčna ura s stabilnostjo 10^{-8} pogreši v enem dnevu za 10^{-3} sek
Pogrešek 300 km

Ali usklajene ure ali ena ura!

- veriga svetilnikov je ranljiv sistem.

Napaka lokacije pri LORAN

- Pri pomorskem hiperboličnem sistemu Loran pomorščak določi lokacijo ladje s pomočjo svetilnikov, pri čemer ima vsak od svetilnikov svojo kvarčno uro s stabilnostjo 10^{-8} . Veriga svetilnikov se enkrat na dan sinhronizira po sistemu da glavni (angl. Master) svetilnik pošlje uro ostalim podrejenim (angl. Slave) svetilnikom. Določite največjo napako, ki jo bo pri določitvi lokacije imel pomorščak.

- Stabilnost ure je podana v odstopanju (v sekundah) na en dan.

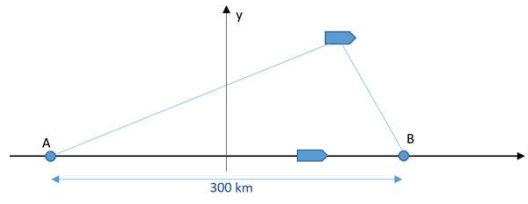
$$\frac{\Delta t [s]}{1 \text{ dan}} = \text{stabilnost}$$

$$\Delta t = 24 \text{ h} \cdot 60 \text{ min} \cdot 60 \text{ s} \cdot 10^{-8} = 86400 \text{ s} \cdot 10^{-8} = 864 \cdot 10^{-6} \text{ s}$$

$$\Delta L = c_0 \cdot \Delta t = 3 \cdot 10^8 \text{ m/s} \cdot 864 \cdot 10^{-6} \text{ s} = \underline{\underline{259,2 \text{ km}}}$$

Enačba hiperbole za sistem LORAN

- Sistem LORAN ima dve zemeljski radijski postaji (A in B), ki sta oddaljeni 300 km. Pri svetlobni hitrosti 300 km/s sta natanko 1 ms narazen. Ladja je prejela signal s postaje B 0,5 ms preden je sprejela signal s postaje A. Zapišite enačbo hiperbole, na kateri leži ladja.



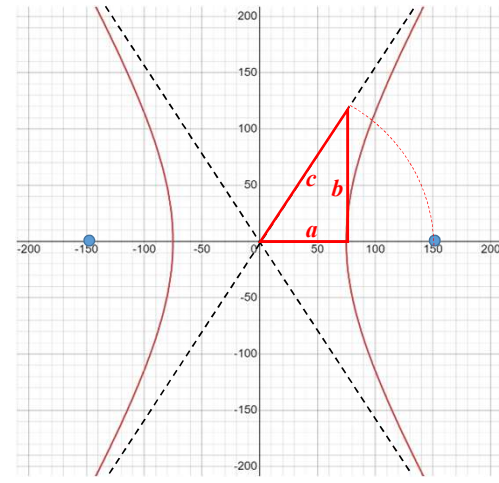
$$\Delta t = t_A - t_B = 0,5 \text{ ms} \Rightarrow a = 75 \text{ km}$$

- Enačba hiperbole $\frac{x^2}{a^2} - \frac{y^2}{b^2} = 1 \Rightarrow \frac{x^2}{(75 \text{ km})^2} - \frac{y^2}{(129,9 \text{ km})^2} = 1$

$$\frac{x^2}{5625 \text{ km}^2} - \frac{y^2}{16875 \text{ km}^2} = 1$$

$$c = 150 \text{ km}$$

$$b^2 = c^2 - a^2 = (150 \text{ km})^2 - (75 \text{ km})^2 = 22500 \text{ km}^2 - 5625 \text{ km}^2 = 16875 \text{ km}^2 \Rightarrow b = 129,9 \text{ km}$$



Izračun položaja ladje pri LORAN

- Pomorski navigacijski sistem LORAN meri razliko časov, ki jih potrebuje radijski signal, da prepotuje od parov radijskih svetilnikov do ladje. Iz izmerjenih razlik časov nato sistem določi dve enačbi hiperbole, ki potečajo skozi položaj ladje. Izračunajte položaj ladje v prvem kvadrantu koordinatnega sistema, če je sistem LORAN podal hiperboli $9x^2 - 4y^2 = 32$ in $16y^2 - x^2 = 12$.

$$9x^2 - 4y^2 = 32 \quad | \cdot 4$$

$$16y^2 - x^2 = 12$$

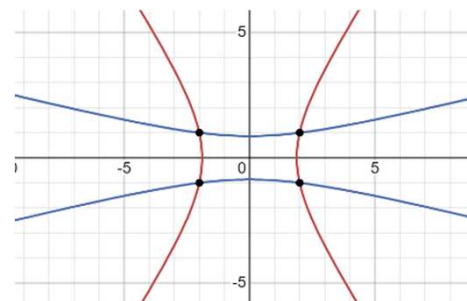
$$36x^2 - 16y^2 = 128$$

$$16y^2 - x^2 = 12$$

$$35x^2 = 140$$

$$x = 2 \quad y = 1$$

Prvi kvadrant: $x > 0; y > 0$

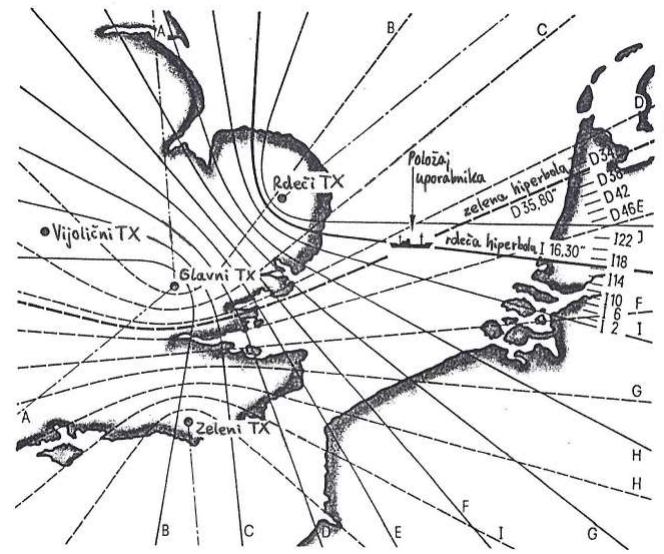


Sistem DECCA

- glavi TX = $6 \times 14 \text{ kHz} = 84 \text{ kHz}$
- rdeči TX = $8 \times 14 \text{ kHz} = 112 \text{ kHz}$
- zeleni TX = $9 \times 14 \text{ kHz} = 126 \text{ kHz}$
- vijolični TX = $5 \times 14 \text{ kHz} = 70 \text{ kHz}$

- Točnost $\Delta r \approx 200 \text{ m}$

- Uporaba: dokumentiranje minskih polj za izkrcanje v Normandiji 1944



Merjenje časa

- Napredek, ki ga je dosegla sodobna tehnologija v merjenju in vzdrževanju časa.

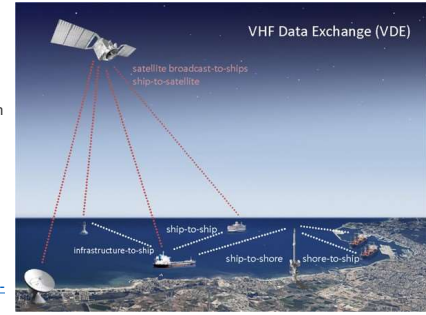
stabilnost s/dan	Konstrukcija
10 ps	hidrogenSKI maser
100 ps	cezijeVA ura
1 ns	rubidiJEVA ura
10 ns	prva atomsKA ura
1 μs	kvarčNA (kremenova) ura
--	--
1 ms	najbolj stabilna nihalna ura (Short 1921)
1-2 ms	spremembe rotacije Zemlje
0,01 s	ura z nihalom (S. Reifler, 1889)
--	--
0,2 s	kronometER (J. Harrison 1761)
1 s	G. Graham 1721
100 s	C. Hyugens (prva nihalna ura, 1657)

DAB kot podpora za navigacijo

- Motenje GPS v Severni Koreji moti leta in ladje v Južni Koreji
<https://www.gpsworld.com/alleged-north-korea-gps-jamming-disrupts-flights-and-ships-in-south-korea-for-second-day/>
- Južno Korejska vlada je pripravila novo strategijo za uporabo informacij pozicioniranja, navigacije in prenosa časa (angl. positioning, navigation and timing – PNT) v pomorstvu, ki vključuje:
 - GNSS (Global Navigation Satellite Systems)
 - DGNSS (s popravki, ki omogočajo natančnost do 10 cm)
 - radiodifuzijo (televizijskih in radijskih programov) enofrekvenčno omrežje
 - eLORAN (Enhanced Loran) – (LOng RAnge Navigation)



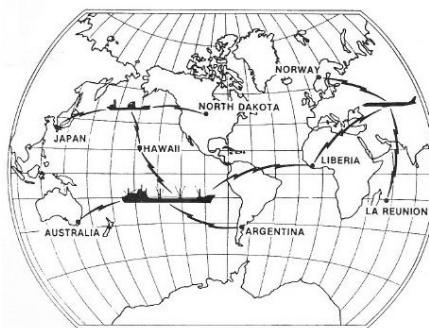
Lázaro, F., Raulefs, R., Wang, W. et al. VHF Data Exchange System (VDES): an enabling technology for maritime communications. *CEAS Space J* 11, 55–63 (2019). <https://doi.org/10.1007/s12567-018-0214-8>



<https://www.gpsworld.com/south-korea-partners-with-broadcaster-on-eloran-and-10-cm-gps>

Omega – prvi globalni hiperbolični sistem (1968)

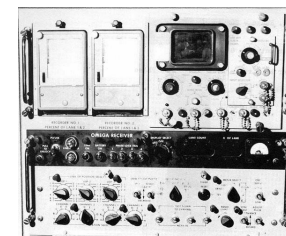
- 8 svetilnikov
- sinhronizirane cezijeve ure
- Nizke frekvence (~10 kHz) so omogočale ugotavljanje položaja 15 m pod morsko gladino.
- merjenje faz
- večličnost faz so obvladali s tremi frekvencami
- natančnost 2200 m



svetilniki sistema Omega



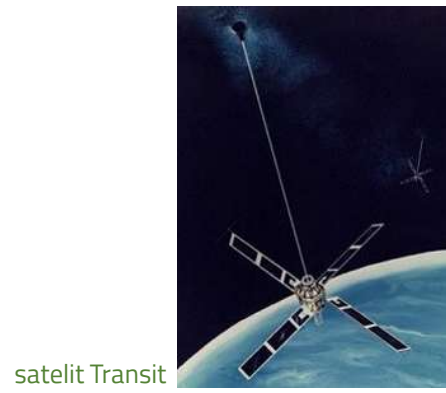
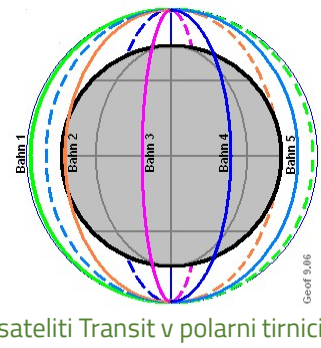
antena svetilnika na Norveškem



sprejemnik sistema Omega

Prvi navigacijski satelitski sistemi

- Začetki Transit (1964) in Cikada (1969)
- Satelitski svetilniki omogočajo 3D določanje položaja
- Znana lega (trajektorija) satelita
- Položaj se izračuna iz merjenja Dopplerjeve frekvence na radijskem signalu
- Čakati na ugodno lego satelita do dve uri
- Meritev nekaj minut, da je bilo izmerjenih dovolj podatkov za določitev položaja.
- Za globalno pokrivanje je bilo 5 satelitov v polarni tirnici



Dopplerjev premik pri sistemu Transit

- Uporabnik skuša določiti svoj položaj z meritvijo Dopplerjevega pojava na nosilcu z nazivno frekvenco $f=400$ MHz, ki ga oddaja satelit sistema TRANSIT v krožnici na višini $h=1000$ km nad zemeljsko površino s hitrostjo $v=7350$ m/s. Določite največji Dopplerjev pomik $\Delta f=?$ (razlika med frekvenco na začetku in ob koncu sprejema) za najugodnejši prelet (nad glavo uporabnika), če vrtenje Zemlje zanemarimo! ($R_Z=6378$ km)

$$\Delta f = f_{\text{približevanje}} - f_{\text{oddaljevanje}} = \frac{f_0}{1 - \frac{v}{c}} - \frac{f_0}{1 + \frac{v}{c}} = f_0 \frac{\frac{1 + \frac{v}{c}}{1 - \frac{v}{c}} - 1}{\left(1 - \frac{v}{c}\right)\left(1 + \frac{v}{c}\right)} = f_0 \frac{2 \frac{v}{c}}{1 - \left(\frac{v}{c}\right)^2}$$

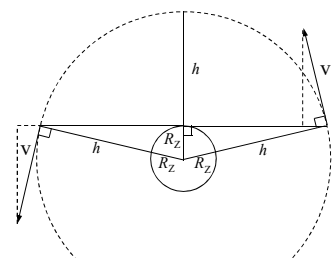
podobni trikotniki

$$v' = v \cdot \frac{R_Z}{R_Z + h} = 7350 \text{ m/s} \cdot \frac{6378 \text{ km}}{6378 \text{ km} + 1000 \text{ km}} = 6353,8 \text{ m/s}$$

ali kotne funkcije

$$v' = v \cdot \cos \alpha = v \cdot \frac{R_Z}{R_Z + h}$$

Dopplerjev pomik frekvence $\Delta f = f \cdot \frac{2v'}{c_0} = 400 \cdot 10^6 \text{ Hz} \cdot \frac{2 \cdot 6353,8 \text{ m/s}}{3 \cdot 10^8 \text{ m/s}} = 16,94 \text{ kHz}$



Radijska postaja za prikaz položaja v sili

- EPIRB (angl. emergency position-indicating radio beacon)
- Deluje ravno obratno kot satelitski navigacijski sistem Transit
- Boja z oddajnikom je svetilnik
- Sateliti iz svoje lege in Dopplerjevega pomika frekvence izračunajo položaj boje
- Sistem Cospas-Sarsat je v od leta 1985 rešil več kot 26.000 življenj.



<https://www.cospas-sarsat.int/en/system-overview/cospas-sarsat-system>



Rešilna ura

- Ura je opremljena z dvofrekvenčnim oddajnikom:
 - $\geq 3,2 \text{ W}$ @ 406,040 MHz oddaja 0,44 s vsake 50 s
 - $\geq 30 \text{ mW}$ @ 121,5 MHz oddaja 0,75 s vsake 2,25 s
- Antena je skrita v notranjosti ure. Ko lastnik odvije gumb se antena pojavi in se antena izboči in začne samodejno oddajati alarmni signal.



<https://www.breitling.com/us-en/emergency/operation/>



Galileo za iskanje in reševanje (angl. Search and Rescue – SAR)

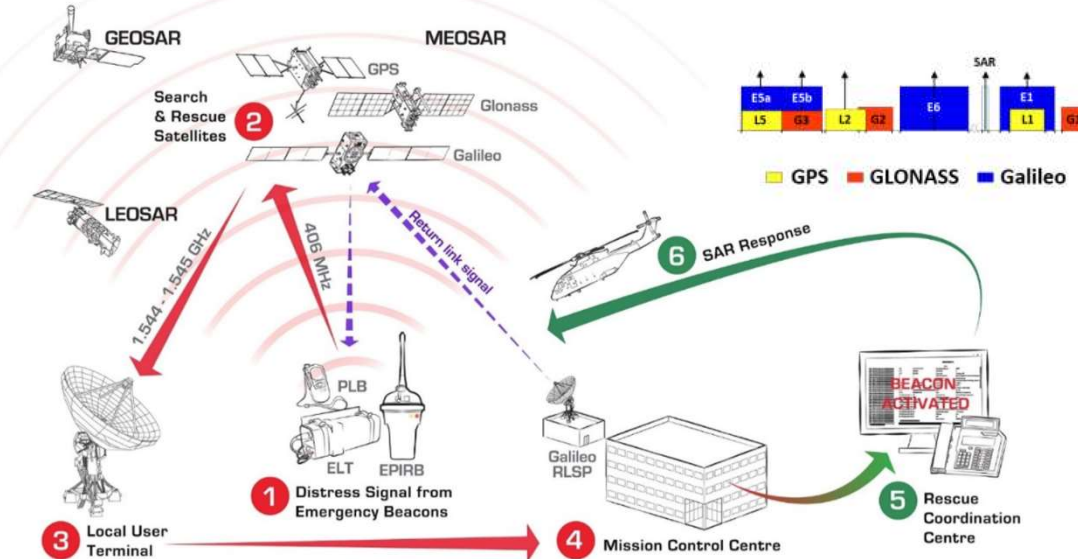
LSC

Laboratorij za
sevanje in optiko

57 / 77

bostjan.batagelj@fe.uni-lj.si

<https://www.gsa.europa.eu/european-gnss/galileo/services/search-and-rescue-sar-galileo-service>



<https://www.gsc-europa.eu/sites/default/files/sites/all/files/Galileo-SAR-SDD.pdf>

Apple iPhone 14 ain iPhone 14 Pro

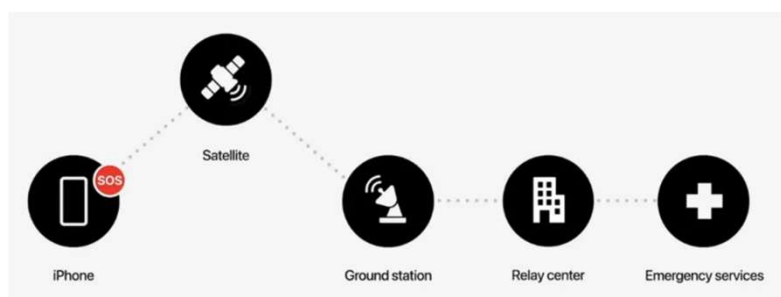
LSC

Laboratorij za
sevanje in optiko

58 / 77

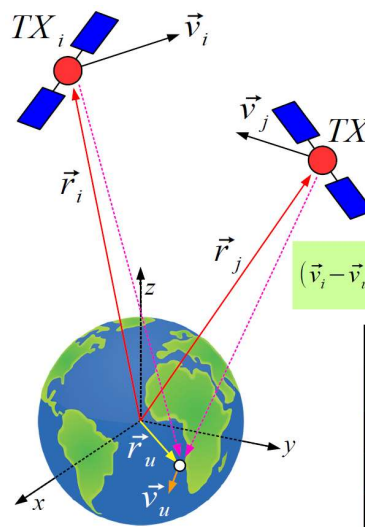
bostjan.batagelj@fe.uni-lj.si

- "Emergency SOS by satellite"
- Za storitev je Apple investiral 450 milijonov USD v infrastrukturo
- Apple sodeluje z Globalstarjem, ki ima v vesolju konstelacijo 48 satelitov v nizki tirnici.
- Čeprav Globalstar pokriva večino svetovnega prebivalstva, je storitev zaenkrat omogočena samo v ZDA in Kanadi.
- Storitev ne deluje v zaprtih prostorih.



Vir: Martin Vošnjak, "Satelitske mobilne storitve z neposredno povezljivostjo" diplomsko delo, 2023. <https://repozitorij.uni-lj.si/IzpisGradiva.php?id=151241>

Satelitska radionavigacija (atomske ure na satelitih)



Zakasnitev modulacije:

$$|\vec{r}_i - \vec{r}_u| - |\vec{r}_j - \vec{r}_u| = c_0 \Delta t_{ij}$$

Neznanke: $\vec{r}_u, \vec{v}_u, t_u, f_u$

Potreben nabor enačb?

Doppler nosilca:

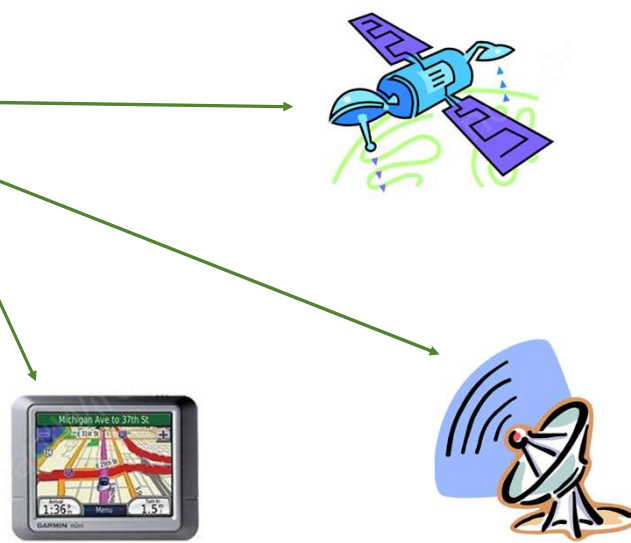
$$(\vec{v}_i - \vec{v}_u) \cdot \frac{(\vec{r}_i - \vec{r}_u)}{|\vec{r}_i - \vec{r}_u|} - (\vec{v}_j - \vec{v}_u) \cdot \frac{(\vec{r}_j - \vec{r}_u)}{|\vec{r}_j - \vec{r}_u|} = \frac{c_0}{f_0} \Delta f_{ij}$$

Sistem	Tirnica	Frekvence
Transit	1100km/90°	399.968MHz 149.988MHz
Cikada	970km/83°	~400MHz ~150MHz
GPS	20200km/55°	1575.42MHz 1227.6MHz
GLONASS	19100km/65°	~1600MHz ~1250MHz
BeiDou	21500km/55°	1561.098MHz 1207.140MHz

Tsikada

Elementi satelitskega navigacijskega sistema

- vesoljski segment
- kontrolni segment
- uporabniški segment



Uporaba atomske ure na satelitu

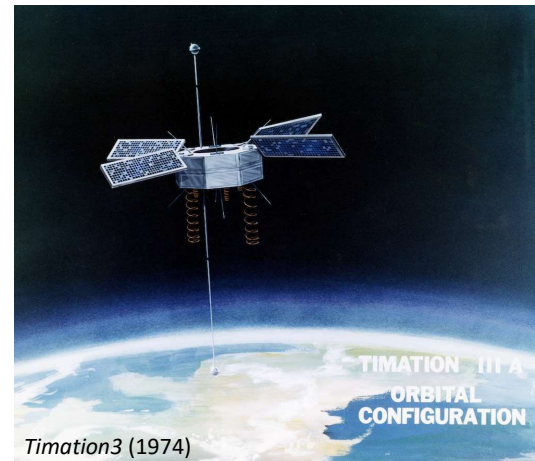


vir: „Hitrejši od svetlobe“, Science illustrated, št. 51, februar 2014

- Ameriški znanstveniki so z atomsko uro leteli okrog Zemlje in izmerili odstopanje od ure, ki je ostala na tleh.
- GPS ne bi deloval, če ne bi upoštevali relativnostne teorije, ki jo je predlagal Einstein.
- Ure na satelitu so nekoliko počasnejše kot ure na Zemlji, ker potujejo z večjo hitrostjo.
- Na satelite pa manj vpliva tudi težnostno polje Zemlje, zato čas teče hitreje.
- Skupni učinek povzroča, da ura na satelitu GPS vsak dan prehiteva za 38 ms.
- Sistem GPS kompenzira drobne razlike v času s čimer je njegovo delovanje bolj natančno.

Satelit Timation3 predhodnik GPS

- Frekvence: 335 MHz, 1580 MHz
- dve Rb atomski uri omogočata časovno navigacijo
- visoka krožnica $h \approx 13800$ km
- nagib $i \approx 125^\circ$ (retrogradna tirnica)
- Nizka relativna hitrost do uporabnika !
- Dopplerjev pomik neuporaben za določitev položaja.
- Zahteva ozvezdje 4 ali več satelitov.
- Dopplerjev pomik uporaben za hitrost.



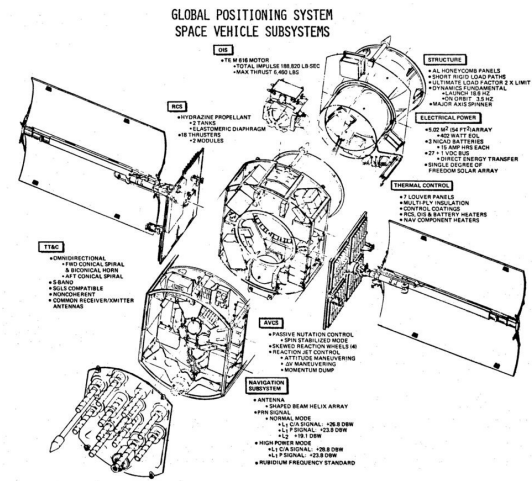
Timation3 (1974)

GPS sateliti block I 1977–1989

Frekvence:

- L2=1227,6 MHz
- L1=1575,42 MHz

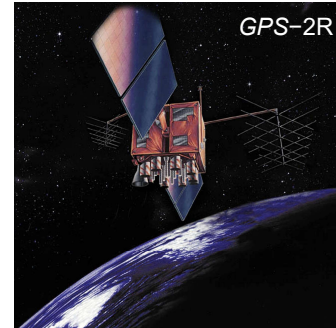
- Rb ali Cs atomske uri omogočata časovno navigacijo
- visoka krožnica $h \approx 20200$ km
- nagib $i \approx 63^\circ$
- načrtovane 3 ravnine po 8 satelitov
- nesrečno izbrana perioda 11h58'
- v resonanci z vrtenjem Zemlje, kar ima za posledico gorivo za vzdrževanje ozvezdja ali sporočanje popravkov



GPS sateliti block II in nasledniki 1989–

Frekvence:

- L2=1227,6 MHz
- L1=1575,42 MHz



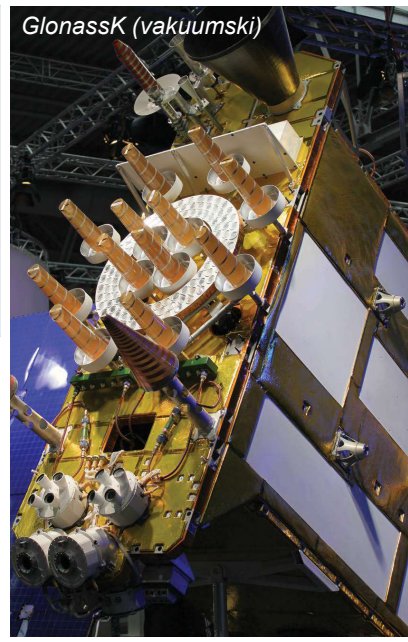
- Rb ali Cs atomske uri omogočata časovno navigacijo.
- visoka krožnica $h \approx 20400$ km
- nagib $i \approx 55^\circ$
- načrtovanih 6 ravnin po 4 satelite
- perioda 12h v izogib resonancam z vrtenjem Zemlje.

Sateliti Glonass 1982– in nasledniki 2003–



Frekvence:

- L2=1246 MHz+n·0,4375 MHz
- L1=1602 MHz+n·0,5625 MHz
- n=-7...+24=kanali FDMA
- +nove storitve CDMA
- visoka krožnica $h \approx 19100$ km
- nagib $i \approx 64,8^\circ$
- načrtovane 3 ravnine po 8 satelitov
- perioda 8/17 vrtenja Zemlje 23h56 '
- resonance ohranjajo ozvezdje

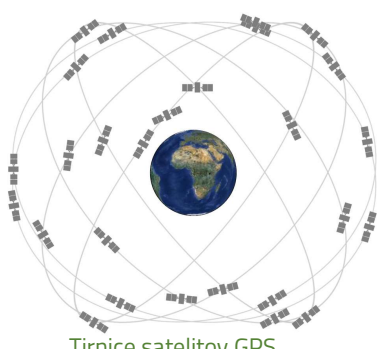


Satelitski sistemi

- NAVSTAR-GPS (Navigation System with Time and Ranging, Global Positioning System)
- Hiperbolični sistem (4 svetilniki, presečišče treh rotacijskih elipsoidov)

Običajno se razlaga malo drugače:

- Iz nesinhronizirane sprejemnikove ure izračunamo psevdorazdalje do štirih satelitov
- krogle se ne sekajo v isti točki
- zato korigiramo našo uro, dokler se vse krogle ne sekajo v isti točki
- dobili smo pravilen položaj in še natančno sinhronizirano uro (trije sateliti za položaj, četrti za uro)



Tirnice satelitov GPS

GPS uveden 1983

- 24 satelitov, 12 ur obhodna doba,
- 6 ravnin
- Sinhronizirane cezijeve ure
- Zemeljski nadzorni sistem



Satelit sistema GPS

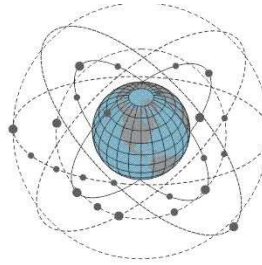
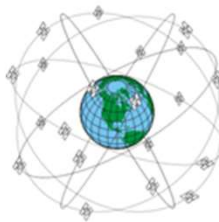
GLONASS uveden 1986

- 24 satelitov, ≈12 ur obhodna doba,
- 3 ravnine
- Sinhronizirane cezijeve ure
- Zemeljske postaje

Vesoljski segment GNSS

Global Navigation Satellite Systems (GNSS)

- Druge države, zaradi prevelike odvisnosti od uporabe ameriškega GPS in nezaupanja ameriški vojski, da signala ne bo izklopila ali na neki lokaciji motila, začnejo razvijati svoje navigacijske sisteme.



GPS

- 6 Orbital planes
- 24 Satellites + Spare
- 55° Inclination Angle
- Altitude 20,200km

Galileo

- 3 Orbital planes
- 27 Satellites + 3 Spares
- 56° Inclination Angle
- Altitude 23,616km

GLONASS

- 3 Orbital planes
- 21 Satellites + 3 Spares
- 64.8° Inclination Angle
- Altitude 19,100km

BeiDou

- 6 Orbital planes
- 5 GEO + 27 MEO + 3 IGSO
- 55° Inclination Angle
- Altitude 38,300 km, 21,500 km

- V osnovni so sistemi podobni, razlikujejo se v številu satelitov, višinah oziroma obhodnih časih, frekvenci signalov in modulaciji.

Vir: <https://www.e-education.psu.edu/geog862/node/1871>

Globalni navigacijski satelitski sistemi:

- GPS – ZDA**
<https://www.gps.gov/technical/icwg/>
- GLONASS – Rusija**
<http://russianspacesystems.ru/bussines/navigation/glonass/interfeysnyykontrolnyy-dokument/>
- Galileo – Evropska unija**
<https://www.gsc-europa.eu/electronic-library/programme-reference-documents>
- BeiDou (Compass) – Kitajska**
<http://en.beidou.gov.cn/SYSTEMS/ICD/>

Vir: <https://www.fig.net/resources/publications/figpub/pub74/Figpub74.pdf>

Regionalni navigacijski satelitski sistemi:

- Quasi-Zenith Satellite System (QZSS) – Japonska**
<http://qzss.go.jp/en/technical/ps-is-qzss/ps-is-qzss.html>
- Indian Regional Navigation Satellite System (IRNSS) (NavIC) – Indija**
<https://www.isro.gov.in/irnss-programme>

	GPS	Galileo	GLONASS	Beidou	NavIC	QZSS
država	ZDA	EU	Rusija	Kitajska	Indija	Japonska
pokritost	globalna	globalna	globalna	globalna	regionalna (Jugovzhodna Azija)	regionalna (Japonska)
stanje	Deluje od leta 1993.	Deluje od leta 2018.	Deluje od 2011.	Deluje od 2018.	Deluje od 2016.	Deluje od 2018.
satelitov v orbiti	31+9	22+2	22+6	43+5	7	4
natančnost	5 m	1 m	5-7 m	10 m	1 m	1 m
perioda (siderskih dni)	1/2	10/17	8/17	9/17	1	1
višina satelitov	20.180 km	23.222 km	19.130 km	21.150 km	36.000 km	36.000 km

Število GNSS satelitov

	GPS	GLONASS	Galileo	BeiDou	NavIC	QZSS	Total
skupno število vseh satelitov v tirnicah	32	25	28	49	8	4	146
skupno število delujočih satelitov	31	24	23	44	7	4	133

Vir: <https://safran-navigation-timing.com/gnss-spectrum-status>

Prve uporabniške naprave za GPS



GPS sprejemnik iz letalonosilki USS Midway, ki je leta 1991 sodelovala v napadu na Irak (Sadam Husein) in osvoboditvi Kuvajta v operaciji "Puščavski vihar".

The R-2363/SRN-25 (V) Receiver, Radio Navigation was manufactured for Naval Sea Systems Command by contractor Magnavox in Torrance, California under contract N00024-87-C-4261.

GNSS v telefonih



- Leta 1999, ko je bila ukinitev motenja signala napovedana, je Benefon izdal telefon Esc!, ki velja za prvi telefon z vgrajenim sprejemnikom GPS.
 - Leta 2004 je bilo le dobrih deset modelov z vgrajenim sprejemnikom GPS.
 - Leta 2004 podjetje Qualcomm razvije "assisted GPS".
 - Leta 2006 Nokia predstavo svoj prvi telefon z GPS (Nokia N95).
 - Leta 2007 Samsung predstavi svoj prvi telefon z GPS (Samsung i550).
 - Leta 2008 Apple uvede GPS v svoje iPhone 3G.
 - Leta 2011 iPhone 4S je poleg GPS podpiral tudi GLONASS.
- Danes večina pametnih telefonov podpira več GNSS.
 - Danes nekateri pametni telefoni podpirajo tudi vse GNSS.

Vir: <https://www.monitor.si/clanek/gps-in-njegovi-mlajsi-bratje/198629/>

Galilejo v mobilnih napravah



- Po predlogu Evropske komisije morajo vsi mobilni telefoni, ki bodo vsebovali GNSS, biti od marca 2022 opremljeni tudi s sistemom Galilejo.

<https://ec.europa.eu/docsroom/documents/40141?locale=sl>

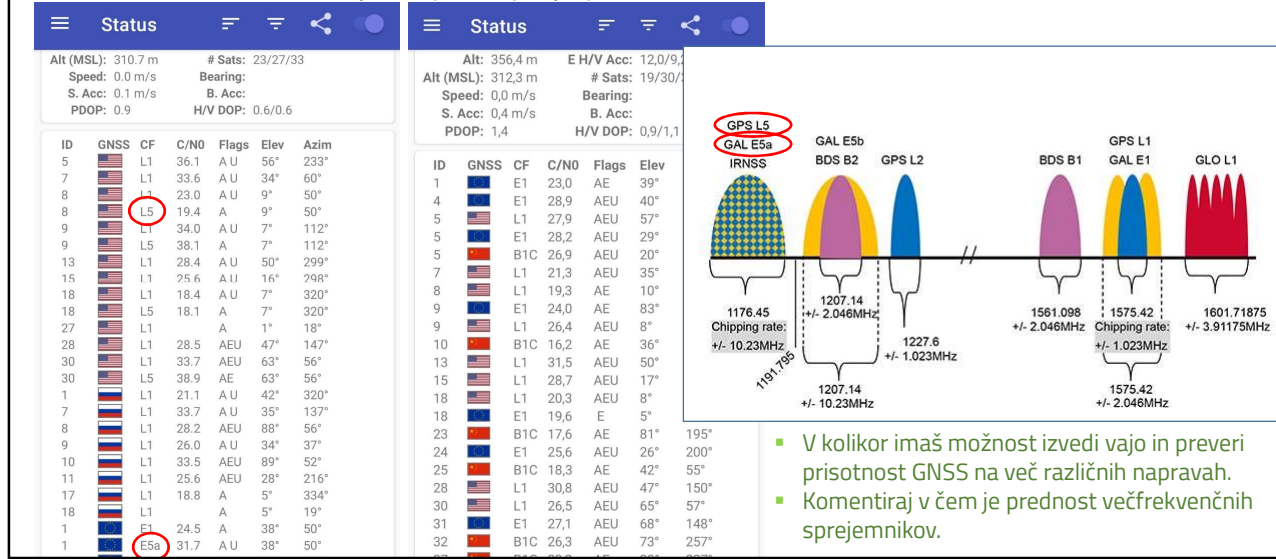
- Preveri katere sisteme podpira tvoj telefon.

In Delegated Regulation (EU) 2019/320, the Commission has specified that the essential requirements set out in Article 3(3)(g) of Directive 2014/53/EU (RED) are to apply to **hand-held mobile telephones with features similar to those of a computer in terms of capability to treat and store data ('smartphones')**. It is also specified that compliance with those requirements is to be ensured through technical solutions for the reception and processing of Wi-Fi data, data from Global Navigation Satellite Systems compatible and interoperable with at least the Galileo system referred to in Regulation (EU) No 1285/2013 of the European Parliament and of the Council, and for the making available of that data for transmission in emergency communications. Delegated Regulation (EU) 2019/320 is to apply from 17 March 2022.

Vaja: GNSS v telefonih



- Na pameten telefon naložimo aplikacijo GPSTest (ali podobno) in prevrimo:
 - katere satelitske navigacijske sisteme podpira telefon,
 - na katerih frekvenčnih področjih deluje sprejemnik v telefonu.



- V kolikor imaš možnost izvedi vajo in preveri prisotnost GNSS na več različnih napravah.
- Komentiraj v čem je prednost večfrekvenčnih sprejemnikov.

The table compares GNSS signals broadcast (with their center frequency) and services provided by various systems:

	Signals Broadcast (with their center frequency)		Services Provided	
GPS	At $f_c = 1575.42$ MHz, GPS L1 C/A, L1 P and L1C At $f_c = 1227.6$ MHz, GPS L2 C and L2 P At $f_c = 1176.45$ MHz, GPS L5		Standard Positioning Service (SPS)	Precise Positioning Service (PPS)
GLONASS	L1 C/A from 1598.0425 to 1609.3125 MHz L2 C from 1242.9375 to 1251.6875 MHz L2 P from 1242.9375 to 1251.6875 MHz L3 OC $f_c = 1202.025$ MHz		Standard Precision Service (SP) High Precision Service (HPI)	Military Signal Access to India
Galileo	E1 at $f_c = 1575.42$ MHz E5a at $f_c = 1176.45$ MHz E5b at $f_c = 1207.14$ MHz E5 AltBOC at $f_c = 1191.795$ MHz E6 at $f_c = 1278.75$ MHz		<ul style="list-style-type: none"> Open Service (OS) Public Regulated Service (PRS) High Accuracy Service (HAS) Commercial Authentication Service (CAS) Search and Rescue Service (SAR) 	
BeiDou	B1I at $f_c = 1561.098$ MHz B2I at $f_c = 1207.14$ MHz B3I at $f_c = 1268.52$ MHz B1C at $f_c = 1575.42$ MHz B2a at $f_c = 1176.45$ MHz B2b at $f_c = 1207.14$ MHz		Global Service: Open Service Regional Services: <ul style="list-style-type: none"> Wide area differential services Short message service 	Global Service: Authorized Service
NavIC	L5 at $f_c = 1176.45$ MHz		<ul style="list-style-type: none"> Special Positioning Service (SPS) Precision Service (PS) 	
QZSS	At $f_c = 1575.42$ MHz, L1 C/A, L1 C and L1S At $f_c = 1227.6$ MHz, L2C At $f_c = 1176.45$ MHz, L5 At $f_c = 1278.75$ MHz, L6		<ul style="list-style-type: none"> PNT (Positioning, Navigation and Timing) service SLAS (Sub-meter Level Augmentation) service CLAS (Centimeter Level Augmentation) service 	

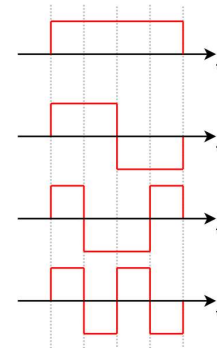
<https://safran-navigation-timing.com/gnss-spectrum-status/>

Kodni multipleks

- Code division multiplexing (CDM)

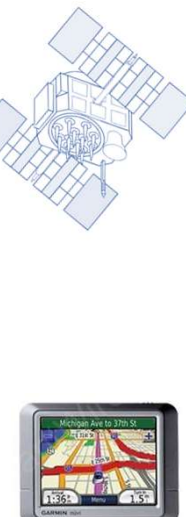
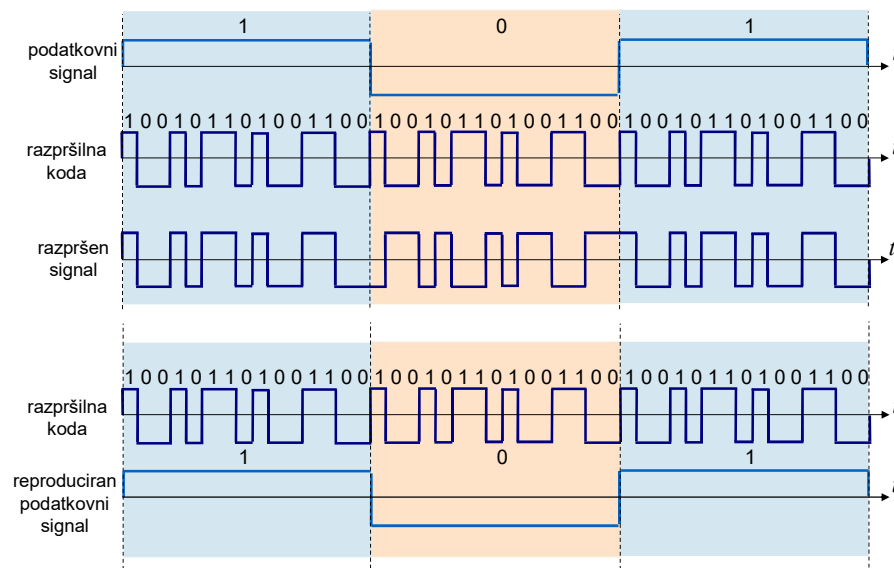
V primeru kodnega multipleksa:

- več oddajnikov lahko pošilja informacije istočasno preko istega komunikacijskega kanala
- več uporabnikov si istočasno deli isti frekvenčni spekter
- med uporabniki ne prihaja do motenj ali interference
- vsakemu uporabniku je dodeljena lastna razpršilna koda.
- Razširjen spekter (angl. spread spectrum)
- Kode morajo biti med sabo čim bolj ortogonalne.
 - Če razpršilne kode niso popolnoma ortogonalne, se motnje obnašajo kot šum in jih sprejemnik ne more nikoli popolnoma izločiti.



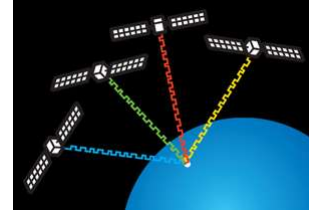
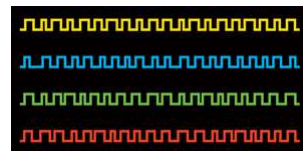
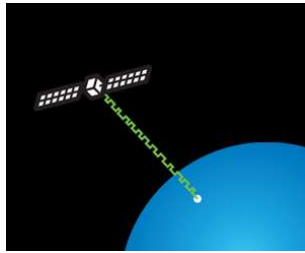
- Sistem z razširjenim spektrom ima dobro razmerje S/N, ker ima na izhodu ozko sito.
- Sistem z razširjenim spektrom je odporen na presih polja zaradi večpotja. Če v sistemu z razširjenim spektrom izberemo dovolj veliko pasovno širino razpršilnega zaporedja, lahko sprejemnik med sabo loči posamezne radijske poti neposrednega in odbitih valov.

Primer množenja z razpršilno kodo



Preverjanje pristnosti (avtentikacija)

- Za namene avtentikacije je vsakemu satelitu dodeljena lastna razpršilna koda.



- V primeru prevare, ko nepridiprav uporablja izmišljeno kodo, njegovega signala sodobni sprejemniki ne upoštevajo pri izračunu položaja.

Vir: Mark L. Psiaki in Todd E. Humphreys, „Protecting GPS From Spoofers Is Critical to the Future of Navigation”, IEEE Spectrum, julij 2016,
<https://spectrum.ieee.org/telecom/security/protecting-gps-from-spoofers-is-critical-to-the-future-of-navigation>

vir: Wesson, K., M. Rothlisberger, and T. E. Humphreys, „Practical cryptographic civil GPS signal authentication.” NAVIGATION, Journal of the Institute of Navigation, Vol 59, Num 3, 2012, pp 177-193

 **FE** UNIVERZA V LJUBLJANI
Fakulteta za elektrotehniko  Katedra za informacijske in komunikacijske tehnologije  Laboratorij za sevanje in optiko

Strokovno usposabljanje: PROGRAM vseživljenjskega učenja z MIKRODOKAZILI

Pozicioniranje, navigacija in prenos časa v digitalni družbi

prof. dr. Boštjan Batagelj



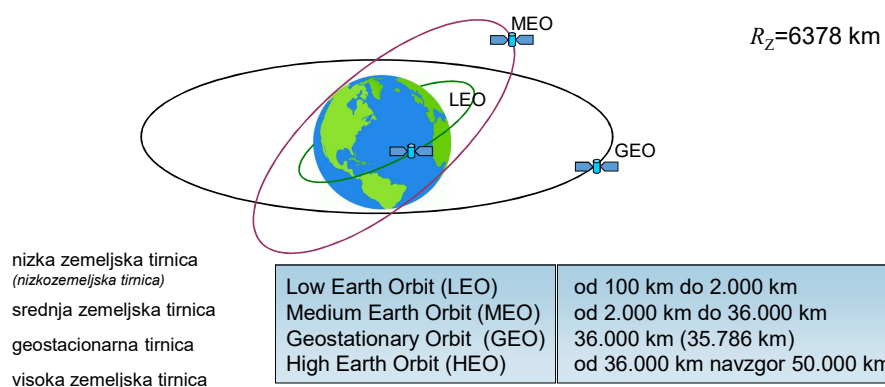
<https://lso.fe.uni-lj.si/GNSS/content.php>

10. junij 2025, 8:15 – 10:00

Vsebina

- Zgodovina radio-navigacije in radio lokacije
- Kotna radio-navigacija – triangulacija
- Radionavigacija $\rho-\rho$ in $\rho-\theta$
 - Zemeljska radionavigacija: pomorska (LORAN), zrakoplovna (VOR, DME), določanje položaja preko sistemov mobilne telefonije.
- Hiperbolična radio-navigacija
 - Satelitska radionavigacija
 - Dopplerjevi sistemi Transit in Cikada
 - 3-D sistemi GPS, GLONASS in GALILEO
- Lociranje satelita na tirnici iz Zemlje
- Motnje tirnic umetnih satelitov
- Izvori napak pri GNSS
- Izboljšave satelitskega hiperboličnega radio-navigacijskega sistema
- Bodočnost navigacijskega sistema
 - GNSS v nizki zemeljski tirnici
 - Navigacija v vesolju
 - Kooperativni navigacijski sistemi
 - inercialna navigacija

Višina tirnice



Nad 50.000 km:

- vpliv težnosti drugih nebesnih teles ni več zanemarljiv (Luna, Sonce)
- zakasnitve signala so velike

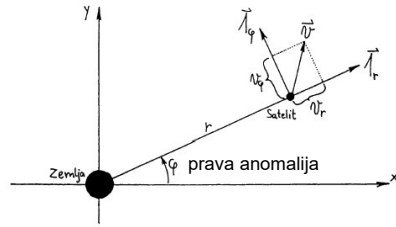
Zemlja in umetni satelit

Fizikalna izhodišča:

- Vektor vrtilne količine se ohranja
- Energija se ohranja

$$\vec{l} = \vec{r} \times \vec{v} \cdot m = konst.$$

$$W = W_{kin.} + W_{pot.} = \frac{1}{2} |\vec{v}|^2 m + \left(-\frac{\mu}{|\vec{r}|} m \right) = konst.$$



- Os z je postavljena v smeri vrtilne količine.
- Os x je postavljen tako, da dobimo samo $\cos \phi$ komponente.

- Potencialna energija ima vedno negativni predznak in v neskončnosti znaša nič. Negativna potencialna energija nam opisuje primanjkljaj energije, ki manjka satelitu, da ubeži težnostnemu polju Zemlje.

Enačba gibanja satelita

- Rešitev za gibanje satelita je prvi zapisal Johannes Kepler pred več kot 400 leti.
- Pot do rešitve pa je prvi prikazal Isaac Newton pred več kot 300 leti.

$$\frac{d \vec{v}}{dt} = \frac{d^2 \vec{r}}{dt^2}$$

$$\vec{a} = \frac{\vec{F}}{m}$$

$$G \cdot \frac{M \cdot m}{r^2} = \frac{\mu \cdot m}{r^2}$$

- Diferencialna enačba 2. reda v 3D $\frac{d^2 \vec{r}}{dt^2} = -\vec{l}_r \cdot \frac{\mu}{|\vec{r}|^2}$
- Zapišemo jo v polarnih koordinatah. $\vec{l}_r \cdot \left(\frac{d^2 r}{dt^2} - r \cdot \left(\frac{d\varphi}{dt} \right)^2 \right) + \vec{l}_\varphi \cdot \left(r \cdot \frac{d^2 \varphi}{dt^2} + 2 \cdot \frac{dr}{dt} \cdot \frac{d\varphi}{dt} \right) = -\vec{l}_r \cdot \frac{\mu}{r^2}$
- Rešitev poiščemo z reševanjem dveh 2D diferencialnih enačb.

$$\vec{l}_r \text{ komponenta} \quad \frac{d^2 r}{dt^2} - r \cdot \left(\frac{d\varphi}{dt} \right)^2 = -\frac{\mu}{r^2}$$

$$\vec{l}_\varphi \text{ komponenta} \quad r \cdot \frac{d^2 \varphi}{dt^2} + 2 \cdot \frac{dr}{dt} \cdot \frac{d\varphi}{dt} = 0$$

2. Keplerjev zakon

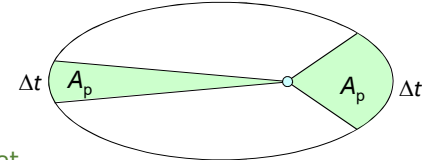
- Poščimo rešitev enačbe za φ komponento. $r \cdot \frac{d^2\varphi}{dt^2} + 2 \cdot \frac{dr}{dt} \cdot \frac{d\varphi}{dt} = 0$
- Enačbo lahko enostavno prevedemo na popolni odvod preprostejše funkcije. $\frac{1}{r} \cdot \frac{d}{dt} \left(r^2 \cdot \frac{d\varphi}{dt} \right) = 0$
- Ker je odvod enak nič, mora biti funkcija pod odvodom konstanta. $r^2 \cdot \frac{d\varphi}{dt} = \text{konst.}$
- Iskana konstanta je kar velikost vektorja vrtilne količine na enoto mase satelita.

$$r^2 \cdot \frac{d\varphi}{dt} = r \cdot r \cdot \frac{d\varphi}{dt} = r \cdot v_\varphi = |\vec{r} \times \vec{v}| = \frac{|\vec{l}|}{m}$$

Drugi Keplerjev zakon $r \cdot v_\varphi = \frac{l}{m}$

- Zveznica med satelitom in Zemljo v enakem času orije enako površino.

$$A_p = \int_0^{\Delta t} \frac{1}{2} \cdot r \cdot v_\varphi dt = \frac{1}{2} \cdot \left(\frac{l}{m} \right) \cdot \Delta t$$

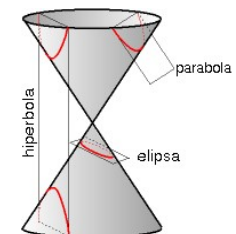


- Satelit se hitreje giblje bliže Zemlje in v istem času Δt opiše daljšo pot.

Enačba stožnice kot rešitev tirnice satelita

- Obliko tirnice poiščemo z reševanjem diferencialne enačbe za \vec{r} komponento $\frac{d^2r}{dt^2} - r \cdot \left(\frac{d\varphi}{dt} \right)^2 = -\frac{\mu}{r^2}$
- Ko v diferencialni enačbi izločimo vse časovne odvode, dobimo rešitev za tirnico satelita enačbo stožnice.

$$r = \frac{1}{A \cdot \cos \varphi + \frac{\mu \cdot m^2}{\ell^2}} = \frac{p}{1 + e \cdot \cos \varphi} \quad p = \frac{\ell^2}{\mu \cdot m^2} \quad e = \frac{\ell^2}{\mu \cdot m^2} \cdot A$$



Stožnice

$$r = \frac{p}{1 + e \cdot \cos \varphi} \quad p = \frac{\ell^2}{\mu \cdot m^2} \quad e = \sqrt{1 + \frac{2 \cdot W \cdot \ell^2}{\mu^2 \cdot m^3}}$$

I.S.O. Laboratorij za sevanje in optiko bostjan.batagelj@fe.uni-lj.si 7 / 70

- Primeri stožnic, ko je energija satelita večja ali enaka nič.

Lastnosti eliptične tirnice

φ – prava anomalija
 a – velika polos elipse

$$a = \frac{r_a + r_p}{2} = \frac{p}{1 - e^2} = -\frac{\mu \cdot m}{2 \cdot W}$$

f – goriščna razdalja $f = a - r_p = ae$

b – mala polos elipse $b = \sqrt{a^2 - f^2} = a\sqrt{1 - e^2}$

T – perioda tirnice $T = 2\pi \cdot \sqrt{\frac{a^3}{\mu}}$

E – ekscentrična anomalija v Keplerjevi enačbi $E - e \sin E = \sqrt{\frac{\mu}{a^3}} \cdot (t - t_p)$

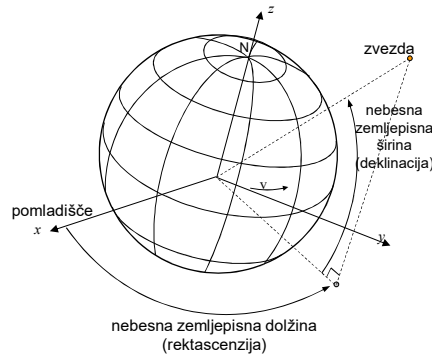
I.S.O. Laboratorij za sevanje in optiko bostjan.batagelj@fe.uni-lj.si 8 / 70

$$r = \frac{p}{1 + e \cdot \cos \varphi} \quad p = \frac{\ell^2}{\mu \cdot m^2}$$

$$r_p = \frac{p}{1 + e} \quad e = \sqrt{1 + \frac{2 \cdot W \cdot \ell^2}{\mu^2 \cdot m^3}}$$

$$r_a = \frac{p}{1 - e}$$

Vrteči koordinatni sistem ($T_Z=23 \text{ ur } 56 \text{ min}$)



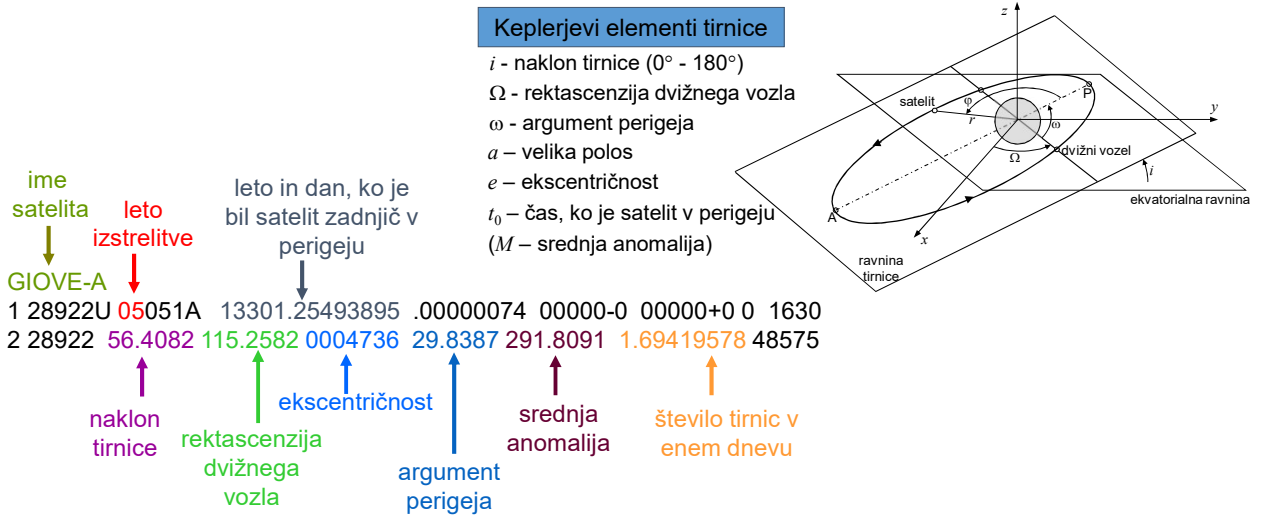
eqliptični koordinatni sistem

V točki imenovani **pomladišče** se nahaja Sonce ob spomladanskem enakonočju (21. marec).

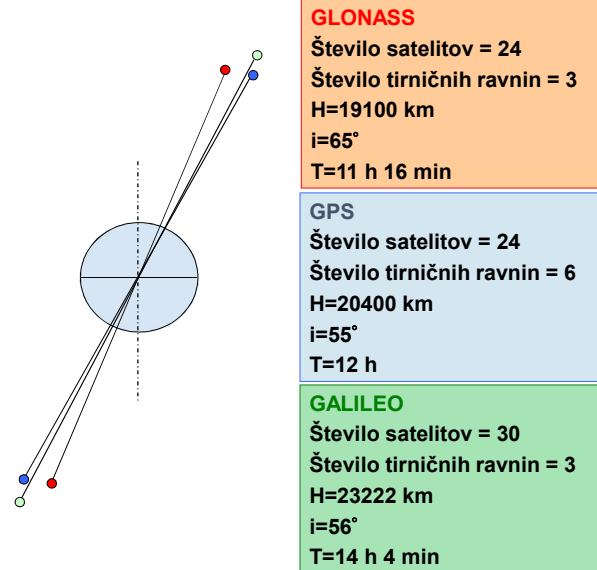
Umetni satelit se hitro premika po nebu, zato opis z rektascenzijo in deklinacijo ni primeren!

Two-Line Element dataset (TLE)

- Najpogostejsi zapis tirkice satelita dobimo v formatu TLE, ki je tudi redno osvezen in v bazi podatkov vsebuje največ živečih satelitov. www.celestek.com/NORAD/elements/
- Namesto velike polosi elipse se zapisuje obhodni čas satelita (mean motion) [obhod/dan].
- Za podaljšanje življenske dobe TLE zapisa se v zapis doda nekaj parametrov (to sta prvi in drugi odvod frekvence tirkice)



Satelitska navigacija – vesoljski segment



GLONASS je dobil prvi satelit leta 1982 in konstelacijo popolnil do 1995. Od leta 2011 sistem 24 satelitov pokriva ves svet.

http://russianspacesystems.ru/bussines/navigation/glonass/interfeys_nykontrolnyy-dokument/

V vsaki ravnini so 4 sateliti.
Ravnine so zamaknjene za 60°.

Interface Control Documents

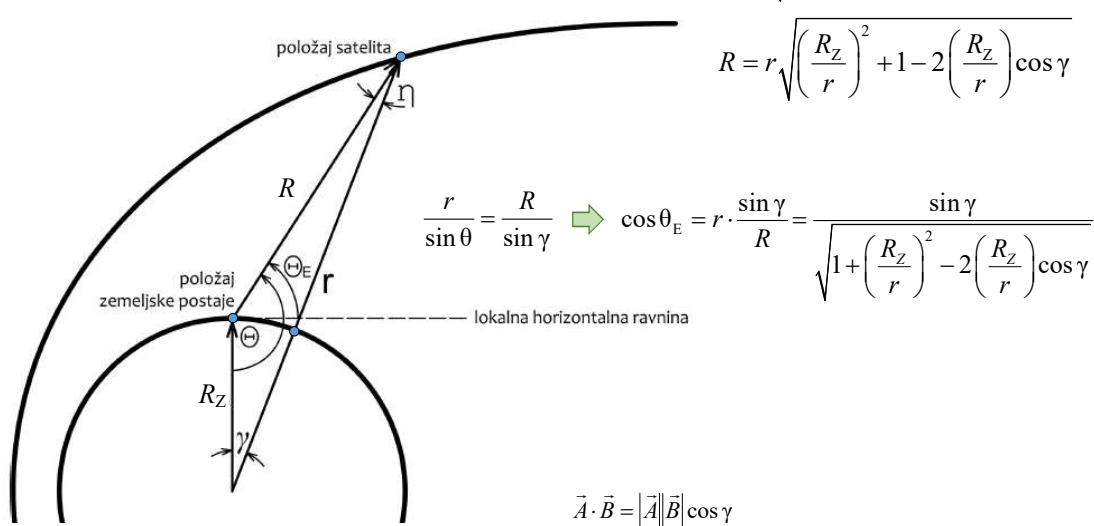
<http://www.gps.gov/technical/icwg/>

Galileo je civilni sistem, ki ga financirajo države EU. Projekt se je začel leta 2002 in šele leta 2016 začel delovati.

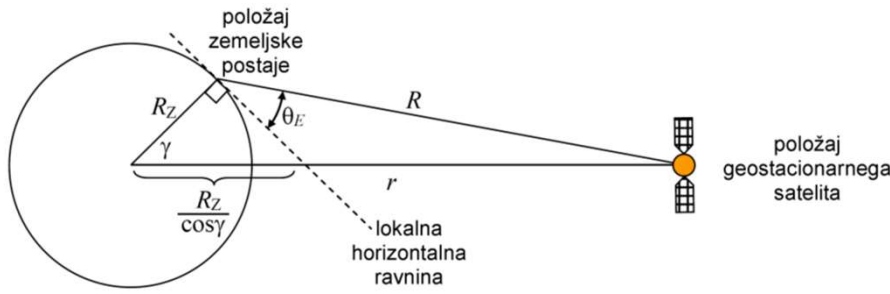
Galileo Open Service Signal-in-Space Interface Control

http://ec.europa.eu/growth/sectors/space/galileo/os-sis-icd/index_en.htm

Geometrija za izračun elevacijskega kota



Geometrija za izračun vidljivosti satelita



$$\cos \gamma = \cos \varphi_z \cos \varphi_s \cos(\lambda_s - \lambda_z) + \sin \varphi_z \sin \varphi_s$$

$$\varphi_s = 0 \quad \Rightarrow \quad \cos \gamma = \cos \varphi_z \cos(\lambda_s - \lambda_z)$$

$$r \geq \frac{R_Z}{\cos \gamma} \quad \Rightarrow \quad \gamma \leq \arccos\left(\frac{R_Z}{r}\right)$$

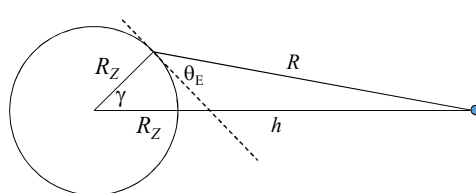
- Primer: Vidljivost geostacionarnega satelita

- Izračunajte do katere zemljepisne širine γ so vidni geostacionarni sateliti, ki se nahajajo na razdalji $r=42164,17$ km. ($R_Z=6378$ km)

$$\gamma \leq \arccos\left(\frac{R_Z}{r}\right) = 81,3^\circ$$

Elevacija iz Portoroža

- Izračunaj kot elevacije na katerega moramo nastaviti anteno zemeljske postaje v Portorožu (zemljepisna širina Portoroža je 45°), da bomo sprejemali signal iz geostacionarnega satelita na višini $h=35786$ km, ki leži na isti zemljepisni dolžini kot Portorož. ($R_Z=6378$ km)



$$\frac{\sin \gamma}{R} = \frac{\sin(90^\circ + \theta_E)}{h + R_Z} = \frac{\cos \theta_E}{h + R_Z}$$

$$R = \sqrt{R_Z^2 + (h + R_Z)^2 - 2(h + R_Z)R_Z \cos \gamma}$$

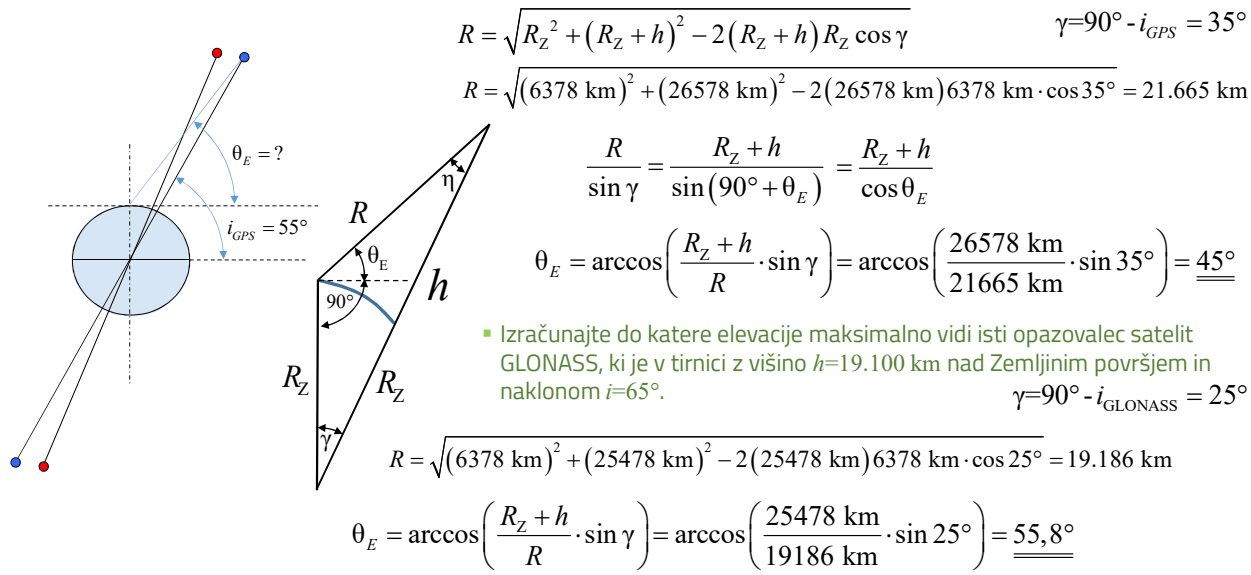
$$R = \sqrt{(6378 \text{ km})^2 + (35786 \text{ km} + 6378 \text{ km})^2 - 2(35786 \text{ km} + 6378 \text{ km})6378 \text{ km} \cdot \cos 45^\circ} = 37.923 \text{ km}$$

$$\cos \theta_E = \frac{(h + R_Z) \cdot \sin \gamma}{\sqrt{R_Z^2 + (h + R_Z)^2 - 2(h + R_Z)R_Z \cos \gamma}} = \frac{(35786 \text{ km} + 6378 \text{ km}) \cdot \sin 45^\circ}{37923 \text{ km}} = 0,786$$

$$\underline{\underline{\theta_E = 38^\circ}}$$

Elevacija satelita GPS in GLONASS na severnem polu

- Satelite GPS se nahaja na tirnici z naklonom $i=55^\circ$ in višino $h=20.200$ km nad Zemljiniim površjem. Izračunajte do katere elevacije maksimalno vidi satelit opazovalec na severnem polu. ($R_Z=6378$ km)



Perioda tirnice umetnega satelita

- 3. Keplerjev zakon
- težnostna konstanta Zemlje $\mu=3,986005 \cdot 10^{14} \text{ m}^3/\text{s}^2$

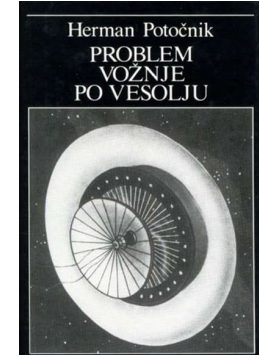
$$\frac{T^2}{a^3} = \text{konst} = \frac{4\pi^2}{\mu}$$

- Koliko znaša perioda tirnice umetnega satelita, ki potuje na povprečni oddaljenosti od središča Zemlje $a=42163$ km.

$$a = R_Z + h = 6378 \text{ km} + 36000 \text{ km}$$

$$T = 2\pi \sqrt{\frac{a^3}{\mu}} = 2\pi \sqrt{\frac{(42163000 \text{ m})^3}{3,986 \cdot 10^{14} \text{ m}^3/\text{s}^2}} = 86161 \text{ s} = 23 \text{h } 56 \text{ min} \approx 1 \text{ dan}$$

- Prvi izračuna Herman Potočnik v knjig Problem vožnje po vesolju.



Geostacionarna tirnica

- Umetni satelit je vedno na isti točki neba.
- Vrtenje satelita je natančno sinhronizirano z vrtenjem Zemlje.
- Tirnica je krožnica $e=0$ v ekvatorialni ravnini $i=0$.
- Perioda je enaka periodi vrtenja Zemlje $T=23$ h in 56 min.
- Sploščenost Zemlje nima vpliva.

Primer:

Izračunajte višino geostacionarne tirnice h nad površino Zemlje in hitrost satelita v . ($e=0$, $T=1436$ min, $R_Z=6378$ km, $\mu=3,986 \cdot 10^{14}$ m³/s²).

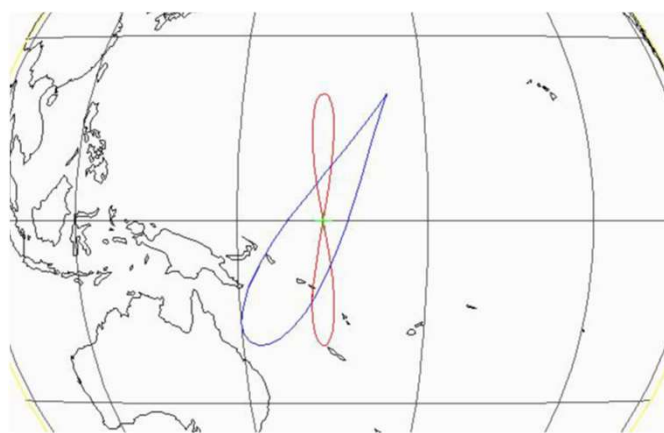
$$a = \sqrt[3]{\mu \left(\frac{T}{2\pi}\right)^2} = \sqrt[3]{3,986 \cdot 10^{14} \text{ m}^3/\text{s}^2 \cdot \left(\frac{1436 \cdot 60 \text{ s}}{2\pi}\right)^2} = 42163 \text{ km}$$

$$h = a - R_Z = 35785 \text{ km}$$

$$v = \sqrt{\mu \left(\frac{2}{r} - \frac{1}{a}\right)} = \sqrt{\frac{\mu}{a}} = \sqrt{\frac{3,986 \cdot 10^{14} \text{ m}^3/\text{s}^2}{42163 \cdot 10^3 \text{ m}}} = 3075 \text{ m/s}$$

- Seznam televizijskih kanalov na geostacionarnih satelitih <http://en.kingofsat.net/>
- Seznam radijskih postaj in z dometi <http://fmscan.org/>

Položaj geostacionarnega satelita glede na površje



- zeleni križec predstavlja položaj geostacionarnega satelita
- rdečo osmico opiše geosinhron satelit s krožno tirnico z določeno inklinacijo
- če taki tirnici dodamo še nekaj sploščenosti (za primer $e = 0,1$), satelit opiše modro krivuljo v obliki solze
- (Celestrak: <http://celestrak.com>)

Nagnjena geostacionarna tirnica za navigacijske satelitske sisteme

I.S.O Laboratorij za sevanje in optiko bostjan.batagelj@fe.uni-lj.si 19 / 70

4 sateliti so na isti tirnici

IRNSS	IRNSS	IRNSS	IRNSS	IRNSS
32.5 DEG	55 DEG	83 DEG	111.75 DEG	131.5 DEG
IRNSS	IRNSS	IRNSS	IRNSS	IRNSS

<http://qzss.go.jp/en/technical/satellites/index.html>

<https://directory.eoportal.org/web/eoportal/satellite-missions/content/-/article/irnss>

Vir: Steigenberger, P., Hugentobler, U., Hauschild, A. et al. Orbit and clock analysis of Compass GEO and IGSO satellites. *J Geod* 87, 515–525 (2013). <https://doi.org/10.1007/s00190-013-0625-4>

Geostacionarna tirnica

I.S.O Laboratorij za sevanje in optiko bostjan.batagelj@fe.uni-lj.si 20 / 70

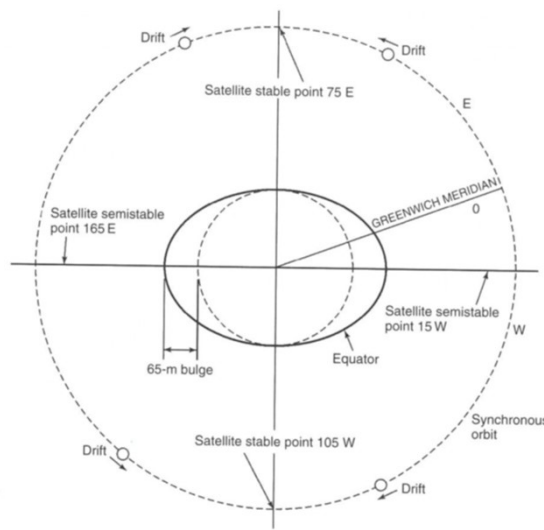
- Sploščenost Zemlje nima vpliva.
- Ostale nepravilnosti v težnostnem polju Zemlje zaradi vrtenja satelita skupaj z Zemljo pripelje do stabilnih in labilnih točk.

zemljepisna dolžina
nad Indijo
 76.8°E ; 108.1°W
stabilni točki:
labilni točki:
 161.8°E ; 12.2°W
nad Evropo

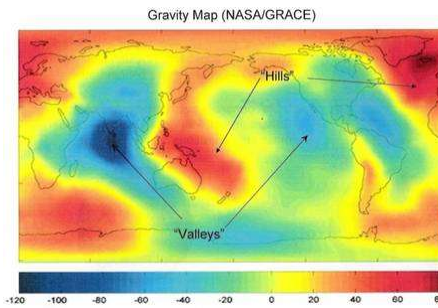
$T_s + T_E = 23\text{h} 56'$
 $i = 0^{\circ}$; $e = 0$; $a \approx 42000\text{ km}$

Stabilne točke

vir: Satellite Communications, 2nd Edition
[Timothy Pratt, Charles W. Bostian, Jeremy E. Allnutt](#)



http://ccar.colorado.edu/asen5050/projects/projects_2009/rupp/



Perioda tirnice satelita Galileo in GPS

- Globalni navigacijski satelitski sistem Galileo ima satelite na višini $h=23.222$ km nad Zemljnjim površjem. Izračunajte periodo tirnice. ($R_Z=6378$ km, $\mu=3,986 \cdot 10^{14} \text{ m}^3/\text{s}^2$)

$$\text{▪ velika polos elipse znaša } a = h + R_Z = 23.222 \text{ km} + 6.378 \text{ km} = 29.600 \text{ km}$$

$$\text{▪ perioda tirnice } T = 2\pi\sqrt{\frac{a^3}{\mu}} = 2\pi\sqrt{\frac{(29.600 \text{ km})^3}{3,986 \cdot 10^{14} \text{ m}^3/\text{s}^2}} = \underline{\underline{50.681 \text{ s} = 14 \text{ h } 5 \text{ min}}}$$

- Globalni navigacijski satelitski sistem GPS ima satelite na višini $h=20.200$ km nad Zemljnjim površjem. Izračunajte periodo tirnice. ($R_Z=6378$ km, $\mu=3,986 \cdot 10^{14} \text{ m}^3/\text{s}^2$)

$$\text{▪ velika polos elipse znaša } a = h + R_Z = 20.200 \text{ km} + 6.378 \text{ km} = 26.578 \text{ km}$$

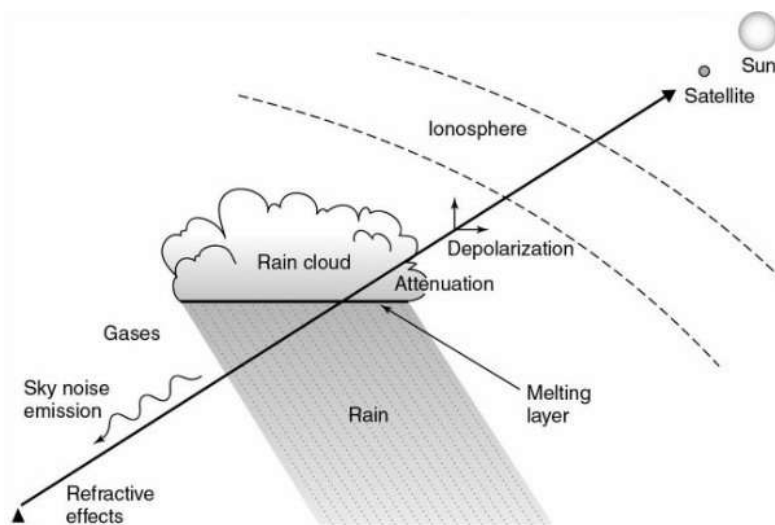
$$\text{▪ perioda tirnice } T = 2\pi\sqrt{\frac{a^3}{\mu}} = 2\pi\sqrt{\frac{(26.578 \text{ km})^3}{3,986 \cdot 10^{14} \text{ m}^3/\text{s}^2}} = \underline{\underline{43.121 \text{ s} = 11 \text{ h } 58 \text{ min}}}$$

Resonančne motnje tirnice GPS

- GNSS sateliti so naši „svetilniki“ za katere moramo natančno poznati položaj (tirnico).
- Že majhna odstopanja v tirnici (položaju) satelitov povzroči velike napake pri določanju položaja uporabnikov.
- Glavna motnja, ki deluje na tirnice satelitov GPS izvira iz periode kroženja, ki je 11 h 58 min.
- Motnje v tirnici satelita GPS izvirajo iz resonančnih pojavov s tirnico Zemlje.
- Zaradi resonančnega pojava se seštevajo vplivi:
 - neenakomerne porazdelitve Zemljine mase,
 - gravitacije Lune in Sonca,
 - potiska sončne svetlobe.
- Zaradi resonančnih pojavov nastane sprememba v položaju 17 m/dan (17 km / 1000 dni)
- Zemeljske nadzorne postaje GPS stalno nadzirajo satelitske tirnice.
- Ko se tirnica satelita spremeni, zemeljska nadzorna postaja pošlje satelitu popravek, ki se zabeleži v efemeride satelita.
- Tudi s pomočjo popravkov so še vedno odstopanja, ki vodijo v $\pm 2,5$ m odstopanje položaja uporabnika.
- Sateliti Galileo imajo obkrožijo Zemljo 17-krat v 10 dneh, kar je dovolj stran od razmerja 2:1, da ne pride do resonančnega pojava.

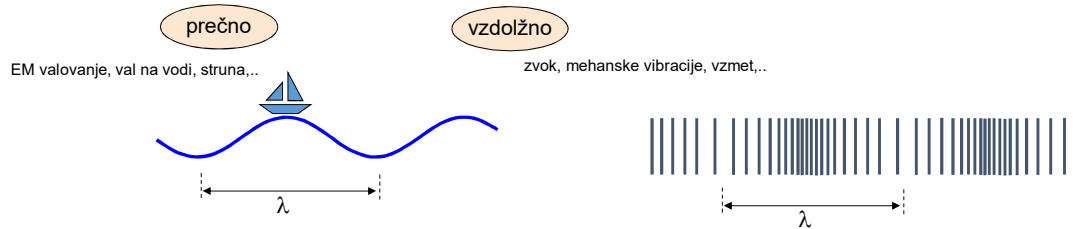
Vir: Klokočnik, J., Gooding, R.H., Wagner, C.A. et al. The Use of Resonant Orbits in Satellite Geodesy: A Review. *Surv Geophys* **34**, 43–72 (2013).
<https://doi.org/10.1007/s10712-012-9200-4>

Depolarizacija v atmosferi



Valovanje

- Val je motnja, ki potuje skozi snov ali prostor, in prenaša energijo.
- Poznamo **transverzalno** in **longitudinalno** valovanje.



Valovanje opisujejo štirje parametri:

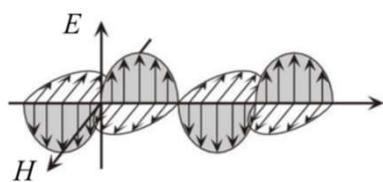
- valovna dolžina λ ,
- frekvenca f ,
- hitrost v ,
- energija W ,
- (polarizacija).

$$\lambda = \frac{v}{f} \quad [m] = \frac{[m/s]}{[s^{-1}]} \quad \lambda_0 = \frac{c_0}{f}$$

$$W = f \cdot h \quad h = 6,626 \cdot 10^{-34} J \cdot s \quad \text{Planckova konstanta}$$

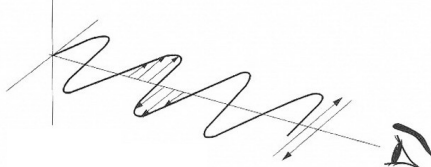
Polarizacija prečnega valovanja

- Prečno (transverzalno) valovanje je opisano z jakostjo, frekvenco, fazo in polarizacijo.
- Polarizacija je definirana samo pri transverzalnem (prečnem) valovanju (ko valovanje niha prečno na smer valovanja), kakršno je elektromagnetno valovaje.



- Polarizacija podaja ravnino, v kateri prečno nihajo delci.
- Polarizacija je podana kot nihajna ravnina, v kateri ležita:
 - vektor smeri valovanja S in
 - valovni vektor električne poljske jakosti E .

- Primer linearno (horizontalno) polariziranega valovanja.



TEM val

- Električno in magnetno polje vala TEM sta po smeri pravokotna.
- Električno in magnetno polje vala TEM sta pravokotna na smer širjenja valovanja.
- V vakuumu je $Z_0 = 120\pi \Omega = 377 \Omega$

$$\vec{E} \perp \vec{H}$$

$$\vec{E} \perp \vec{S}$$

$$\vec{H} \perp \vec{S}$$

$$\vec{H} [A/m]$$

$$\vec{S} [W/m^2]$$

Sevanje: $\frac{E}{H} = Z_0 = \sqrt{\frac{\mu_0}{\epsilon_0}} \approx 377 \Omega$

$$\vec{S} = \frac{1}{2} \vec{E} \times \vec{H}^*$$

Vršne vrednosti polja

$$S = \frac{|\vec{E}|^2}{2 Z_0}$$

$$E = \sqrt{2 Z_0 S}$$

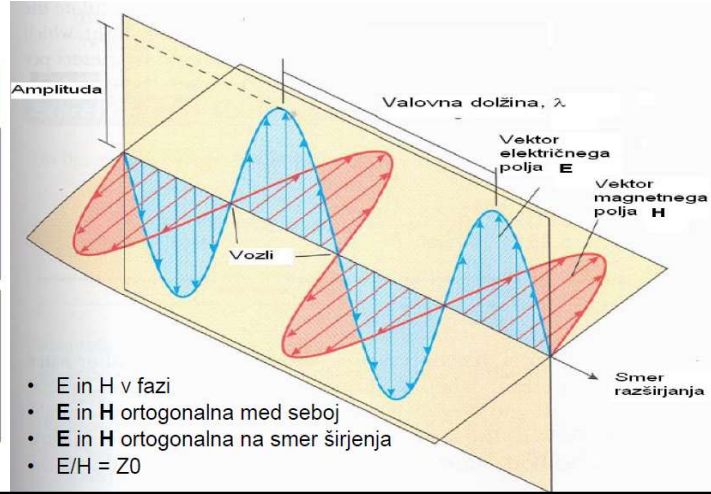
Prazen prostor μ_0, ϵ_0 brez izgub!

$$\vec{S} = \vec{E}_{eff} \times \vec{H}_{eff}^*$$

Efektivne vrednosti polja

$$S = \frac{|\vec{E}_{eff}|^2}{Z_0}$$

$$E_{eff} = \sqrt{Z_0 S}$$



- \vec{E} in \vec{H} v fazi
- \vec{E} in \vec{H} ortogonalna med seboj
- \vec{E} in \vec{H} ortogonalna na smer širjenja
- $E/H = Z_0$

Krajevno-časovna vrednost polja

- Elektromagnetni val krožne frekvence ω , ki se širi v smeri r v praznem prostoru.
 - Trenutne vrednosti polja ob času t so:
- $$\vec{E}(r,t) = \bar{l}_E E_0 \cos(\omega t - kr + \Phi_E) [V/m]$$
- $$\vec{H}(r,t) = \bar{l}_H H_0 \cos(\omega t - kr + \Phi_H) [A/m]$$
- $$k = \frac{2\pi}{\lambda} [1/m]$$
- $$\frac{E_0}{H_0} = Z_0 = \sqrt{\frac{\mu}{\epsilon}} = 120 \pi \Omega = 377 \Omega$$

- Splošni zapis trenutne vrednosti poljubno polariziranega ravninskega vala

$$\vec{E}(r,t) = \text{Re} \left[\bar{l}_E E_0 e^{j(\omega t - kr + \Phi_E)} \right] \quad \text{spreminjanje smeri električnega polja s časom in po prostoru}$$

$\bar{l}_E(r,t)$ v splošnem enotski kompleksen vektor polarizacije

- Polarizacija električnega polja (linearna, krožna, eliptična)
- Pri polarizaciji elektromagnetnega valovanja vedno navajamo le smer vektorja električnega polja.
- V področju daljnega polja antene je z vektorjem električnega polja točno določena tudi smer in velikost vektorja pripadajočega magnetnega polja.

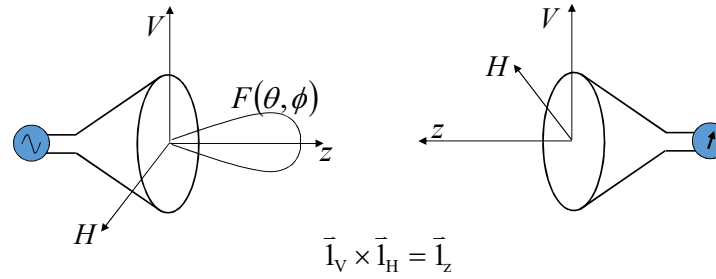
Dogovor glede smeri in izbire koordinatnega sistema

- Polarizacija je vezana na vektor \vec{E} oziroma smer \vec{l}_E
- Polarizacija je vezana na anteno.

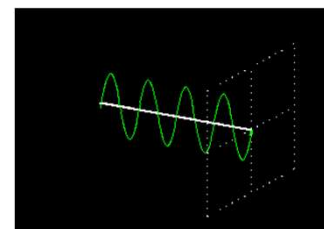
Pri antenah si pri določanju polarizacijskih lastnosti definiramo koordinatni sistem glede na anteno:

- Smer razširjanja valovanja \vec{l}_z kaže v smeri kakor antena največ seva.
- Smerni vektor vertikalne komponente \vec{l}_V kaže navzgor.
- Smerni vektor horizontalne komponente \vec{l}_H pa je tako obrnjen, da kaže njun vektorski produkt $\vec{l}_V \times \vec{l}_H$ v smeri razširjanja valovanja \vec{l}_z v oddajnem režimu, to je proč od antene.

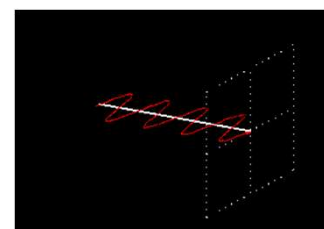
Na ta način je koordinatni sistem enako definiran ne glede na to, če dela antena v sprejemnem ali v oddajnem režimu.



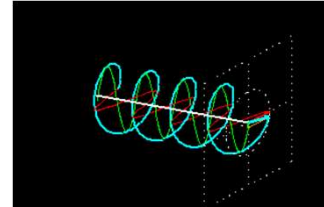
Vrste polarizacije



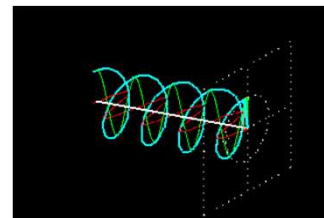
linearna (vertikalna) polarizacija
angl. Vertical Polarization



linearna (horizontalna) polarizacija
angl. Horizontal Polarization

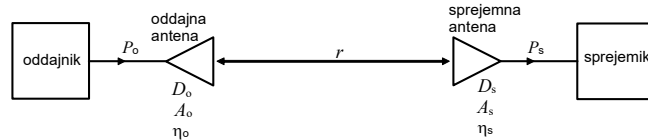


krožna (levosučna) polarizacija
angl. Left Hand Circular Polarization (LHCP)



krožna (desnosučna) polarizacija
angl. Right Hand Circular Polarization (RHCP)

Radijska zveza v praznem prostoru z upoštevanjem polarizacijske skladnosti



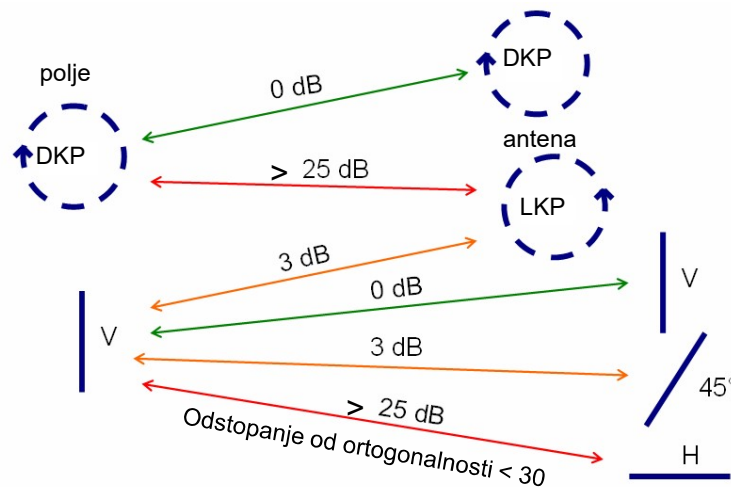
Frissova enačba za
domet koherentne zveze

$$\frac{P_s}{P_o} = G_o G_s \left(\frac{\lambda}{4\pi r} \right)^2 \cdot \eta_p$$

faktor skladnosti polarizacije

$$0 \leq \eta_p \leq 1$$

Preprosti primeri polarizacijske skladnosti in neskladnosti



- Slabljenje zaradi polarizacijske neskladnosti je recipročno.

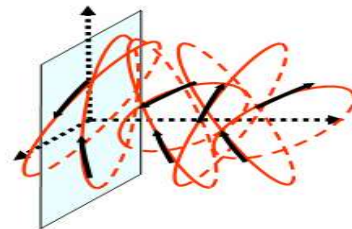
sprejemniška antena

	\uparrow	\rightarrow	\curvearrowleft	\curvearrowright
V	0 dB	∞	3 dB	3 dB
H	∞	0 dB	3 dB	3 dB
RHC	3 dB	3 dB	0 dB	∞
LHC	3 dB	3 dB	∞	0 dB

Slabljenje zaradi polarizacijske
neskladnosti

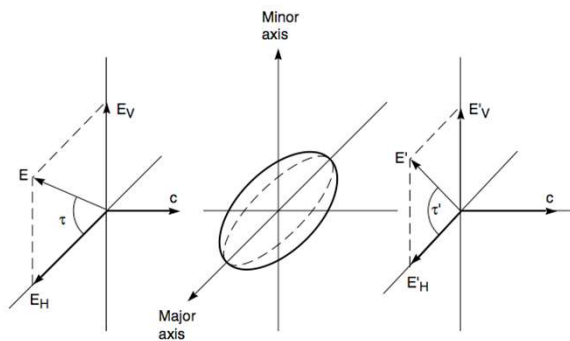
Depolarizacija pri razširjanju elektromagnetnega valovanja

- Depolarizacija – naključno sprevrženje polarizacije, ki nastane zaradi naključnih pogojev razširjanja elektromagnetnega valovanja
- Sklop med ortogonalnima polarizacijama HV, VH.
- Fizikalni pogoji razširjanja v mediju so različni za dve ortogonalni polarizaciji.
- Primeri:
 - odboj od tal in odboj od objektov pri HP in VP,
 - odboj od kapljic vode in iglic ledu.
- Odboj v urbanem okolju na fiksnih in mobilnih objektih.
- Propagacijski pogoji brez direktne vidljivosti (angl. Non-Line of Sight – NLOS).



Depolarizacija zaradi dežja

- Dežne kaplje niso popolnoma okrogle, temveč bolj eliptične.
- Polarizirano valovanje ob potovanju skozi dežno kapljo:
 - ena komponenta naleteti na manj vode kot druga
 - prihaja do **različnega slabljenja** med eno in drugo komponento električnega polja
 - prihaja do **različnega faznega zasuka** med eno in drugo komponento
 - vse to ima za posledico depolarizacijo elektromagnetnega valovanja

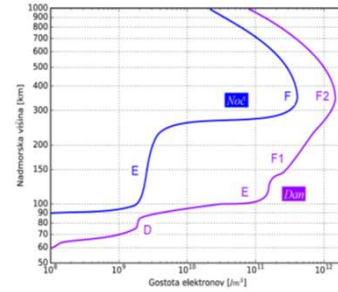
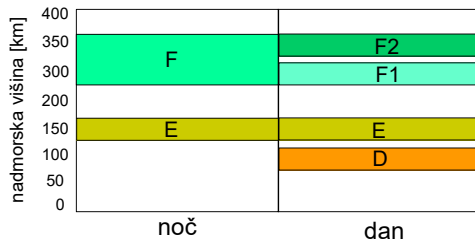


- ITU-T teoretični izračuni in praktične meritve so pokazale, da depolarizacija zaradi dežja ne doprinese več kot 3 dB.
- Depolarizaciji zaradi dežja se izognemo z uporabo linearne polarizacije.

Polarisation vector relative to the major and minor axes of a raindrop, vir: Satellite Communications, Dennis Roddy, McGraw-Hill

Ionosfera

- Ionosfera je plast v zemeljskem ozračju, ki vsebuje nabite delce (elektone in ione), zaradi sončnega sevana.
- Prosti elektroni so prosto razporejeni in ujeti v Zemljino magnetno polje.
- Njihova gostota je odvisna od aktivnosti sonca in v povprečju znaša 10^{18} el/m^3



- Maksimumu koncentracije nabitih delcev je na nadmorski višini 350 km.
- Mednarodna vesoljska postaja (ISS) se nahaja na višini 360 km.
- Plazma naelektrnih delcev je sicer izredno redka, ampak tudi izredno korozivna.
- Vesoljska plovila za dolgotrajno uporabo, kot je to ISS, morajo biti izdelana iz snovi, ki so odporne na korozijo!

Elektromagnetno valovanje v ionosferi

■ Frekvenca plazme $f_p = \frac{1}{2\pi} \sqrt{\frac{N_e Q_e}{\epsilon_0 m_e}} = \sqrt{80,6 \frac{\text{m}^3}{\text{s}^2} N_e} = \begin{cases} 11 \text{ MHz} & \text{dan} \\ 5 \text{ MHz} & \text{noč} \end{cases}$

$f < f_p \rightarrow \text{prevodnik}$

- Ko je frekvenca valovanja nižja od frekvence plazme, se ionosfera obnaša kot prevodnik, kjer se valovanje ne more širiti.

$f > f_p \rightarrow \text{dielektrik}$

- Ko je frekvenca valovanja višja od frekvence plazme, se ionosfera obnaša kot dielektrik, kjer se valovanje lomi.
- Lomni količnik se izračuna s pomočjo frekvence plazme

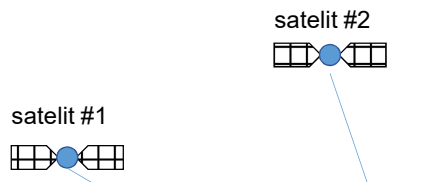
$$n = \sqrt{\epsilon_0} = \sqrt{1 - \left(\frac{f_p}{f} \right)^2} < 1$$

Primer:

- Kolikšen je lomni količnik ionosferske plasti pri frekvenci 12 MHz? Ionosfersko plast opisuje frekvenca plazme 6 MHz. Izgube zaradi trkov elektronov zaradi trkov elektronov z drugimi ioni in nevtralnimi molekulami ozračja so zanemarljivo majhne.

$$n = \sqrt{\epsilon_0} = \sqrt{1 - \left(\frac{f_p}{f} \right)^2} = \sqrt{1 - \left(\frac{6 \text{ MHz}}{12 \text{ MHz}} \right)^2} = \sqrt{1 - (0,5)^2} = \sqrt{1 - 0,25} = \sqrt{0,75} = 0,866$$

Ionosfera in navigacijski signal



satelit #1

satelit #2

satelit #3

satelit #4

- Signali, ki prihajajo od satelitov k sprejemniku se v ionosferi lomijo.
- Signali opravijo različno dolgo pot skozi ionosfero.
- Ionosfera deluje kot razpršilna leča.
- Žarki se zberejo višje.
- Napaka v višini znaša približno 50 m podnevi.
- Ponoči ni napake, ker je koncentracija ionov takrat majhna.

ionosfera
Zemlja

sprejemnik
navigacijskega
signala

Napake zaradi ionosfere

Primer:

- Pogrešek izračuna položaja uporabnika zaradi ionosfere znaša $\Delta r = 30 \text{ m}$ na frekvenci $L_1 = 1575,42 \text{ MHz}$ navigacijskih satelitov GPS. Kolikšen je pogrešek $\Delta r = ?$ na frekvenci $L_2 = 1227,6 \text{ MHz}$ ob istem naboru satelitov (nespremenjen GDOP)?

$$\Delta r \propto f^{-2} \quad \Rightarrow \quad \frac{\Delta r_2}{\Delta r_1} = \left(\frac{f_{L1}}{f_{L2}} \right)^2 \quad \Rightarrow \quad \Delta r_2 = \Delta r_1 \left(\frac{f_{L1}}{f_{L2}} \right)^2 = 30 \text{ m} \left(\frac{1575,42 \text{ MHz}}{1227,6 \text{ MHz}} \right)^2 = 49,4 \text{ m}$$

- Z meritvijo na dveh frekvencah je mogoče popolnoma izločiti pogrešek ionosfere.

geometric dilution of precision (GDOP) – geometrično redčenje natančnosti

Napake zaradi ionosfere

Primer:

- Pri sprejemu signala s satelita GPS na obeh frekvencah $L_1=1575,42$ MHz in $L_2=1227,6$ MHz izmerimo zakasnitev modulacije na frekvenci L_2 glede na L_1 , $\Delta t=15$ ns. Koliko znaša doprinos k pogrešku določanja položaja uporabnika $\Delta r=?$, če uporabljamо rezultate meritve na frekvenci L_1 .

$$\Delta t_1 = \frac{\alpha}{f_{L1}^2} \quad \Delta t_2 = \frac{\alpha}{f_{L2}^2}$$

$$\Delta t = \Delta t_2 - \Delta t_1 = \alpha \left(\frac{1}{f_{L2}^2} - \frac{1}{f_{L1}^2} \right) \Rightarrow \alpha = \frac{\Delta t}{\left(\frac{1}{f_{L2}^2} - \frac{1}{f_{L1}^2} \right)} = \frac{\Delta t}{f_{L2}^{-2} - f_{L1}^{-2}}$$

$$\Delta t_1 = \frac{\alpha}{f_{L1}^2} = \frac{\Delta t}{f_{L1}^2 \left(\frac{1}{f_{L2}^2} - \frac{1}{f_{L1}^2} \right)} = \frac{\Delta t}{\frac{f_{L1}^2}{f_{L2}^2} - 1} = \frac{15 \text{ ns}}{\left(\frac{1575,42 \text{ MHz}}{1227,6 \text{ MHz}} \right)^2 - 1} = 23,2 \text{ ns}$$

- ovrednotimo ta časovni pogrešek v položaj

$$\Delta r = c_0 \Delta t_1 = 3 \cdot 10^8 \text{ m/s} \cdot 23,2 \cdot 10^{-9} \text{ s} = \underline{\underline{6,96 \text{ m}}}$$

Napake zaradi ionosfere pri štirih satelitih

Primer:

- Položaj navigacijskega sprejemnika izračunamo iz meritev na signalih štirih GPS satelitov, od katerih se eden nahaja v zenitu, ostali trije pa tuk nad obzorjem in so enako razporejeni po azimutu (po 120°). Ionosfersko zakasnitev merimo kot zakasnitev modulacije Δt na nosilcu $L_2=1227,6$ MHz glede na $L_1=1575,42$ MHz in izmerimo 10 ns za satelit v zenitu in 50 ns za vse tri satelite tuk nad obzorjem. Izračunajte pogreške v izmerjenih razdaljah do satelitov, če opravljamo meritve le na frekvenci L_1 . Koliko in v kateri smeri odstopa izračun položaja sprejemnika iz meritev na L_1 brez popravka ionosfere?

$$\Delta t_1 = \frac{\Delta t}{f_{L1}^2 \left(\frac{1}{f_{L2}^2} - \frac{1}{f_{L1}^2} \right)} = \Delta t \frac{\frac{1}{f_{L1}^2}}{\frac{1}{f_{L2}^2} - \frac{1}{f_{L1}^2}} = \Delta t \frac{f_{L1}^{-2}}{f_{L2}^{-2} - f_{L1}^{-2}} = \Delta t \frac{(1575,42 \text{ MHz})^{-2}}{(1227,6 \text{ MHz})^{-2} - (1575,42 \text{ MHz})^{-2}} = \Delta t \cdot 1,546$$

Δt_{12}	Δt_1	Δl_1
10ns	15,5ns	4,6m
50ns	74,3ns	23,2m

- Napake vseh treh satelitov na obzoru so enake in se odštejejo.
- Spremeni se le izračunana višina.

$$\Delta h = \Delta l_1' - \Delta l_1'' = \underline{\underline{18,5 \text{ m}}}$$

Zakasnitev zaradi troposfere je neodvisna od frekvence.

Zakasnitev skozi ionosfero pa je odvisna od frekvence.

Primer:

- Pri sprejemu radionavigacijskih signalov s satelita GPS doprinaša razširjanje radijskih valov skozi celotno zemeljsko ozračje dodatno skupno zakasnitev $t_1=40$ ns na frekvenci $L_1=1575,42$ MHz, na nosilcu $L_2=1227,6$ MHz pa znaša dodatna zakasnitev $t_2=53$ ns. Izračunajte kolikšno zakasnitev doprinaša troposfera. Pri izračunu upoštevajte dejstvo, da je zakasnitev zaradi troposfere neodvisna od frekvence, medtem, ko je zakasnitev skozi ionosfero odvisna od kvadrata frekvence.

$$\begin{aligned} \text{■ Skupna zakasnitev na } L_1 \quad t_1 = t_0 + \frac{\alpha}{f_{L1}^2} &\Rightarrow \alpha = t_1 f_{L1}^2 - t_0 f_{L1}^2 \\ \text{■ Skupna zakasnitev na } L_2 \quad t_2 = t_0 + \frac{\alpha}{f_{L2}^2} &\Rightarrow \underline{\alpha = t_2 f_{L2}^2 - t_0 f_{L2}^2} \\ t_1 f_{L1}^2 - t_0 f_{L1}^2 &= t_2 f_{L2}^2 - t_0 f_{L2}^2 \\ t_1 f_{L1}^2 - t_2 f_{L2}^2 &= t_0 (f_{L1}^2 - f_{L2}^2) \Rightarrow t_0 = \frac{t_1 f_{L1}^2 - t_2 f_{L2}^2}{f_{L1}^2 - f_{L2}^2} = \\ &= \frac{40 \text{ ns} \cdot (1575,41 \text{ MHz})^2 - 52 \text{ ns} \cdot (1227,6 \text{ MHz})^2}{(1575,41 \text{ MHz})^2 - (1227,6 \text{ MHz})^2} = \underline{\underline{19,9 \text{ ns}}} \end{aligned}$$

Depolarizacija v ionosferi

- Elektromagnetni signal, ki potuje skozi oblak elektronov je deležen Faradayevega sukanja.

$$\varepsilon_r = 1 - \left(\frac{f_p}{f}\right)^2 \cdot \frac{1}{1 \pm \frac{f_g}{f}} \quad \pm \text{ LEVA / DESNA KROŽNA POLARIZACIJA} \\ (\text{FARADAY - EV POJAV})$$

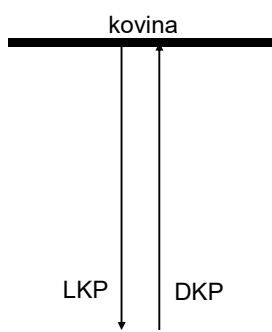
- Žiromagnetna resonanca $f_g = \frac{1}{2\pi} \frac{\mu_0 Q_e}{m_e} H_0 \approx 1.4 \text{ MHz}$
- Zemeljsko magnetno polje $H_0 \approx 40 \text{ A/m}$
- Faradeyeva rotacija ne povzroča problemov pri frekvencah višjih od 10 GHz.

V ionosferi prihaja do sukanja polarizacije zaradi Faradayevega pojava. Ta pojav nas bi motil, če bi GPS sateliti uporabljali linearно polariziran signal namesto desno krožne polarizacije. Koliko bi znašal zasuk polarizacije pri sprejemu linearne polarizirane signala L1 s frekvenco 1575,42 MHz, če smo pri sprejemu linearne polarizirane signala L2, iz istega satelita, s frekvenco 1227,6 MHz zapazili 108° zasuk polarizacije.

$$\theta \propto f^{-2} \quad \frac{\theta_1}{\theta_2} = \frac{f_2^2}{f_1^2} \quad \theta_2 = \theta_1 \left(\frac{f_1}{f_2} \right)^2 = 108^\circ \left(\frac{1227,6}{1575,42} \right)^2 = \underline{\underline{65,6^\circ}}$$

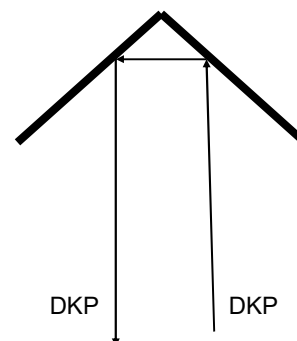
Krožna polarizacija - odboj

Odboj od ravnega
reflektorja



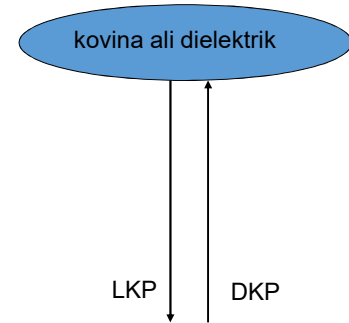
DKP vpadnega vala se odbije kot LKP. Polarizacija se sprevrže v nasprotno polarizacijo. Antena odboja ne zaznava.

Odboj od kotnega
reflektorja



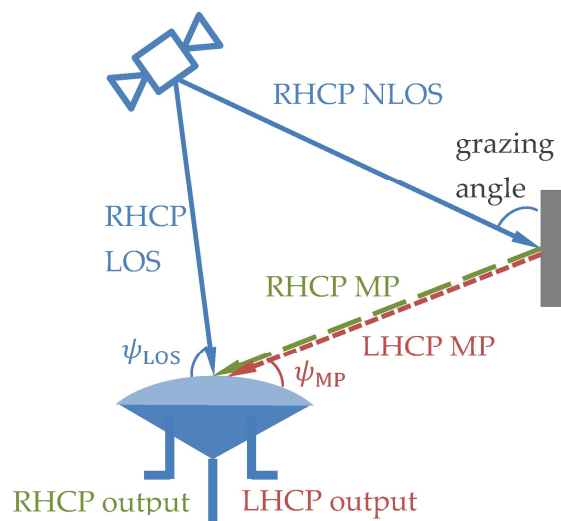
DKP vpadnega vala se po dveh odbojih odbije kot DKP. Antena odboja zaznava.

Odboj od oblega
simetričnega objekta



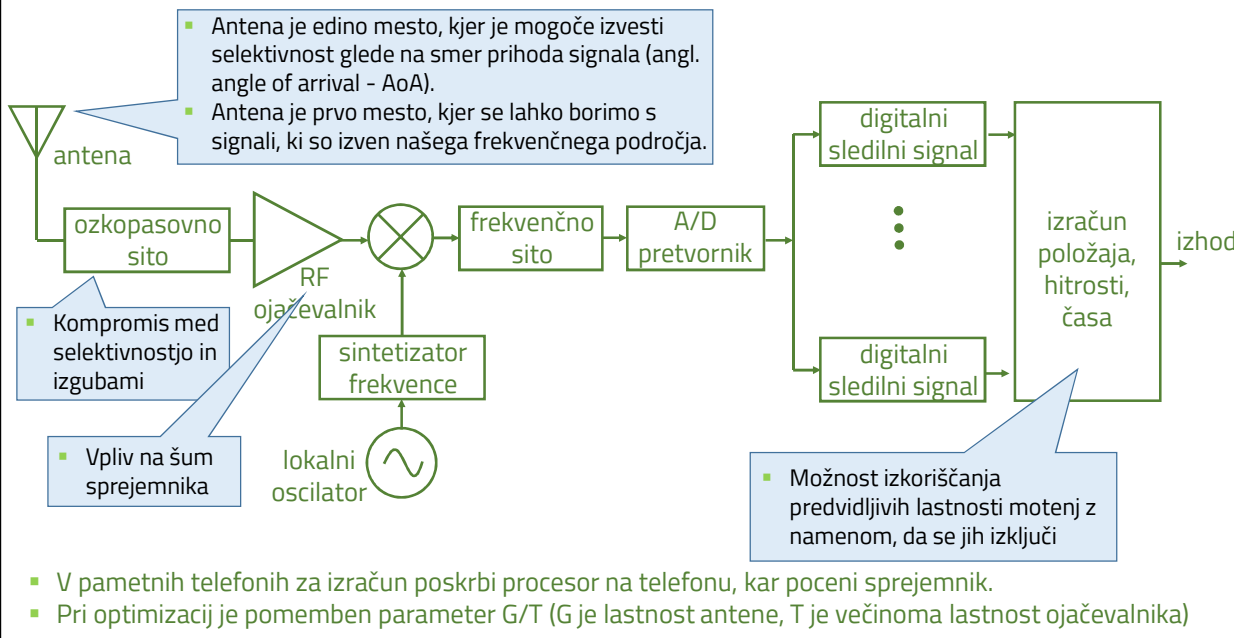
DKP vpadnega vala se odbije kot LKP. Antena odboja ne zaznava. Velja tudi za vodne kapljice.

Menjava polarizacije po odboju



<https://www.mdpi.com/1424-8220/17/2/359/htm>

GNSS sprejemnik



GPS sprejemnik in 50 m oddaljena antena

desno krožno polarizirana antena



- Antena za frekvenco $L_1=1575,42$ MHz je povezana s koaksialnim kablom dolžine $l=50$ m do GPS sprejemnika na krovu letala. Kolikšno je pričakovano odstopanje izračunanega položaja letala $\Delta r=?$? Pri $GDOP=2$? Kabel vsebuje dielektrik z $\epsilon_r=2,6$, kar dodatno upočasnjuje valovanje v kablu. Izgube kabla nadomešča ojačevalnik pri anteni.

- Zakasnitev koaksialnega kabla

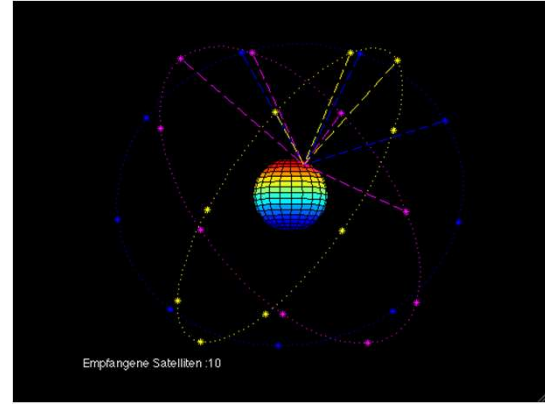
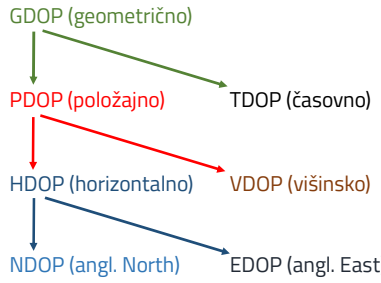
$$\Delta t = \frac{l}{v} = \frac{l}{\frac{c_0}{\sqrt{\epsilon_r}}} = \frac{l \cdot \sqrt{\epsilon_r}}{c_0} = \frac{50 \text{ m} \cdot \sqrt{2,6}}{3 \cdot 10^8 \text{ m/s}} = 269 \text{ ns}$$

- Enačba hiperbole $|\vec{r}_i - \vec{r}_u| - |\vec{r}_j - \vec{r}_u| = c_0 [(t_i - \Delta t) - (t_j - \Delta t)] \rightarrow \underline{\underline{\Delta r = 0}}$
- Ker se zakasnitev kabla v navigacijskih enačbah natančno odšteje, je za vse signale pogrešek enak.
- Posledično je odstopanje izračunanega položaja $\Delta r=0$.
- GPS sprejemnik vedno izračuna položaj antene!

DOP

Kakovost položaja satelitov se podaja z vrednostjo redčenja natančnosti (angl. dilution of precision)

- **GDOP** (angl. Geometric Dilution Of Precision) – geometrično redčenje natančnosti, celotna točnost; 3D koordinate in čas
- **PDOP** (angl. Positional Dilution Of Precision) – položajno redčenje natančnosti, položajna točnost; 3D koordinate
- **TDOP** (angl. Time Dilution Of Precision) – časovno redčenje natančnosti, časovna točnost; čas
- **HDOP** (angl. Horizontal Dilution Of Precision) – horizontalno redčenje natančnosti, horizontalna točnost; 2D koordinate
- **VDOP** (angl. Vertical Dilution Of Precision) – višinsko redčenje natančnosti, višinska točnost; višina



Vir: Janja Konečnik, „Integracija sistemov GPS in GLONASS v geodetski izmeri“, 2008 <https://core.ac.uk/download/pdf/12088558.pdf>

Vir: [https://en.wikipedia.org/wiki/Galileo_\(satellite_navigation\)](https://en.wikipedia.org/wiki/Galileo_(satellite_navigation))

GDOP

vrednost GDOP	ocena	(angl. ideal)
1	idealno	(angl. ideal)
2-4	odlično	(angl. excellent)
4-6	dobro	(angl. good)
6-8	srednje	(angl. moderate)
8-20	zadovoljivo	(angl. fair)
20-50	slabo	(angl. poor)

vir: M. Tahsin, S. Sultana, T. Reza and M. Hossam-E-Haider, "Analysis of DOP and its preciseness in GNSS position estimation," 2015 International Conference on Electrical Engineering and Information Communication Technology (ICEEICT), Savar, Bangladesh, 2015, pp. 1-6, doi: 10.1109/ICEEICT.2015.7307445.

vir: Langley and R.B., "Dilution of Precision," *GPS World*, pp. 52–59, 1999.

- Določite odstopanje $\Delta r = ?$ izračunanega položaja GPS uporabniškega sprejemnika, ko odboji v neposredni okolini sprejemne antene doprinesejo časovno napako $\Delta t = 33$ ns. Faktor GDOP znaša $GDOP = 2,71$, pogrešek troposfere, ionosfere in satelitske oddaje so za nekaj velikostnih razredov manjši in jih zanemarimo.

$$\Delta r = GDOP \cdot c_0 \cdot \Delta t = 2,71 \cdot 3 \cdot 10^8 \text{ m/s} \cdot 33 \cdot 10^{-9} \text{ s} = \underline{\underline{26,8 \text{ m}}}$$

Napake zaradi ionosfere

Primer:

- Pogrešek izračuna položaja uporabnika zaradi ionosfere znaša $\Delta r=30$ m na frekvenci $L1=1575,42$ MHz navigacijskih satelitov GPS. Kolikšen je pogrešek $\Delta r=?$ na frekvenci $L2=1227,6$ MHz ob istem naboru satelitov (nespremenjen GDOP)?

$$\Delta r \propto f^{-2} \quad \Rightarrow \quad \frac{\Delta r_2}{\Delta r_1} = \left(\frac{f_{L1}}{f_{L2}} \right)^2 \quad \Rightarrow \quad \Delta r_2 = \Delta r_1 \left(\frac{f_{L1}}{f_{L2}} \right)^2 = 30 \text{ m} \left(\frac{1575,42 \text{ MHz}}{1227,6 \text{ MHz}} \right)^2 = \underline{\underline{49,4 \text{ m}}}$$

- Z meritvijo na dveh frekvencah je mogoče popolnoma izločiti pogrešek ionosfere.

geometric dilution of precision (GDOP) – geometrično redčenje natančnosti

Napake zaradi ionosfere

Primer:

- Pri sprejemu signalov s satelita GPS na obeh frekvencah $L1=1575,42$ MHz in $L2=1227,6$ MHz izmerimo zakasnitev modulacije na frekvenci L2 glede na L1 $\Delta t=15$ ns. Koliko znaša doprinos k pogrešku določanja položaja uporabnika $\Delta r=?$, če uporabljamo rezultate meritve na frekvenci L1, ter ionosferskega pogreška za dani satelit ne popravimo pri faktorju GDOP=3,5?

$$\Delta t_1 = \frac{\alpha}{f_{L1}^2} \quad \Delta t_2 = \frac{\alpha}{f_{L2}^2}$$

$$\Delta t = \Delta t_2 - \Delta t_1 = \alpha \left(\frac{1}{f_{L2}^2} - \frac{1}{f_{L1}^2} \right) \quad \Rightarrow \quad \alpha = \frac{\Delta t}{\left(\frac{1}{f_{L2}^2} - \frac{1}{f_{L1}^2} \right)} = \frac{\Delta t}{f_{L2}^{-2} - f_{L1}^{-2}}$$

$$\Delta t_1 = \frac{\alpha}{f_{L1}^2} = \frac{\Delta t}{f_{L1}^2 \left(\frac{1}{f_{L2}^2} - \frac{1}{f_{L1}^2} \right)} = \frac{\Delta t}{\frac{f_{L1}^2}{f_{L2}^2} - 1} = \frac{15 \text{ ns}}{\left(\frac{1575,42 \text{ MHz}}{1227,6 \text{ MHz}} \right)^2 - 1} = 23,2 \text{ ns}$$

$$\Delta r = c_0 \cdot \Delta t_1 \cdot \text{GDOP} = 3 \cdot 10^8 \text{ m/s} \cdot 23,2 \cdot 10^{-9} \text{ s} \cdot 3,5 = 6,96 \text{ m} \cdot 3,5 = \underline{\underline{23,4 \text{ m}}}$$

Čas trajanja radijske zveze

- Satelit Galilei se nahaja v krožni ($e=0$) tirci z nagibom $i=56^\circ$ na višini $h=23.222$ km nad površino Zemlje. Izračunajte čas trajanja radijske zveze s sprememno postajo na ekvatorju za celoten prelet satelita od obzorja do obzorja, ki gre nad glavo opazovalca! Lom radijskih valov v ozračju zanemarimo.

$$a = h + R_Z = 800 \text{ km} + 6378 \text{ km} = 7178 \text{ km}$$

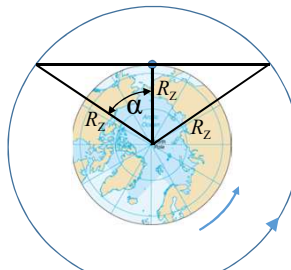
$$T_s = 2\pi \sqrt{\frac{a^3}{\mu}} = 2\pi \sqrt{\frac{(7178 \text{ km})^3}{3,986 \cdot 10^{14} \text{ m}^3/\text{s}^2}} = 6052 \text{ s} = 100,9 \text{ min}$$

$$R_Z = 6378 \text{ km},$$

$$\mu = 3,986 \cdot 10^{14} \text{ m}^3/\text{s}^2$$

$$T_Z = 1436 \text{ min}$$

$$\alpha = \arccos \frac{R_Z}{h + R_Z} = \arccos \frac{6378 \text{ km}}{800 \text{ km} + 6378 \text{ km}} = 27,3^\circ = 0,477 \text{ rd}$$



- Brez upoštevanja vrtenja Zemlje

$$\frac{360^\circ}{T_s} = \frac{2\alpha}{t} \rightarrow t = 2\alpha \frac{T_s}{360^\circ} = 2\alpha \frac{T_s}{2\pi} = \frac{2\alpha}{2\pi} = \frac{2 \cdot 0,477 \text{ rd}}{2\pi} = \frac{918 \text{ s}}{6052 \text{ s}}$$

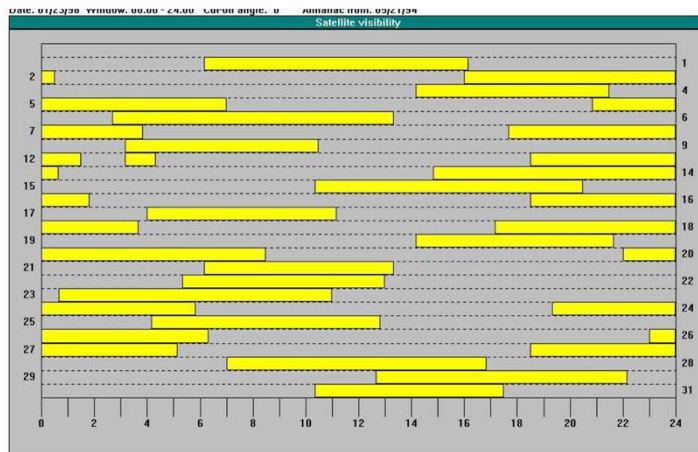
- Z upoštevanjem vrtenja Zemlje

$$t = \frac{\frac{2\alpha}{2\pi} - \frac{2\pi}{T_s}}{\frac{2\pi}{T_s} - \frac{2\pi}{T_Z}} = \frac{\frac{2 \cdot 0,477 \text{ rd}}{2\pi} - \frac{2\pi}{6052 \text{ s}}}{\frac{2\pi}{6052 \text{ s}} - \frac{2\pi}{1436 \text{ min} \cdot 60 \text{ s}}} = 988 \text{ s} = 16 \text{ min } 28 \text{ s}$$

- Naklon 0° pomeni ekvatorialno tircico, kjer gre vrtenje satelita v isti smeri kot vrtenje Zemlje.

Satellite Overhead Schedule

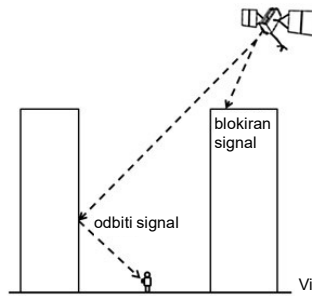
- Nam prikaže, kdaj je razpoložljiv kakšen satelit.



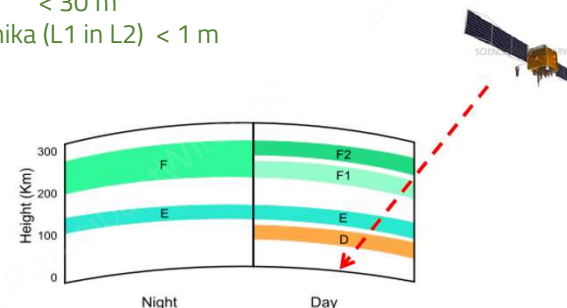
Trimble Total Control Software

Izvori napak pri GNSS

- Napaka ure na satelitu (atomska ura) ≈ 1 m
- Napaka v položaju satelita (napaka tirnice) – nenatančnost efemerid [ephemeris] ≈ 1 m (podatki so lahko stari do dve uri)
- Napaka zaradi pojava večpotja (prispevki zaradi odboja signala na ovirah) [multipath] ≈ 1 m (ali več)
- Napaka sprejemnika < 1 m
- Napaka zaradi sprememb v ozračju
 - troposfera (vreme) ≈ 1 m
 - ionosfera (čas dneva)
 - napaka pri uporabi samo ene frekvence (L1) < 30 m
 - napaka pri uporabi dvofrekvenčnega sprejemnika (L1 in L2) < 1 m

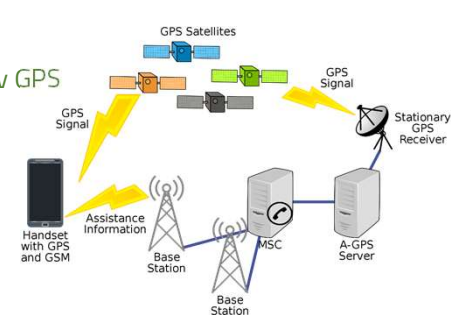
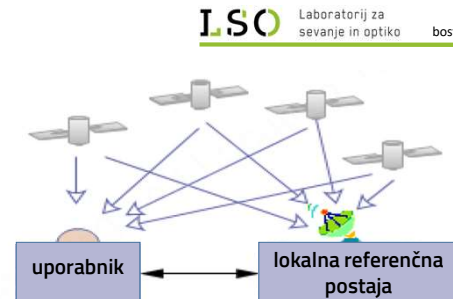


Vir: <http://www.gps.gov/systems/gps/performance/accuracy/#sa>



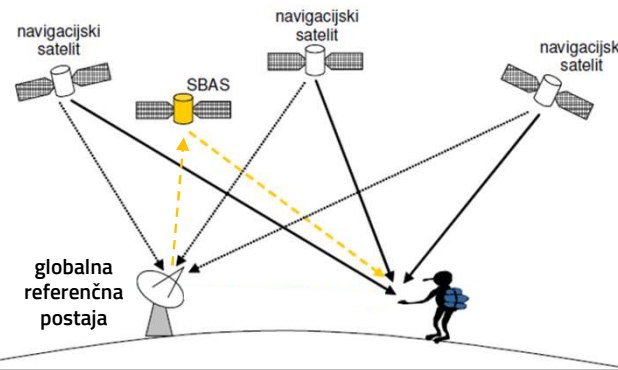
GPS izboljšave

- **diferencialni GPS (angl. differential GPS – DGPS)**
 - S pomočjo referenčne postaje uporabnik dobije vektor popravkov.
- **assisted GPS**
 - razvije Qualcomm leta 2004
 - omogoča navigacijo s kombinacijo mobilnega signala in satelitov GPS
 - bazne postaje prek mobilnega signala posredujejo določene informacije o tirnicah satelitov (efemeride in almanah)
 - zmanjša se čas do prve sinhronizacije (angl. Time to first fix)
- **Globalni satelitsko izboljševalni sistem (angl. Global Satellite Based Augmentation Systems – SBAS)**



Satelitsko izpopolnitveni sistemi

- Globalni satelitsko izboljševalni sistem (angl. Global Satellite Based Augmentation Systems – SBAS)
- Omnistar in StaFire
- Regioalni satelitsko izboljševalni sistemi:
 - ZDA – Wide Area Augmentation System (WAAS)
 - Evropa – European Geostationary Navigation Overlay Service (EGNOS)
 - Japonska – Multi-Fuctional Satellite Augmentation System (MSAS)



Satelitsko izpopolnitveni sistemi

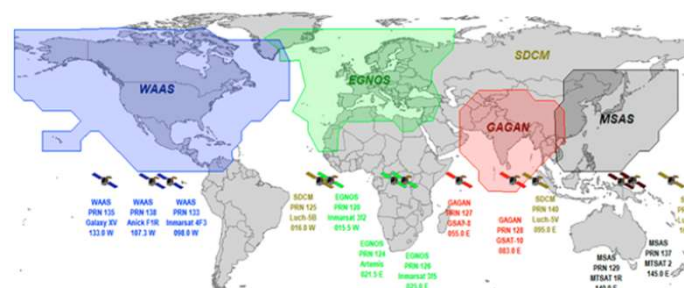


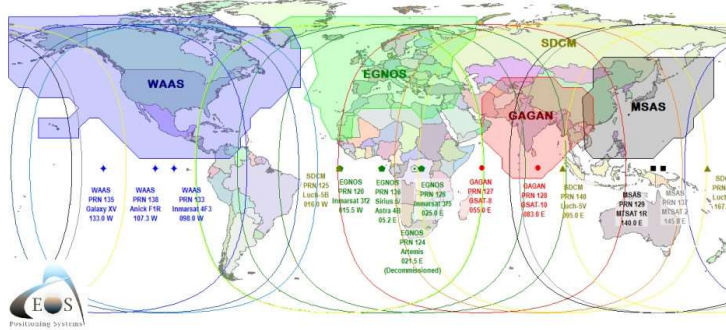
Fig. 1 Existing SBAS Coverage (GENEQ Inc 2015).

Vir: https://www.researchgate.net/publication/308761466_GNSS_satellite-based_augmentation_systems_for_Australia

Satelitsko izpopolnitveni sistemi



vir: How to Get Free GPS Sub-Meter Corrections with SBAS Satellite Systems, <https://eos-gnss.com/can-get-gps-sub-meter-corrections-free>



WAAS (Wide Area Augmentation System) – Canada, United States, Central America, northern region of South America.

EGNOS (European Geostationary Navigation Overlay Service) – Western/Eastern Europe and Northern Africa.

MSAS (Multi-functional Satellite Augmentation System) – Japan.

GAGAN (GPS Aided Geo Augmented Navigation) – India and parts of surrounding countries.

SDCM ("System for Differential Correction and Monitoring") – Russia (in deployment)

Meritev GPS signala na spektralnem analizatorju



- Oddajo radio-navigacijskega satelita GPS opazujemo na spektralnem analizatorju, ki je priključen na anteno z dobitkom $G_s=20$ dBi. Nizkošumni predajačevalnik omogoča skupno šumno temperaturo antene in sprejemnika $T=200$ K. Efektivna sevana moč satelita ($P_o \cdot Go$) je $EIRP=+57$ dBm za BPSK oddajo C/A z bitno hitrostjo $R=1,023$ Mbit/s. Kolikšno največje razmerje signal/šum ($S+N$)/ $N=?$ (v dB) odčitamo na spektralnem analizatorju s sitom pasovne širine $B=30$ kHz?
- $(f_{L1}=1,57542\text{ GHz}, c_0=3 \cdot 10^8\text{ m/s}, d=20\,000\text{ km}, k_B=1,38 \cdot 10^{-23}\text{ J/K})$

$$P_N = B k_B T = 30 \cdot 10^3 \text{ Hz} \cdot 1,38 \cdot 10^{-23} \text{ J/K} \cdot 200 \text{ K} = 8,28 \cdot 10^{-17} \text{ W}$$

$$\lambda = \frac{c_0}{f_{L1}} = \frac{3 \cdot 10^8 \text{ m/s}}{1,57542 \cdot 10^9 \text{ Hz}} = 19 \text{ cm}$$

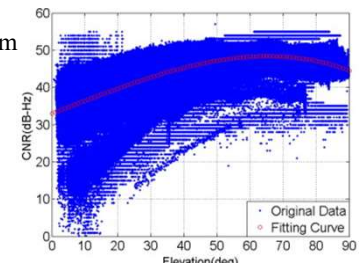
$$G_s = 20 \text{ dBi} = 100$$

$$P_o G_o = +57 \text{ dBm} = 500 \text{ W}$$

$$P_s = P_o G_o G_s \left(\frac{\lambda}{4\pi d} \right)^2 = 500 \text{ W} \cdot 100 \cdot \left(\frac{0,19 \text{ m}}{4\pi \cdot 2 \cdot 10^7 \text{ m}} \right)^2 = 2,87 \cdot 10^{-14} \text{ W} = 28,7 \text{ fW} = -105 \text{ dBm}$$

$$P'_s = P_s \frac{B}{R} = 2,87 \cdot 10^{-14} \text{ W} \cdot \frac{3 \cdot 10^4 \text{ Hz}}{1,023 \cdot 10^6 \text{ Hz}} = 8,42 \cdot 10^{-16} \text{ W}$$

$$\frac{S+N}{N} = \frac{P'_s + P_N}{P_N} = \frac{8,42 \cdot 10^{-16} \text{ W} + 8,28 \cdot 10^{-17} \text{ W}}{8,28 \cdot 10^{-17} \text{ W}} = 11,17 = \underline{\underline{10,5 \text{ dB}}}$$



Izračun S/N signala GPS

- Signal C/A navigacijskih satelitov GPS se posreduje s pomočjo oddajnika moči $P_0=50$ W na frekvenci $f_{L1}=1.575,42$ MHz in oddajno anteno z oblikovanim snopom stožaste oblike, da pravilno osvetli celotno vidno zemeljsko površino iz krožnice na višini $h=20.000$ km. Izračunajte razmerje signal/šum $S/N=?$ v decibelih po pasovnem situ širine $B=2$ MHz v sprejemniku, ki se nahaja direktno pod satelitom. Sprejemnik je opremljen z anteno, ki pokriva gornjo poloblo ($G_s=3$ dBi) ter skupno šumno temperaturo antene in sprejemnika $T=200$ K. ($c_0=3 \cdot 10^8$ m/s, $k_B=1,38 \cdot 10^{-23}$ J/K)

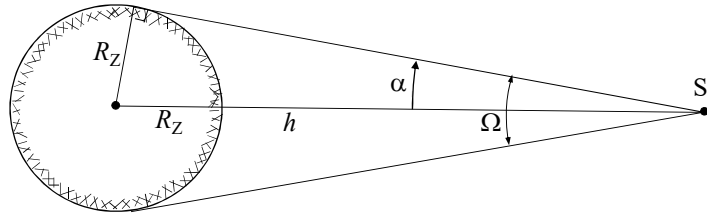
$$\lambda = \frac{c_0}{f_{L1}} = \frac{3 \cdot 10^8 \text{ m/s}}{1,57542 \cdot 10^9 \text{ Hz}} = 19 \text{ cm}$$

$$\sin \alpha = \frac{R_Z}{h + R_Z} \quad \Omega = 2\pi(1 - \cos \alpha)$$

$$D = \frac{4\pi}{\Omega} = \frac{2}{1 - \sqrt{1 - \left(\frac{R_Z}{h + R_Z}\right)^2}} = 67,4 = G_o$$

$$P_s = P_0 G_o G_s \left(\frac{\lambda}{4\pi h} \right)^2 = 50 \text{ W} \cdot 67,4 \cdot 3 \cdot \left(\frac{0,19 \text{ m}}{4\pi \cdot 2 \cdot 10^7 \text{ m}} \right)^2 = 3,84 \cdot 10^{-15} \text{ W}$$

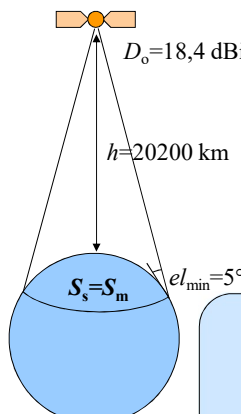
$$P_N = B k_B T = 5,52 \cdot 10^{-15} \text{ W}$$



$$S/N = 10 \log P_s / P_N = -1,54 \text{ dB}$$

Zahtevana moč motilnika

- Izračunajmo potrebno moč motilnika za signal GPS, ki je od sprejemnika oddaljen 6 m.



Računanje gostote pretoka moči na enoto ploskve

$$S_s = \frac{P_o \cdot \eta_o \cdot D_o}{4\pi r^2} = 5,38 \cdot 10^{-13} \frac{\text{W}}{\text{m}^2}$$

Izračun moči motilnika

$$P_m = \frac{4\pi R^2 \cdot S_m}{G_m} = \frac{4\pi (6 \text{ m})^2 \cdot 5,4 \cdot 10^{-13} \frac{\text{W}}{\text{m}^2}}{10} = -76 \text{ dBm}$$

Motilniki navigacijskega signala

naravni motilniki

- vremenske neprilike
- EM sevanje / sončni izbruhi / ionosfera
- zastiranje signala / senčenje / večpotni pojavi
- neugodna lega satelitov

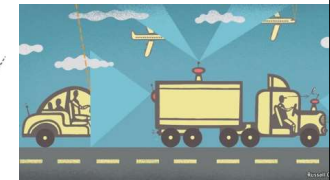
umetni motilniki

nenamerno (interferenca)



motilnik na osnovi prevare

motilnik na osnovi blokade



EVENING STANDARD TUESDAY 4 OCTOBER 2016

Key-fob gang who stole seven Range Rovers get 12 years' jail

Tristan Kirk Courts Reporter

A GANG of car thieves who used a key fob jamming device to steal vehicles worth nearly £700,000 have been jailed for more than 12 years.

Ringleader Adeel Arshad, 29, and his team targeted drivers across wealthy areas in London, Surrey and Hertfordshire.

They called expensive cars and lay in wait while the owner parked and tried to lock their vehicle, Snatchesbrook crown court heard. The gang activated a jamming device to prevent this, fitted a tracker and waited for the best time to reach and steal the car – typically in the early hours.

Arshad's gang stole seven Range Rovers and two Land Rovers between September 2014 and December 2015.

Four vehicles were later found by police in containers ready for export at both Felixstowe and Southampton docks and returned to their owners.

Prosecutor Kenneth Millett said: "This was a highly sophisticated enterprise to steal high-value motor vehicles. Range Rovers largely, to clone them with index numbers of other vehicles of the same colour and type and then sell them. The sold cars were also broken down for parts, which were sold on the black market."

Police raided a Walthamstow lock-up and recovered a vast number of stolen car parts, tracking devices, dummy Range Rover keys, signal jammers and GPS cloaking devices, the court heard.

Arshad, of Leyton, pleaded guilty to conspiracy to steal and conspiracy to handle stolen goods and was jailed for 44 months. Judge Alastair Hamerton said: "There are two features of higher culpability, namely, that there is sophisticated planning and the sophisticated nature of the offence. Secondly, that he plays a leading role. The value of the cars is in the region of £680,000."

Hassan Iqbal, 26, of Waltham Forest, was jailed for 35 months after admitting conspiracy to steal and conspiracy to handle stolen goods. Farasat Bhambjee, 28, also of Waltham Forest, was found guilty of conspiracy to steal and conspiracy to handle stolen goods. He was jailed for 46 months. Driver Ben



Ringleader: Adeel Arshad and, inset, the device which prevented owners from locking cars

Caught: Hassan Iqbal, Farasat Bhambjee and Ben Cooper are all serving jail sentences

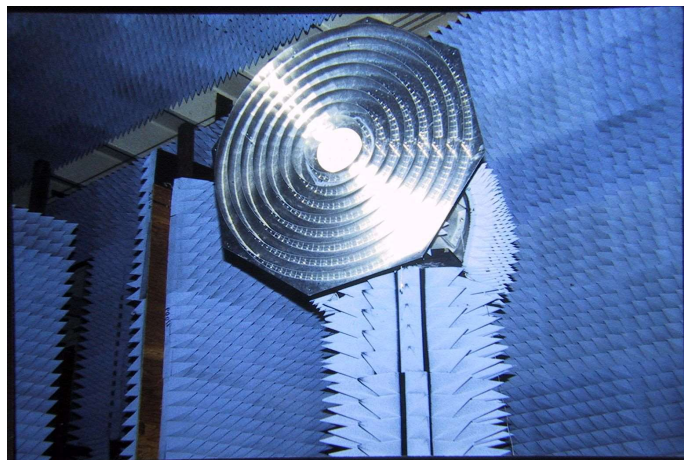
Možnosti za zmanjševanje vpliva motilnika navigacijskega signala

S spremeljanjem kakovosti signala (angl. signal quality monitoring – SQM) lahko v sprejemniku GNSS odkrijemo problematične ali lažne/potvorjene satelitske signale, ki drastično vplivajo na zanesljivost določitve položaja in prenosa časa.

Opredelitev kakovosti signala lahko temelji na spremeljanju specifičnih parametrov, kot sta **preverjanje navzkrižne korelacije ter razmerja med signalom in šumom, zaznavanju nenadnih skokov jakosti signala ter modeliranju razlik kodnih in faznih opazovanj.**

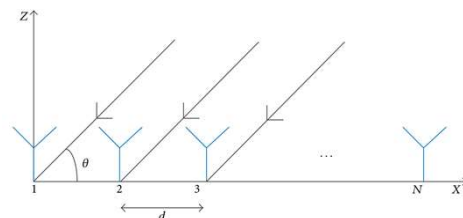
- filtriranje signalov (prostorsko in frekvenčno),
- uporabo redundantnih sistemov
- preverjanje pristnosti signalov

Zmanjševanje vpliva odbojev in motilnikov na nizkih elevacijah

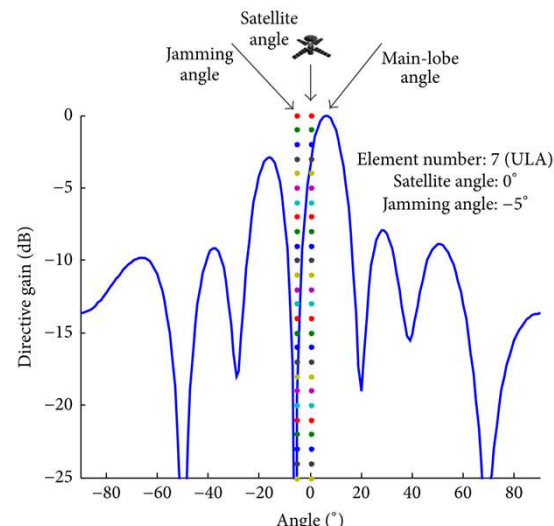


Davis, D., Weiss, H., Vidmar, H., "A Codeless Ionospheric Calibrator for Time Transfer Applications," *Proceedings of the 2nd International Technical Meeting of the Satellite Division of The Institute of Navigation (ION GPS 1989)*, Colorado Spring, CO, September 1989, pp. 451-459.
<https://www.ion.org/publications/abstract.cfm?articleID=11828>

Zmanjševanje vpliva motilnika navigacijskega signala



- antenska skupina z linearno geometrijo



- Prikaz motenja sprejema signala iz satelita

Vir: Yanyun Gong, Ling Wang, Rugui Yao, Zhaolin Zhang: "A Robust Method to Suppress Jamming for GNSS Array Antenna Based on Reconstruction of Sample Covariance Matrix", International Journal of Antennas and Propagation, Hindawi, 2017, <https://doi.org/10.1155/2017/9764283>

GNSS v nizki zemeljski tirnici

Global Navigation Satellite Systems (GNSS)

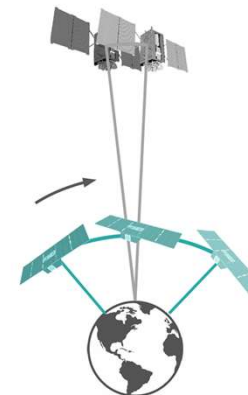
- Xonina konstelacija majhnih satelitov v LEO bo zagotovila alternativo sedanjim GNSS z več kot 10-krat boljšo natančnostjo.
- Zagonsko podjetje Xonina je sistem na nizki tirnici patentirala.



Šifriran signal, ki bo vseboval popravke za izboljšanje natančnosti



signal bo imel višjo moč, kot sedanji GNSS signali

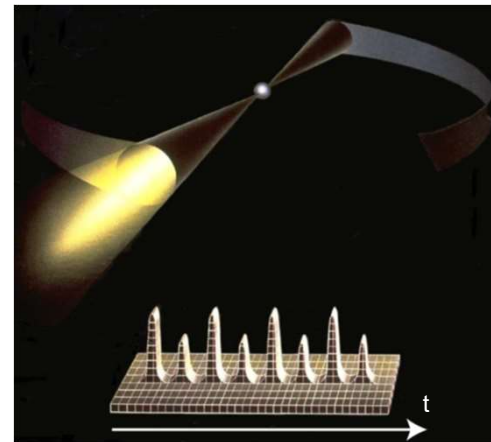
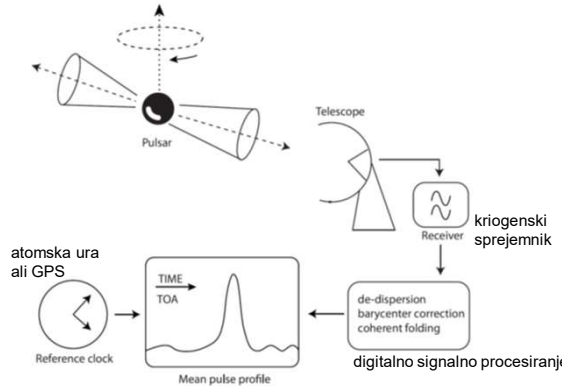


sistem bo omogočal hitrejo vklenitev, kot sedanji GNSS

Vir: <https://www.xonaspace.com>

Navigacija v vesolju s pomočjo pulzarjev

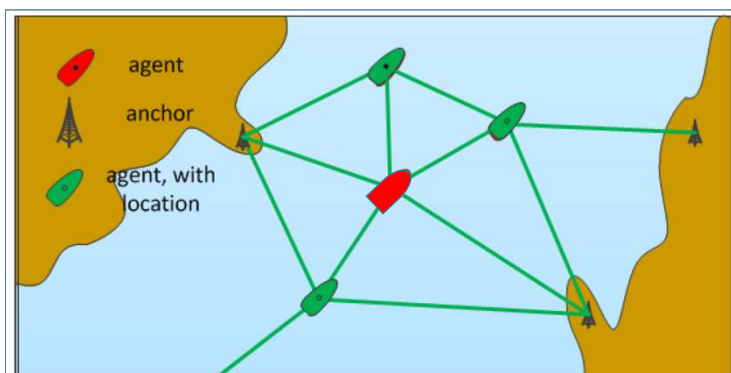
- Pulzarji so masivna vesolska vztrajnostna kolesa.
- Milisekundni pulzarji oddajajo stabilne ozke impulze.



Werner Becker, Mike G. Bernhardt, Axel Jessner: „Autonomous Spacecraft Navigation With Pulsars“, 2013

Sodelovalni (kooperativni) navigacijski sistemi

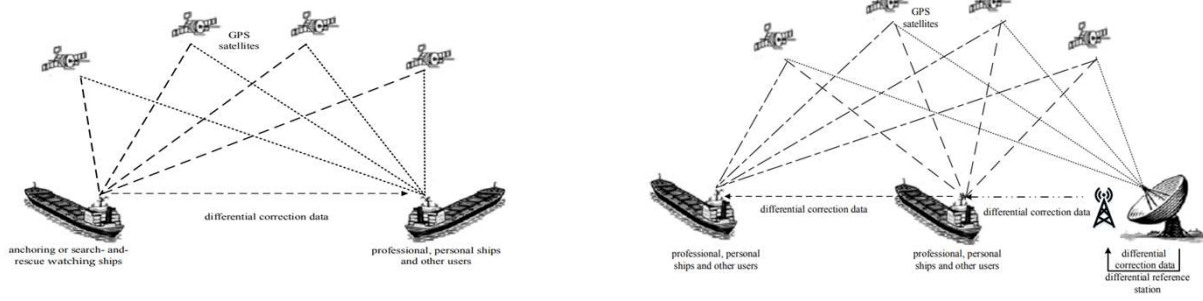
- Pomagamo si z napravami, katerih položaj je znan.
- Agenti oziroma vozlišča, katerih položaj ni znan, morajo za ocenitev svoje lokacije pridobiti dodatne podatke od sosednjih agentov.
- Množica algoritmov je znana pod imenom kooperativni algoritmi za določanje položaja.
- Problem kooperativne navigacije je možno rešiti kot nelinearni problem z uporabo metode minimizacije najmanjših kvadratov ali kot problem sklepanja na grafičnem modelu.



Vir: Tomaž Javornik, Andrej Hrovat, „Kooperativna lokalizacija v brezžičnih senzorskih omrežjih“, SRK 2018

Sodelovalni (kooperativni) navigacijski sistemi

- GNSS izpopolnitveni sistemi s pomočjo AIS



vir: M. Nguyen, S. Huai, S. Zhang and X. Wang, "The Method for Enhancing Positioning Accuracy Based on Automatic Identification System," 2019 International Conference on Electronic Engineering and Informatics (EEI), Nanjing, China, 2019, pp. 159-166, doi: 10.1109/EEI48997.2019.00043.

Radiolokacija in radionavigacija

Radiodeterminacija – radijsko določanje položaja, hitrosti, smeri, pospeška

Radiolokacija

je določanje parametrov drugih (pasivnih) objektov

meritev odbitih signalov RADAR (RAdio Detection And Ranging)

Radionavigacija

je določanje parametrov (aktivnih) uporabnikov sistema

meritev kotov iz smernih diagramov anten

pogrešek premosorazmeren oddaljenosti od svetilnika

meritev razdalj iz časa potovanja radijskega signala

pogrešek neodvisen od oddaljenosti od svetilnika

meritev hitrosti iz Dopplerjevega pomika frekvenc

pogrešek neodvisen od oddaljenosti od svetilnika